

## Hypergraphes aléatoires et algorithmiques

<Tsiriniana Andriampianina> tsr.ray@yahoo.fr  
Laboratoire d'Informatique de Paris Nord (LIPN)

20 juin 2008



Je remercie V lady Ravelomanana et Christian Lavault de leur confiance et de m'avoir offert l'opportunité de faire une thèse.

Je remercie mes parents, ma sœur et mon frère.

Je remercie Alfredo Viola pour son aide, son appui et ses conseils justes, pesés et sincères.

Je remercie Christophe Fouquere.

Je remercie mes amis. Je remercie Raluca Andreea Schumacher qui m'a inspiré de l'entrain et plus de dynamisme dans la rédaction de ma thèse. Je remercie Sujeevan Aseeveratham pour ce dévouement qu'est l'aboutissement d'une vraie première version de la thèse en un temps record (impossible) d'une semaine et pour toutes les aides qu'il m'a apportées, que je ne peux que mettre sous la lumière de ma très grande reconnaissance. Je remercie Mourad Hakem mon ami collègue de bureau, mon surveillant :) sur qui je peux toujours compter. Je remercie Lionel Falempe pour sa très grande patience qui lui a permis de me donner tort de mon entêtement sur un calcul de probabilité : j'ai gagné alors en compréhension. Je remercie Jalila Sadkim mon amie collègue de bureau qui me supportait anonymement et pour tous ses encouragements.

Je remercie tous ceux qui m'ont accordé une pensée pour l'aboutissement de ma thèse qui naturellement n'est pas mienne.



# Table des matières

1	Introduction	1
2	Énumération exacte	3
2.1	Définitions et notions	3
2.2	Énumération bijective	4
2.2.1	Vue bijective des hyperarbres	4
2.2.2	Vue bijective des hypercycles	7
2.2.3	Introduction aux séries génératrices exponentielles	8
2.2.4	Vue bijective des composantes complexes	10
2.3	Énumération récursive	16
2.3.1	Énumération récursive des hyperarbres enracinés	17
2.3.2	Interprétation combinatoire de la formule d'inversion de Lagrange	18
2.3.3	Introduction aux séries génératrices exponentielles bivariées	20
2.3.4	Réurrence des SGEs $H \setminus$	23
2.3.5	Résolution de la récurrence des SGEs $H \setminus$	28
2.3.6	Mise en forme des SGEs $H \setminus$	31
3	Énumération asymptotique	37
3.1	Énumération asymptotique des hyperarbres	37
3.2	Énumération asymptotique des hypercycles	47
3.3	Énumération asymptotique des composantes complexes	52
3.3.1	Encadrement des coefficients de la SGE des composantes complexes	53
3.3.2	La contribution asymptotique de $(n-1)$ chaînes	56
3.3.3	Énoncé du théorème d'énumération asymptotique	62
4	Hypergraphes aléatoires	65
4.1	Hypergraphes et hypercouplage glouton	65
4.1.1	Définitions et notions	66
4.1.2	Décomposition ou récurrence	68
4.1.3	La performance gloutonne sur les hyperarbres	70
4.1.4	La performance gloutonne sur les $\setminus$ -composantes ( $\setminus$ 0 xe)	74
4.2	Hypergraphes évolutifs	85
4.2.1	Définitions et notions	86

4.2.2	L'attente moyenne de l'apparition du premier cycle . . . . .	87
5	Annexe . . . . .	97
5.1	Preuves des deux identités combinatoires . . . . .	97
5.2	L'hypergraphe utilisé pour le déroulement de l'algorithme glouton d'hy- percouplage . . . . .	99
	Bibliographie . . . . .	102

# Chapitre 1

## Introduction

Les hypergraphes, une généralisation des graphes [9], sont des structures discrètes. Ils permettent une description et un niveau d'abstraction nécessaires pour la conception et l'analyse en algorithmique [26, 30]. Nous notons, dans ces références, le recours aux séries génératrices pour faire de l'analyse énumérative. Nous souhaitons obtenir des caractéristiques quantitatives sur les hypergraphes, pour cela nous utilisons pour l'essentiel les séries génératrices qui permettent l'énumération exacte et asymptotique selon la taille de ces structures. Karonski M. et Luczak T., dans [20], étudient les hypergraphes, nous nous distinguons de leur travail par l'utilisation des séries génératrices offrant une concision aux preuves.

Le plan de la thèse est le suivant :

- { Dans le second chapitre, nous parlons d'énumération exacte des hypergraphes connexes.
- { Dans un troisième chapitre, nous procédons à l'énumération asymptotique de ces structures.
- { Et dans le quatrième chapitre, nous établissons quelques caractéristiques des hypergraphes déduites de la performance de l'algorithme global d'hypercouplage ou déduites du processus d'hypergraphe évoluant.





## Chapitre 2

# Énumération exacte

Dans ce chapitre, nous adoptons deux manières d'énumérer des composantes classées selon l'excès une relation liant le nombre d'hyperarêtes et le nombre de sommets. Une première manière est l'énumération bijective : en mettant en évidence une bijection entre les structures. Une seconde manière de procéder à l'énumération des hypergraphes est celle que nous qualifions de recursive. Une telle distinction est aussi adoptée par Wright [22] et [23] pour les graphes, lui permettant d'un côté de justifier la forme des séries génératrices et de l'autre d'automatiser le calcul de ces séries. Avant de procéder à ces énumérations, nous précisons quelques définitions et notions.

### 2.1 Définitions et notions

**Définition 2.1.1.** Un hypergraphe est un couple  $(V;E)$ , un ensemble  $V$  de sommets et un ensemble  $E$  d'hyperarêtes soit de sous-ensemble de  $V$ .

La plupart du temps, sauf mention contraire, un hypergraphe dans cette thèse est  $b$ -uniforme, c'est à dire que chacune de ses hyperarêtes contient  $b$  sommets. Ainsi, la structure d'hypergraphe généralise la structure de graphe qui est alors vue comme un hypergraphe 2-uniforme.

**Définition 2.1.2.** L'excès d'un hypergraphe  $H = (V;E)$  est

$$\text{excès}(H) = \sum_{e_i \in E} (|e_i| - 1) \quad (2.1)$$

L'excès d'un hypergraphe  $H = (V;E)$  ( $b$ -uniforme) est

$$\text{excès}(H) = (b - 1) |E| \quad (2.2)$$

Cette notion d'excès, utilisée dans [21], permet de classer les hypergraphes. Par exemple, nous avons les définitions suivantes :

**Définition 2.1.3.** Un hyperarbre est une composante ou hypergraphe connexe d'excès 1, valeur minimum.



---

**Algorithme 1 : Codage d'une forêt d'hyperarbres enracinés.**


---

Entrées : Une forêt, de  $(k + 1)$  hyperarbres enracinés, ayant  $s$  hyperarêtes et  $n = s(b - 1) + k + 1$  sommets.

Sorties : Codage  $(R ; r ; P ; N)$  de nipar (2.3).

debut

$(R ; r ; P ; N) \leftarrow (\text{racine}; r; fg; ())$

repete

    Ajouter l'ensemble des sommets de la plus petite (dans l'ordre alphabétique) feuille dans le partitionnement  $P$  et placer le sommet qui le relie dans le tirage  $N$ .

    Redessiner la forêt sans les sommets de la plus petite feuille.

    jusqu'à plus aucune hyperarête dans la forêt

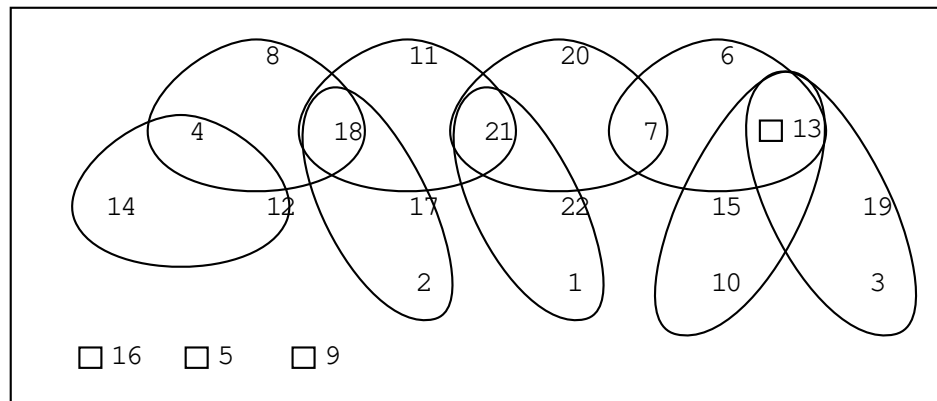
    (Le dernier sommet placé dans le tirage est nécessairement une racine).

    Dessiner comme le dernier sommet placé dans le tirage.

    retourner  $(R ; r ; P ; N)$

n

---



$(R ; r ; P ; N) :$

$\approx$

$R = f5;9;13;16g$

$r = 13$

$\approx$

$P = ff1;22g;f2;17g;f3;19g;f4;8g;f6;7g;f10;15g;f11;18g;f12;14g;f20;21gg$

$\approx$

$N = (21;18;13;13;4;18;21;7) .$

Fig. 2.1 { Une forêt d'hyperarbres enracinés et son code.

{ le nombre d'hyperarbres non réduit à leur racine correspondant au nombre des racines distinctes apparaissant dans  $(N ; r)$ .

Dans l'algorithme 1 de codage, dans la boucle, parmi les feuilles, le choix de la plus petite feuille dans l'ordre alphabétique nous permet de retrouver sans ambiguïté la forêt.

En effet, nous avons l'algorithme 2 de decodage qui retourne une forêt car lorsque les hyperarêtes sont itérativement formées, les hyperarbres existants se grandissent, se rejoignent et finissent par s'accrocher à une racine en gardant leur structure d'hyperarbre. Plus précisément, un sommet  $x$  de  $\mathcal{N}$  accroche un ensemble de la partition de  $P$  avec la garantie que  $x$  soit plus proche d'une racine par rapport aux sommets, de l'ensemble de la partition, qui nécessairement finissent par être connectés à une racine (éventuellement  $x$  est une racine).

---

**Algorithme 2 : Decodage en forêt d'hyperarbres enracinés.**

---

Entrées : Des entiers naturels  $n; k$  et  $s$  vérifiant  $n = s(b-1) + k + 1$  codage  $(R; r; P; \mathcal{N})$  de nien (2.3).

Sorties : Forêt d'hyperarbre enraciné, dont les sommets racines sont les  $(k+1)$  sommets de  $R$ .

```

debut
  repeter
    Former une hyperarête avec le premier sommet du tirage  $\mathcal{N}$  et avec les
    sommets du premier (l'ordre étant celui induit par les étiquettes) ensemble
    du partitionnement  $P$  ne contenant aucun sommet qui apparaît encore dans
    le tirage restant.
    Supprimer du partitionnement l'ensemble utilisé et supprimer de la liste du
    tirage le premier sommet.
  jusqu'à liste du tirage vide
  Former avec le dernier sous-ensemble du partitionnement et avec le sommet  $r$ 
  le  $s$ -ième hyperarête.
  retourner la forêt obtenue
n

```

---

**Theorem 2.2.3.** Le nombre de forêts de  $(k+1)$  hyperarbres enracinés ayant  $s$  hyperarêtes est :

$$\binom{n}{k+1} (k+1) \frac{(n-k-1)!}{[(b-1)!^s s!]} n^{s-1}; \quad (2.4)$$

avec le nombre de sommets  $n = n(s) = s(b-1) + k + 1$ .

*Preuve.* La preuve découle directement de la bijection que définit l'algorithme 1 de codage de telles forêts par les ensembles de quadruplets  $(R; r; P; \mathcal{N})$  de nien (2.3).  $\square$

En prenant  $k = 0$  dans ce theorem, nous obtenons

**Corollaire 2.2.4.** Le nombre d'hyperarbres enracinés ayant  $s$  hyperarêtes :

$$\frac{(n-1)!}{[(b-1)!^s s!]} n^s; \quad (2.5)$$

avec le nombre de sommets  $n = n(s) = s(b-1) + 1$ .

Il est immédiat que ce résultat généralise le résultat dans le cas des arbres en prenant  $b = 2$ .

Corollaire 2.2.5 (Cayley). Le nombre d'arbres enracinés ayant  $n$  sommets est  $n^{n-1}$ .

Un avantage que présente une telle démonstration bijective est la possibilité d'effectuer une génération aléatoire afin d'apprendre quelques caractéristiques des structures étudiées. Nous laissons cela comme perspective, pour le moment. Grâce au théorème 2.2.3, nous sommes aussi en mesure de donner une expression explicite du nombre des hypercycles.

### 2.2.2 Vue bijective des hypercycles

Les hypercycles sont des composantes les plus simples après les hyperarbres dans le sens où ces structures sont d'excès 0. L'énumération des graphes unicycles est associée à Alfred RYNYI dans [3]. Dans le cas plus général des hypergraphes unicycles, pour procéder à l'énumération de ces structures (la même idée est applicable pour les composantes complexes à excès  $\leq -1$ ), afin d'utiliser le théorème 2.2.3, les structures sont récursivement élaguées jusqu'à ce qu'il n'y ait plus aucune feuille et obtenir ainsi des structures lisses. Ainsi, à un hypercycle ayant  $n$  sommets, nous ferons correspondre de manière naturelle un couple  $(B; F)$  avec  $B$  une structure lisse de taille  $(k+1)$  et  $F$ , une forêt de  $(k+1)$  hyperarbres enracinés ayant  $n$  sommets, obtenue à partir du processus d'élagage. Les étiquettes de  $B$  seront canonisées dans  $\{1, \dots, k+1\}$  en respectant l'ordre croissant des étiquettes.

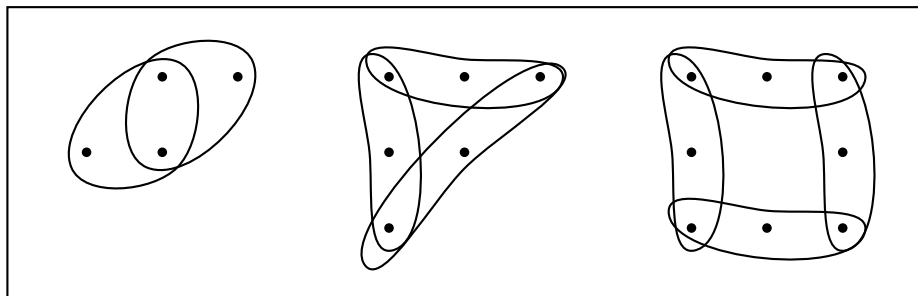


Fig. 2.2 { Hypercycles 3-uniformes lisses non étiquetés de longueur respectivement 2, 3 et 4.

Remarque 2.2.6. Comme le processus d'élagage consiste à supprimer les sommets des feuilles ainsi que les hyperarêtes qui les accrochaient, il produit une structure de même excès.

Nous retrouvons le résultat, associé à Selivanov dans [17], pour l'énumération des hypercycles :

Theorem e 2.2.7. Le nombre d'hypercycles ayant  $s$  hyperarêtes est

$$\frac{n^{n-s-1} (b-1)^{X^s}}{2 [(b-1)!]^s} \prod_{j=2}^s \frac{j}{s^j (s-j)!}; \quad (2.6)$$

avec le nombre de sommets  $n = n(s) = s(b-1)$ .

Preuve. Un hypercycle de longueur de cycle  $j$  correspond à une forêt de  $j(b-1)$  hyperarbres enracinés à un arrangement près de ces derniers pour les différentes façons de former le cycle. La forêt aurait  $(s-j)$  hyperarêtes et  $j(b-1)$  composantes à arranger en cycle. Le nombre d'hypercycles ayant une longueur  $j$  de cycle et ayant  $s$  hyperarêtes est donc

$$\binom{n}{j(b-1)} \binom{j(b-1)}{j(b-1)} \frac{[(s-j)(b-1)!]}{[(b-1)!]^{s-j} (s-j)!} n^{s-j-1} \frac{1 [j(b-1)]!}{2 [(b-2)!]^j}; \quad (2.7)$$

avec  $n = n(s) = s(b-1)$  : le premier facteur entre accolade dénombre des forêts d'hyperarbres enracinés et le second dénombre les hypercycles lisses étiquetés avec  $f_1, \dots, j(b-1)g$  ayant  $j$  hyperarêtes. En simplifiant cette équation, nous trouvons le terme de la sommation du théorème, et comme la longueur de cycle peut prendre toute valeur entre 2 et  $s$ , nous obtenons le résultat en sommant sur  $j$ .

Ainsi, pour faire la preuve du théorème nous étions amenés à distinguer les hypercycles selon la longueur du cycle. Une question à poser est : pour un nombre de sommets  $n = s(b-1)$ , quelle est la longueur  $j$  de cycle de la classe (selon  $j$ ) qui contribue le plus au nombre des hypercycles? Nous laisserons cette question en perspective.

Par rapport au résultat d'énumération des hyperarbres (voir des forêts), l'expression du nombre des hypercycles est beaucoup plus complexe car requiert la sommation. Néanmoins, l'expression de ce nombre reste explicite. Expliciter le nombre des composantes complexes paraît être une tâche ardue.

Dans la suite, nous précisons comment déterminer le nombre de composantes, en décrivant la bijection via les séries génératrices qui permettent une lecture directe des opérations combinatoires sur des structures.

### 2.2.3 Introduction aux séries génératrices exponentielles

À une séquence de nombre  $(a_n)_{n \in \mathbb{N}}$ , nous associons la série génératrice exponentielle (SGE)

$$A(z) = \sum_{n=0}^{\infty} a_n \frac{z^n}{n!}; \quad (2.8)$$

Les SGEs servent pour l'énumération de structures avec une étiquette propre à chaque sommet et l'indice  $n$ , dans l'écriture ci-dessus, dénote la taille de la structure étiquetée. Une grande avantage de l'utilisation des SGEs est la facilité de lecture qu'elles offrent : à partir des opérations sur les séries, nous sommes en mesure d'interpréter en terme d'opérations sur les structures et inversement. [26] donne le dictionnaire suivant pour faire cette lecture :

Operations sur les structures	SGE correspondant
$A \sqcup B$	$A(z) + B(z)$
$A \times B$	$A(z) \cdot B(z)$
Substituer dans A par B	$A(B(z))$
Sequence de A	$(1 - A(z))^{-1}$
Groupe de k A	$\frac{A(z)^k}{k!}$
Ensemble de A	$\exp(A(z))$
Cycle de A	$\ln \frac{1}{1 - A(z)}$
Marquage de k sommets de A	$\frac{z^k}{k!} \frac{d^k}{dz^k} A(z)$

Nous nous servons aussi de l'opérateur sur les séries :

$$[z^n]A(z) = \frac{a_n}{n!}; \tag{2.9}$$

avec  $A(z)$  de (2.8). Familiarisons nous avec l'utilisation des SGEs à travers les exemples de structures rencontrées jusqu'ici.

Definition 2.2.8. La SGE  $T$  des hyperarbres enracinés est

$$T(z) = \sum_{s=0}^{\infty} \frac{(n-1)!}{[(b-1)!^s s!]} n^s \frac{z^n}{n!}; \tag{2.10}$$

ou  $n = n(s) = s(b-1) + 1$ .

Nous y lisons le nombre des hyperarbres enracinés à  $s$  hyperarêtes

$$n! [z^n]T(z) = \frac{(n-1)!}{[(b-1)!^s s!]} n^s; \tag{2.11}$$

Remarque 2.2.9. La SGE qui énumère les hyperarbres s'écrit sous la forme  $H_{b-1}(T(z))$ . Nous réservons la justification pour plus tard.

Un marquage d'un sommet différencie les hyperarbres des hyperarbres enracinés :

$$T(z) = z \frac{d}{dz} H_{b-1}(T(z)); \tag{2.12}$$

Un cycle de sommets de longueur  $b-2$  adm et la SGE

$$\ln \frac{1}{1-z} \quad z=2; \tag{2.13}$$

Pour un cycle de sommets avec un ensemble de  $(b-2)$ , structure de SGE  $z^{b-1} = (b-2)!$ , la substitution dans l'équation précédente donne

$$\ln \frac{1}{1 - \frac{z^{b-1}}{(b-2)!}} = \frac{z^{b-1}}{2(b-2)!}; \tag{2.14}$$

Et comme c'est la SGE des hypercycles lisses, pour obtenir la SGE des hypercycles, il faut faire la substitution par la SGE des hyperarbres enracinés. De cette manière, nous obtenons :

Remarque 2.2.10. Si  $b \geq 3$ , la SGE des hypercycles est  $H_0 = T(z)$  avec

$$H_0(t) = \ln \left( 1 + \frac{t^{b-1}}{(b-2)!} + \frac{t^{b-1}}{2(b-2)!} \right) \quad (2.15)$$

Nous pouvons lire en sens inverse la bijection qui nous avait permis de procéder à l'énumération des hypercycles dans la fonction  $H_0$ . Cette fonction offre aussi la possibilité de déterminer le nombre  $n! [z^n] H_0 = T(z)$  d'hypercycles de taille  $n$ .

Comme il a été déjà évoqué, il est possible d'appliquer, comme dans le cas des hypercycles, un raisonnement proche pour faire de l'énumération des composantes complexes. C'est ce que nous allons développer dans la prochaine sous-section.

#### 2.2.4 Vue bijective des composantes complexes

Dans cette sous-section, pour énumérer les composantes complexes, nous nous sommes attachés à établir une expression explicite comme dans le cas des forêts d'hyperarbres enracinés ou comme dans le cas des hypercycles. Nous y établissons la SGE des composantes complexes d'excès donné, par des arguments bijectifs comme pour (2.15). Dans le cas de l'énumération des composantes de graphe complexes, l'énumération des composantes ayant deux cycles (d'excès 1) est associée à Bagaev dans [25]. Plus généralement, un résultat pour les composantes de graphes d'excès  $\ell - 1$  est associé à Wright dans [22].

Ici, nous énumérons des composantes (d'hypergraphe) complexes d'excès  $\ell - 1$ . Pour procéder à cette énumération, une première étape consiste à se ramener à des composantes lisses par élagage des feuilles des structures à énumérer. Les composantes lisses ainsi obtenues ont le même excès que les structures de départ.

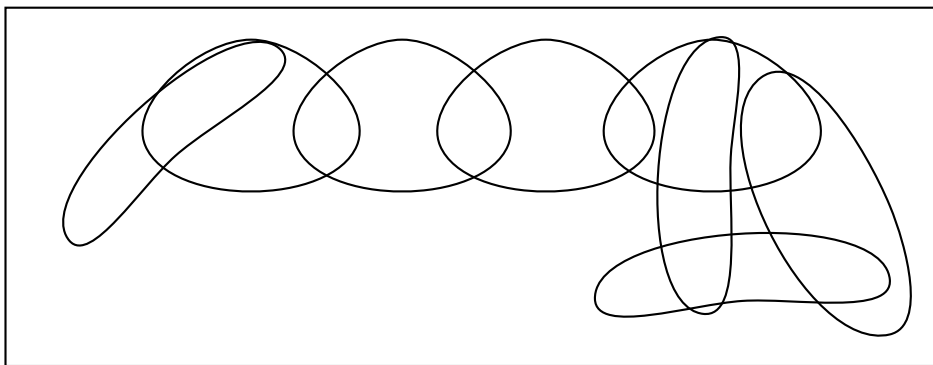


Fig. 2.3 { Une composante lisse non étiquetée d'excès  $\ell = 1$ .

Nous convenons d'utiliser la SGE avec la variable  $t$  pour énumérer des structures lisses, comme dans (2.15). Et dans le but d'alléger les équations, notons

$$h(t) = \frac{t^{b-1}}{(b-2)!} \quad (2.16)$$



(2.15) devient alors

$$H_0(t) = \ln \frac{P}{1-t} - \frac{(t)}{2} : \quad (2.17)$$

Les composantes complexes lisses d'excès  $\ell$  peuvent avoir toute taille positive (entière). C'est aussi le cas pour les hypercycles et nous avons eu recours à la fonction  $\ln$  du dictionnaire pour exprimer la structure cyclique. Dans le cas des composantes complexes, c'est l'opération de séquence du dictionnaire qui nous permettra de décrire les structures de manière "plus concise" car pour un excès  $\ell$  donné nous aurons seulement un nombre fini de structures à considérer pour tout énumérer.

**Définition 2.2.11.** Une chaîne est une séquence de sommets avec un groupe de  $(\mathfrak{S}_2)$  sommets. La séquence peut être vide et adm et pour SGE

$$\frac{1}{1-t} : \quad (2.18)$$

Une chaîne, dans cette thèse, est d'abord une sous-structure d'une composante lisse. Dans le cas des graphes, W right E M dans [22] distingue trois types de chaîne

- { celle qui boucle sur un même sommet,
- { celle qui, si brisée, déconnecte la structure en deux,
- { celle qui ne boucle pas sur un même sommet et, qui si brisée, ne rompt pas la connexité de la composante.

Une chaîne du premier (respectivement du second (respectivement du troisième)) type pour des graphes sans multi-arête adm et au moins deux arêtes (respectivement une arête (respectivement deux arêtes)).

**Définition 2.2.12.** Une structure basique est une structure lisse non étiquetée ayant ses chaînes de longueur  $n$ .

Rappelons ici l'idée clé dans [22] de l'énumération bijective des graphes connexes d'excès  $\ell = 1$  : à partir des composantes, une réduction est faite par élagage récursif, puis les chaînes sont énumérées jusqu'à leur taille minimale et en  $n$ , les étiquettes des sommets sont ignorées pour obtenir un nombre fini de composantes basiques distinctes (structures non étiquetées) qui permettent de procéder à une énumération bijective (une approche très rapidement implémentable, en particulier à cause du calcul des nombres d'automorphismes).

**Remarque 2.2.13.** Comme pour l'élagage, énumérer une hyperarête d'une chaîne en un de ses sommets de degré  $\geq 2$  ne change pas l'excès de la structure.

**Définition 2.2.14.** Une hyperarête spéciale est une hyperarête contenant au moins 3 sommets au moins de degré 2.

**Remarque 2.2.15.** Une hyperarête spéciale ne peut pas faire partie d'une chaîne.

**Définition 2.2.16.** Un sommet spécial est soit un sommet d'une hyperarête spéciale soit un sommet de degré au moins 3.



Theorem e 2.2.20. La SGE  $H_{\lambda}$  des composantes lisses d'excès  $\lambda$  est :

$$H_{\lambda}(t) = \frac{(t)^r X^{\lambda}}{t^{\lambda}} \sum_{p=0}^{\lambda} A_{\lambda,p} \frac{(t)^p}{1 - (t)^p}; \tag{2.22}$$

avec les coefficients  $A_{\lambda,p}$ , des fractions rationnelles positives de  $b$  a coefficients entiers,

$$r_{\lambda} = b \frac{\lambda + 1}{b - 1} + 1c; \tag{2.23}$$

$$(t) = \frac{t^{b-1}}{(b-2)!}; \tag{2.24}$$

La forme (2.22) de la SGE  $H_{\lambda}$  des composantes complexes d'excès  $\lambda$  donne une bonne intuition d'un terme principal qui contribue le plus au nombre asymptotique de ces structures. En particulier, ce terme est lié à l'indice  $p = 3$  et, entre autres références, dans [19], il est lié aux structures qualifiées de "clean" maximisant le nombre de chaînes. Notons dans ce théorème, le résultat combinatoire de la positivité des coefficients  $A_{\lambda,p}$  : la preuve est bijective et une preuve par induction sur  $(\lambda;p)$  est restée hors de notre portée.

D'abord une conséquence immédiate du lemme 2.2.19 est que

Remarque 2.2.21. La SGE  $H_{\lambda}$  des hypergraphes connexes lisses d'excès  $\lambda$  s'écrit sous la forme

$$H_{\lambda}(t) = \frac{f_{\lambda}(t)}{t^{\lambda}}; \tag{2.25}$$

avec

$$(t) = 1 - (t); \tag{2.26}$$

et  $f_{\lambda}$  un polynôme de Laurent.

Ensuite pour prouver le théorème 2.2.20,

Lemme 2.2.22. Dans une composante complexe basique d'excès  $\lambda$ , le nombre  $p$  de chaînes est au plus  $3^{\lambda}$  soit  $p \leq 3^{\lambda}$ .

Preuve. Il s'agit de voir la preuve dans le cas d'une composante n'ayant que des chaînes de longueur minimale. Soit donc  $B$  une telle composante complexe avec les caractéristiques suivantes :

$$\begin{aligned} & \{ \text{d'excès } \lambda - 1 \\ & \{ \text{ayant } s_0 \text{ hyperarêtes spéciales} \\ & \{ \text{ayant } m_0 \text{ sommets spéciaux} \\ & \{ \text{ayant } c_2 \text{ chaînes (toutes de longueur 2)} \\ & \{ \text{ayant } c_1 \text{ chaînes (toutes de longueur une)} \\ & \{ \text{ayant } p = c_2 + c_1 \text{ chaînes.} \end{aligned} \tag{2.27}$$

Par définition de l'excès,

$$m_0 + 2(b-1)c_2 + c_1 + (b-2)c_1 + \lambda = (b-1)(s_0 + 2c_2 + c_1) \tag{2.28}$$

soit

$$m_0 = s_0(b-1) + \nu = c + c = p: \quad (2.29)$$

Notons  $B_0$  l'hypergraphe induit par les sommets spéciaux et soit  $\nu_0$  son excès alors l'équation précédente s'écrit :

$$\nu_0 + \nu = p: \quad (2.30)$$

La valeur de l'excès  $\nu_0$  est minimale dans le cas où  $B_0$  est une forêt maximisant le nombre de composantes,  $B_0$  devant donc se composer de sommets isolés de degré 3 ou d'hyperarêtes ayant exactement 3 sommets de degré 2 dans l'hypergraphe basique dont ils sont issus. Comme il existe un hypergraphe basique d'excès  $\nu$  (voir la figure 2.4) ayant  $2\nu$  sommets spéciaux et sans aucune hyperarête spéciale pour laquelle la valeur  $\nu_0 = 2\nu$  est minimale, nous deduisons

$$\nu_0 + \nu = 2\nu + \nu = 3\nu = p: \quad (2.31)$$

Et cette borne supérieure est atteinte. }  
}

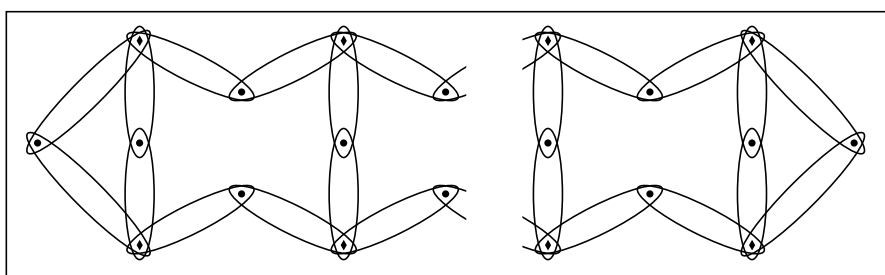


Fig. 2.4 } Structure d'un hypergraphe sans hyperarête spéciale ayant le nombre  $3\nu$  maximal de chaînes dans le cas d'excès  $\nu$ . Seuls les sommets de degré 3 y sont représentés.

Ainsi, dans (2.22), l'indice  $p$  est liée au nombre de chaînes d'une structure basique. Quelle serait une interprétation du degré maximal du polynôme  $f_\nu$  de Laurent dans la remarque 2.2.21? Dans l'équation (2.22), une interprétation intuitive du degré de  $(t)$  est qu'il compte le nombre minimal d'hyperarêtes dans une composante lisse.

Lemme 2.2.23. Le degré maximal du polynôme  $f_\nu$  de Laurent, dans la remarque 2.2.21, est au plus

$$r_\nu = b \frac{\nu+1}{b-1} + 1c: \quad (2.32)$$

Preuve. La démonstration passe par la décomposition des composantes lisses d'excès  $\nu$  suivante : A une composante d'excès  $\nu$  donne, supprimer la plus petite hyperarête dans l'ordre alphabétique induite par l'étiquetage, et obtenir ainsi des composantes éventuellement non lisses avec les caractéristiques  $(\nu_i; k_i)$  c'est à dire d'excès  $\nu_i$  et ayant  $k_i$  sommets appartenant à la plus petite hyperarête supprimée. Des nombres de cycles nous deduisons

$$\nu + 1 = \sum_i (\nu_i + k_i): \quad (2.33)$$

Notons alors les divisions euclidiennes par (b-1) suivantes :

$$k_i + r_i = q_i(b-1) + r_i \quad (2.34)$$

et

$$k+1 = q(b-1) + r \quad (2.35)$$

Ainsi,

$$q(b-1) + r = \sum_i q_i(b-1) + r_i g \quad (2.36)$$

et

$$q+1 = \sum_i q_i + 1 \quad (2.37)$$

En remarquant que le degré maximum de  $f$ , s'interprète comme le nombre minimum d'hyperarêtes, nous avons la démonstration par induction car le second membre de l'équation précédente maximise le degré de  $f$ , en prenant une composante ayant un nombre minimum d'hyperarêtes. }

La forme du SGEH (2.22) suggère l'existence d'un ensemble de composantes basiques, d'exces  $s = r, \dots, r+3$  hyperarêtes et dans laquelle seules les chaînes peuvent être insérées, permettant alors de générer toutes les structures lisses. Le choix de prendre les composantes basiques n'ayant que des chaînes de longueur minimale, bien que ce soit la justification immédiate de la remarque 2.2.21, ne permet pas d'aboutir au résultat car le nombre d'hyperarêtes peut excéder strictement le nombre des chaînes plus  $r$ .

La condition qu'une chaîne doit au moins contenir une hyperarête est motivée par la lecture plus facile des placements où les chaînes seront introduites. Aussi, en considérant l'ensemble des composantes basiques n'ayant que des chaînes qui elles mêmes sont de longueur 2, toutes les composantes lisses peuvent être générées sans ambiguïté. Toutefois, la condition d'avoir autant d'hyperarêtes que de chaînes plus  $r$  n'est pas une condition respectée a priori dans la façon canonique dont est faite la génération avec cet ensemble. Un plus apporte par la considération d'un tel ensemble est qu'il garantit maintenant un nombre suffisamment peu élevé d'hyperarêtes dans les composantes considérées d'après les 2 lemmes qui suivent.

Lemme 2.2.24. Pour une composante basique d'exces  $s_0$  hyperarêtes spéciales et  $c$  chaînes

$$2c + s_0 \geq 3c + 1 \quad (2.38)$$

Il existe une composante basique telle que l'égalité est atteinte.

Preuve. Pour maximiser la quantité  $2c + s_0$  dans une composante basique d'exces  $s_0$  donne,  $c$  est à maximiser en priorité puis seulement après  $s_0$ . La relation qui lie le nombre des chaînes et l'exces est  $c = s_0 + 1$  et parmi les composantes basiques telles que  $c = s_0 + 1$  au plus  $s_0 = s_0 - 1$ , nous déduisons ainsi le lemme. }

Une conséquence directe de ce lemme est :

Lemme 2.2.25. Dans une com posante basique d'exces  $\ell$  n'ayant que des  $\ell$ -chaînes toutes de longueur 2, le nombre d'hyperarêtes est au plus  $(3^\ell + 1)$ .

Preuve. (Theorem 2.2.20). Les com posantes lisses peuvent être générées sans ambiguïté par des com posantes basiques ayant  $s = r; ::::; 3^\ell + r$  hyperarêtes,  $c$   $\ell$ -chaînes toutes de longueur 2 et  $c - \ell$   $\ell$ -chaînes toutes de longueur 1 et  $s - c$  marquages indiquant les emplacements où d'autres chaînes peuvent être insérées. Notons que la quantité  $(s - c)$  doit être positive et que les emplacements correspondent à des sommets où une  $\ell$ -chaîne aurait pu être endoquée. Notons aussi que ces com posantes basiques ne doivent pas être toutes prises car dans ce cas, une même com posante lisse étiquetée peut être obtenue par différentes com posantes basiques. En bref, l'idée clé de la preuve : D'un côté, il y a l'ensemble de com posantes basiques avec les chaînes de longueur  $m$  minimale pour leur type et, de l'autre côté, il y a l'ensemble de com posantes basiques avec que des  $\ell$ -chaînes de longueur 2 qui permettent de générer de manière canonique toutes les com posantes lisses. Entre les deux, il y a plusieurs choix d'ensemble de com posantes basiques pouvant servir à générer toutes les com posantes lisses. En particulier, il est possible de générer les com posantes lisses à partir de com posantes basiques ayant  $s = r; ::::; 3^\ell + r$  hyperarêtes en faisant grandir  $s - r$  chaînes aux emplacements des  $\ell$ -chaînes toutes de longueur 2, des  $\ell$ -chaînes toutes de longueur 1 et des sommets sur lesquels une  $\ell$ -chaîne aurait pu être endoquée. }

Dans cette section, nous avons vu le nombre des hyperarbres enracinés ainsi que celui des hypercycles. Quant au nombre des com posantes complexes, nous pouvons le déterminer du moins théoriquement car nous savons déterminer les SGEs  $H_\ell$  et  $T(z)$  des com posantes d'exces  $\ell$  donne : nous connaissons  $T(z)$  et nous savons comment obtenir  $H_\ell(t)$ . Cependant, la manière vue jusqu'ici pour déterminer ces SGEs est très rapidement rebutante et très difficile à automatiser, particulièrement à cause de la détermination des com posantes basiques dont pour chacune il faudrait déterminer son nombre d'automorphismes ce qui nous paraît peu concevable et surtout parce qu'il faut aussi pouvoir garantir avoir considéré toutes les com posantes basiques nécessaires, ni une de plus ni une de moins. Nous tirerons profit de la forme des SGEs  $H_\ell$  apprise dans cette section pour justifier comment les déterminer récursivement dans la section qui suit.

## 2.3 Enumeration recursive

Après avoir perçu la puissance d'expression de l'outil que sont les SGEs, dans la présente section une étape supplémentaire est franchie pour l'énumération des com posantes en établissant une récurrence dont la résolution permet le calcul automatisable des SGEs  $H_\ell$  et des com posantes d'exces  $\ell$ .

Une brève aperçue du contenu de cette section est la suivante :

- { elle commence par une vision recursive de l'énumération des hyperarbres enracinés ;
- { un outil pour la détermination des coefficients des SGEs, la formule d'inversion de Lagrange, est présente avec une interprétation combinatoire ;
- { puis nous faisons une introduction aux SGEs bivariées qui servent pour une lecture facile de

- { la decomposition des composantes d'exces  $\backslash$  qui mène à une récurrence sur les SGEs univariées
- { ensuite la détermination des  $H \backslash$  ou la résolution de la récurrence est présentée ;
- { et en  $n$  nous terminons par la présentation de deux identités combinatoires permettant d'obtenir les  $H \backslash$  sous la forme, permettant une lecture bijective, annoncée dans la section précédente.

2.3.1 Enumeration recursive des hyperarbres enracines

Les hyperarbres enracines sont des structures clés pour les hypergraphes : les SGEs des composantes connexes d'exces  $\backslash$  s'expriment en fonction de la SGE  $T(z)$  des hyperarbres enracines. Le dictionnaire, introduit dans la section précédente, permet de traduire une décomposition naturelle des hyperarbres enracines comme étant composés d'une racine et d'un ensemble de groupes de  $(b-1)$  hyperarbres enracines. Cette décomposition est une définition récursive des hyperarbres enracines. Effectivement, un hyperarbre se définit à partir d'hyperarbres de taille strictement plus petite. Cette définition récursive des hyperarbres enracines se lit dans une définition implicite de SGE via le dictionnaire.

Définition 2.3.1. La SGE  $T(z)$  des hyperarbres enracines :

$$T(z) = z \exp \frac{T(z)^{b-1}}{(b-1)!} \quad ; \quad (2.39)$$

La lecture de cette définition est la suivante : un hyperarbre enraciné est  
 { une racine, c'est le facteur  $z$   
 { et un ensemble (c'est la fonction  $\exp$ ) non ordonné de groupes de  $(b-1)$  hyperarbres enracines (c'est l'exposant  $\frac{T(z)^{b-1}}{(b-1)!}$ ), bref c'est le terme

$$\exp \frac{T(z)^{b-1}}{(b-1)!} \quad ; \quad (2.40)$$

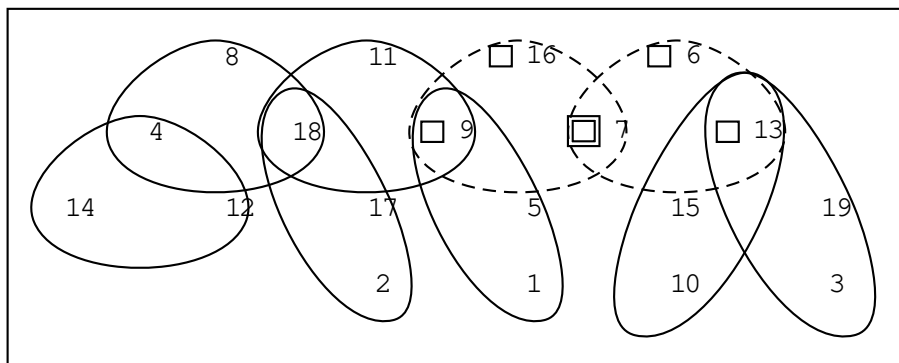


Fig. 2.5 { Un hyperarbre enraciné décomposé.

Par cette définition, il est possible de déterminer récursivement les coefficients  $[z^n]T(z)$  qui sont les nombres des hyperarbres en racines à un facteur  $n!$  près. Évidemment, cette façon de calculer est à proscrire dans ce cas puisque les coefficients sont connus de manière explicite : l'expression mathématique (2.5) pouvant être retrouvée par la formule d'inversion de Lagrange via cette définition implicite de  $T(z)$ .

### 2.3.2 Interprétation combinatoire de la formule d'inversion de Lagrange

La formule d'inversion de Lagrange est un outil puissant pour faire de l'énumération de structures arborescentes. La preuve de la formule d'inversion de Lagrange dans [30, page 167] est une preuve analytique : l'extraction des coefficients des SGEs y est exprimée avec la formule intégrale de Cauchy. Cette vision analytique de la formule d'inversion de Lagrange sera notre point de départ pour obtenir des équivalents asymptotiques des coefficients dans le chapitre 3. Ici, nous adoptons un regard combinatoire dans la preuve du théorème :

Théorème 2.3.2. Notons la SGE  $G$

$$G(t) = \sum_{k=0}^{\infty} g_k \frac{t^k}{k!}; \quad (2.41)$$

alors par la définition de la SGE  $T(z)$ , la formule d'inversion de Lagrange s'écrit

$$[z^n]G \quad T(z) = \frac{1}{n} t^{n-1} \exp \left( n \frac{t^{b-1}}{(b-1)!} \right) \frac{d}{dt} G(t); \quad (2.42)$$

Preuve. Notons

$$t(t) = \exp \left( \frac{t^{b-1}}{(b-1)!} \right); \quad (2.43)$$

et

$$t(t)^n = \sum_{m=0}^{\infty} \binom{n}{m} \frac{t^m}{m!}; \quad (2.44)$$

Nous obtenons alors

$$t^{n-1} \frac{d}{dt} (t(t)^n G(t)) = \quad (2.45)$$

$$= \sum_{k,m \geq 0, k+m=n-1} \binom{n}{m} g_{k+1} \frac{1}{k! m!} = \quad (2.46)$$

$$= \sum_{k=0}^n \binom{n}{n-k-1} g_{k+1} \frac{1}{k! (n-k-1)!}; \quad (2.47)$$



$$(n-1)! t^{n-1} (t)^n \frac{d}{dt} G(t) = \tag{2.48}$$

$$= \sum_{k=0}^X n_{k-1}(n) g_{k+1} \frac{(n-1)!}{k!(n-k-1)!} = \tag{2.49}$$

$$= \sum_{k=0}^X n_{k-1}(n) g_{k+1} \frac{n-1}{k} = \tag{2.50}$$

$$= \sum_{k=0}^X n_{k-1}(n) g_{k+1} \frac{k+1}{n} \frac{n}{k+1} : \tag{2.51}$$

Observons que

$$(t)^n = \sum_{s=0}^X \frac{n^s [s(b-1)]! t^{s(b-1)}}{[(b-1)!]^s s! [s(b-1)]!}; \tag{2.52}$$

soit

$$n_{k-1}(n) = \frac{n^s (n-k-1)!}{[(b-1)!]^s s!}; \tag{2.53}$$

avec  $n = n(s) = s(b-1) + k + 1$ . A partir de (2.53), nous identifions le nombre de forêts de  $(k+1)$  hyperarbres enracinés à  $n$  sommets du théorème 2.2.3 :

$$\frac{n}{k+1} \frac{k+1}{n} n_{k-1}(n) : \tag{2.54}$$

L'interprétation combinatoire est alors évidente en multipliant (2.42) par  $n!$ . Nous retrouvons alors nos marques de la section précédente, pour énumérer les structures de taille  $n$  :

- { les  $g_{k+1}$  structures lisses à  $(k+1)$  sommets sont croisées, dans l'ordre croissant (uniquement de nie) des étiquettes, avec
- { les forêts de  $(k+1)$  hyperarbres enracinés à  $n$  sommets au nombre de

$$\frac{n}{k+1} \frac{k+1}{n} n_{k-1}(n) : \tag{2.55}$$

}

Exemple 2.3.3. Nous retrouvons le nombre des hyperarbres enracinés en prenant le plus simple des fonctions  $G$ , dans la formule d'inversion de Lagrange, c'est à dire la fonction identité. En effet,

$$n! [z^n] T(z) = (n-1)! t^{n-1} \exp n \frac{t^{b-1}}{(b-1)!} \tag{2.56}$$

$$= (n-1)! t^{n-1} \sum_{j=0}^X \frac{n^j}{[(b-1)!]^j j!} t^{j(b-1)} \tag{2.57}$$

$$= (n-1)! \frac{n^s}{[(b-1)!]^s s!}; \tag{2.58}$$

avec  $n = n(s) = s(b-1) + 1$ .

Exemple 2.3.4. Le nombre des forêts de  $(k+1)$  hyperarbres enracinés de SGE  $\frac{T(z)^{k+1}}{(k+1)!}$  est

$$n! [z^n] \frac{T(z)^{k+1}}{(k+1)!} = (n-1)! t^{n-1} \sum_{k=0}^k \frac{t^k}{k!} \exp \left( n \frac{t^{b-1}}{(b-1)!} \right) \quad (2.59)$$

$$= \frac{(n-1)!}{k!} t^{n-1} \sum_{j=0}^X \frac{n^j}{[(b-1)!^j j!]} t^{j(b-1)+kA} \quad (2.60)$$

$$= \frac{(n-1)!}{k!} \frac{n^s}{[(b-1)!^j s!]} ; \quad (2.61)$$

avec  $n = n(s) = s(b-1) + k + 1$ , soit en accord avec le théorème 2.2.3

$$n! [z^n] \frac{T(z)^{k+1}}{(k+1)!} = \frac{n}{k+1} (k+1) \frac{(n-k-1)!}{[(b-1)!^j s!]} n^{s-1} ; \quad (2.62)$$

Exemple 2.3.5. De l'exemple précédent, nous déduisons une formule explicite du nombre des forêts d'hyperarbres enracinés :

$$n! [z^n] \exp(T(z)) = (n-1)! \sum_{k=1}^{X-1} \frac{n^{s_k}}{[(b-1)!^{s_k} s_k!]} ; \quad (2.63)$$

avec  $n = n(s_k) = s_k(b-1) + k + 1$  pour tout  $k = 1; \dots; n-1$ .

Ainsi, par rapport à la section précédente, nous disposons maintenant d'un outil puissant cachant toute une machinerie bijective permettant de traduire, à partir des SGEs des structures lisses, les structures éventuellement non lisses correspondant. Ceci nous motive encore plus à automatiser la détermination des SGEs des structures lisses. Pour y parvenir, dans un souci de clarté, nous présentons brièvement les SGEs bivariées.

### 2.3.3 Introduction aux séries génératrices exponentielles bivariées

À une séquence de nombre  $(a_{n,m})_{n,m \in \mathbb{N}}$  est associée une série génératrice exponentielle bivariée

$$A(w; z) = \sum_{n,m \in \mathbb{N}} a_{n,m} w^m \frac{z^n}{n!} ; \quad (2.64)$$

Dans les hypergraphes, il y a deux notions essentielles à savoir la notion de sommets et la notion d'hyperarête. Soulignons que dans cette thèse, les séries sont exponentielles en la variable  $z$  relative aux sommets qui sont étiquetés et elles sont ordinaires en la variable  $w$ , dans le cas de SGEs bivariées, relative aux hyperarêtes. Si jusqu'ici, nous avons choisi de travailler uniquement avec des SGEs univariées, c'est parce que seul le paramètre de la taille de la structure nous est pertinent et l'utilisation de la notion d'excès simplifie souvent de beaucoup les expressions des SGEs : c'est souligné dans [18] par la richesse des résultats énumératifs qui y sont obtenus.

L'introduction des SGEs bivariées nous permettra, en particulier, de souligner l'effet de décompositions dans les structures étudiées. Le dictionnaire de la section précédente s'enrichit du marquage d'une hyperarête; les opérations de marquage se traduisent en terme de dérivation partielle :

Opération sur les structures	SGE correspondant
Marquage de k sommets de A	$\frac{z^k}{k!} \frac{\partial^k}{\partial z^k} A(w; z)$
Marquage d'une hyperarête de A	$w \frac{\partial}{\partial w} A(w; z)$

Exemple 2.3.6. Pour énumérer les graphes étiquetés ayant 5 sommets et exactement 3 arêtes formant une clique d'ordre 3 nous pouvons recourir à la SGE bivariée :

$$\frac{w^0 z^2}{2!} \frac{w^3 z^3}{3!} = \frac{5}{2} \frac{w^3 z^5}{5!} ; \tag{2.65}$$

Dans le membre gauche de cette équation :

- { le premier facteur correspond à la SGE des graphes ayant 2 sommets et sans arête,
- { le second facteur correspond à la SGE des graphes ayant 3 sommets et 3 arêtes et le produit s'interprète à partir du dictionnaire pour justifier l'énumération.

La SGE bivariée de ces graphes avec une arête distinguée est

$$w \frac{\partial}{\partial w} \frac{5}{2} \frac{w^3 z^5}{5!} = 3 \frac{5}{2} \frac{w^3 z^5}{5!} ; \tag{2.66}$$

Définition 2.3.7. La SGE bivariée des composantes d'excès s'écrit

$$\hat{H}(w; z) = w^{-(b-1)} H, \quad T(w^{1=(b-1)} z) = \sum_{s,n} h(s; n) w^s \frac{z^n}{n!} ; \tag{2.67}$$

avec  $n = s(b-1)$  et  $h(s; n)$  le nombre de composantes d'excès s'ayant s hyperarêtes et n sommets.

Exemple 2.3.8. La SGE bivariée des hyperarbres enracinés est

$$\frac{T(w^{1=(b-1)} z)}{w^{1=(b-1)}} ; \tag{2.68}$$

Rappelons la définition implicite de la SGE T(z)

$$T(z) = z \exp \frac{T(z)^{b-1}}{(b-1)!} ; \tag{2.69}$$

Ainsi,

$$dT(z) = dz + z \frac{T(z)^{b-2}}{(b-2)!} dT(z) \exp \frac{T(z)^{b-1}}{(b-1)!} \tag{2.70}$$

$$= T(z) \frac{dz}{z} + \frac{T(z)^{b-1}}{(b-2)!} dT(z) ; \tag{2.71}$$

$$\frac{dT(z)}{T(z)} = \frac{1}{1 - \frac{T(z)^{b-1}}{(b-2)!}} \frac{dz}{z} ; \quad (2.72)$$

Soit

$$z \frac{d}{dz} T(z) = \frac{T(z)}{1 - \frac{T(z)^{b-1}}{(b-2)!}} \quad (2.73)$$

qui se lit comme l'équivalence des structures d'hyperarbre enraciné ayant un second marquage (la racine peut être éventuellement re-marquée) et une chaîne orientée. Cette relation (2.73) donne

$$w \frac{\partial}{\partial w} T(w^{1=(b-1)}z) = \frac{1}{b-1} \frac{T(w^{1=(b-1)}z)}{1 - \frac{T(w^{1=(b-1)}z)^{b-1}}{(b-2)!}} \quad (2.74)$$

et

$$z \frac{\partial}{\partial z} T(w^{1=(b-1)}z) = \frac{T(w^{1=(b-1)}z)}{1 - \frac{T(w^{1=(b-1)}z)^{b-1}}{(b-2)!}} ; \quad (2.75)$$

Nous en déduisons

$$w \frac{\partial}{\partial w} \hat{H}(w; z) = \quad (2.76)$$

$$= w \frac{\partial}{\partial w} w^{-(b-1)} H(w^{1=(b-1)}z) \quad (2.77)$$

$$= \frac{w^{-(b-1)}}{b-1} H(w^{1=(b-1)}z) + \quad (2.78)$$

$$+ \frac{w^{-(b-1)}}{b-1} H(w^{1=(b-1)}z) \frac{\partial}{\partial z} \frac{T(w^{1=(b-1)}z)}{1 - \frac{T(w^{1=(b-1)}z)^{b-1}}{(b-2)!}} \quad (2.79)$$

$$= \frac{w^{-(b-1)}}{b-1} H(w^{1=(b-1)}z) + \quad (2.80)$$

$$+ \frac{w^{-(b-1)}}{b-1} H(w^{1=(b-1)}z) z \frac{\partial}{\partial z} T(w^{1=(b-1)}z) \quad (2.81)$$

$$= \frac{w^{-(b-1)}}{b-1} H(w^{1=(b-1)}z) + \quad (2.82)$$

$$+ \frac{1}{b-1} z \frac{\partial}{\partial z} w^{-(b-1)} H(w^{1=(b-1)}z) ; \quad (2.83)$$

soit la transcription d'un marquage d'une hyperarête, en terme de marquage d'un sommet et pour les composantes d'exces  $\ell$ , suivante :

$$w \frac{\partial}{\partial w} \hat{H}(w; z) = \frac{1}{b-1} \hat{H}(w; z) + z \frac{\partial}{\partial z} \hat{H}(w; z) ; \quad (2.84)$$

La réside l'intérêt de classer les structures selon leur excès car les décompositions exprimées en SGEs bivariées se ramènent alors à des SGEs univariées en reexprimant les SGEs avec un marquage d'hyperarête et en posant  $w = 1$ .

Exemple 2.3.9. Nous avons pour les hyperarbres enracinés

$$\frac{T(w^{1=(b-1)}z)}{w^{1=(b-1)}} \Big|_{w=1} = T(z) : \tag{2.85}$$

Exemple 2.3.10. Et pour les composantes d'excès  $\nu$

$$\sum_{w=1}^n w^{\nu=(b-1)} H_\nu \cdot T(w^{1=(b-1)}z)^\circ = H_\nu \cdot T(z) : \tag{2.86}$$

Exemple 2.3.11. Les composantes d'excès  $\nu$  ayant une hyperarête marquée sont énumérées par la SGE univariée

$$w \frac{\partial}{\partial w} \hat{H}_\nu(w; z) \Big|_{w=1} = \frac{1}{b-1} H_\nu \cdot T(z) + z \frac{d}{dz} H_\nu \cdot T(z) : \tag{2.87}$$

2.3.4 Recurrence des SGEs  $H_\nu$

Dans cette sous-section, l'excès  $\nu$  est fixe et à partir d'une décomposition des composantes d'excès  $\nu$  est établie une récurrence des SGEs  $H_\nu$ . Pour décrire la décomposition, les SGEs bivariées sont d'abord utilisées car elles permettent une lecture directe des opérations, sur les structures, qui y sont suggérées. Illustrons l'idée principale de la décomposition, menant à la récurrence, à partir de l'exemple de la figure 2.6.

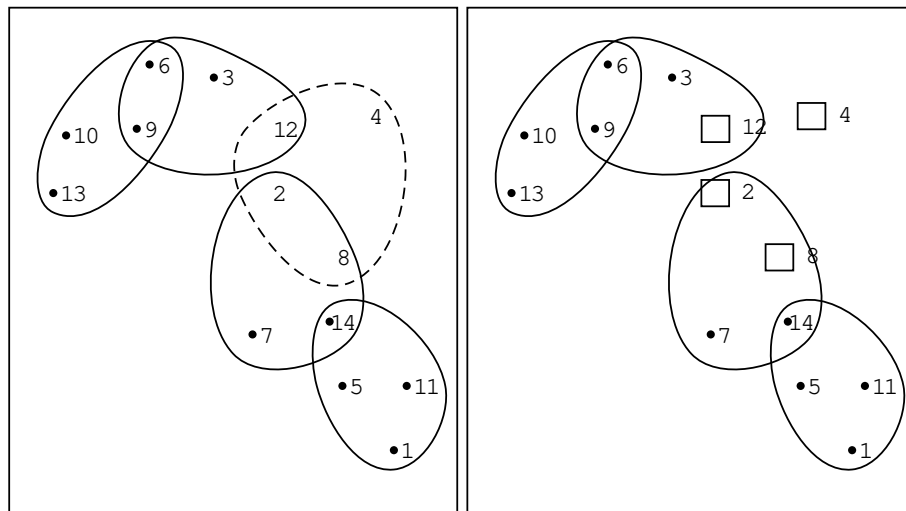


Fig. 2.6 { La décomposition d'une composante sur un exemple.

Dans cette figure, la figure à gauche représente une composante 4-uniforme ayant 14 sommets et 5 hyperarêtes dont une d'elle est marquée à savoir l'hyperarête  $f_{2;4;8;12}g$ . La figure à droite représente un hypergraphe 4-uniforme ayant aussi 14 sommets mais une hyperarête de moins que la composante à gauche. L'hypergraphe à droite n'est pas

connexe : il y a 3 com posantes telles que chacune adm et au m oins un som m et m arque. Les deux gures sont equivalentes l'une l'autre et representent la m ême structure, seule le regard qui y est porte change : d'un cote c'est une hyperarête qui est m arquee, de l'autre ce sont des som m ets de cette hyperarête qui sont m arques. Il est clair que m arquer une hyperarête dans une com posante revient a m arquer au m oins un som m et dans chacune d'un certain nom bre de com posantes et inversement, en prenant soin qu'il y ait autant de som m ets m arques que necessaire pour form er une hyperarête et qu'ils n'appartiennent pas tous de ja a une m ême hyperarête.

Il nous faut cependant faire attention pour un excès  $\delta$  donne que les com posantes avec chacune au m oins un som m et m arque se recom binent bien en un hypergraphe b-uniforme d'excès  $\delta$ . Pour cela nous faisons le lemme suivant :

Lemme 2.3.12. Considerons une famille de com posantes d'excès  $j_i$  et ayant  $k_i$  som m ets m arques,  $1 \leq j_i \leq b$  et  $1 \leq k_i \leq b$ . De plus, considerons que cette famille n'est pas celle constituee de seulement une com posante avec b som m ets m arques tous appartenant de ja a une m ême hyperarête. Alors si une hyperarête est cree a partir des som m ets m arques des differentes com posantes, l'hypergraphe obtenu est connexe et b-uniforme et d'excès  $\delta = b - 1$  si et seulement si

$$\sum_{i=1}^X k_i = b$$

$$\sum_{i=1}^X (j_i + k_i) = \delta + 1 : \quad (2.88)$$

Preuve. Il est clair que l'hypergraphe obtenu est connexe et qu'il est b-uniforme si et seulement si le nombre total des som m ets m arques dans la famille consideree est egale a b :

$$\sum_{i=1}^X k_i = b : \quad (2.89)$$

Notons par  $N$  le nombre de com posantes dans la famille consideree et par  $n$  le nombre total de som m ets de ces com posantes. Dans la  $i$ -ieme com posante, notons  $n_i$  le nombre de ses som m ets et  $s_i$  le nombre de ses hyperarêtes. Alors, l'excès de la com posante obtenue a partir de la famille vaut  $\delta$  si et seulement si

$$\sum_{i=1}^N s_i (b - 1) + (b - 1) n = \delta : \quad (2.90)$$

Cette demiere equation est equivalente aux suivantes :

$$\sum_{i=1}^N s_i (b - 1) + b n = \delta + 1 \quad (2.91)$$

$$\sum_{i=1}^N s_i (b - 1) + \sum_{i=1}^N k_i \sum_{i=1}^N n_i = \delta + 1 \quad (2.92)$$

$$\sum_{i=1}^X f s_i (b - 1) - n_i g + k_i = \ell + 1 \tag{2.93}$$

$$\sum_{i=1}^X (j_i + k_i) = \ell + 1 : \tag{2.94}$$

}

La decomposition, suggeree par le marquage d'une hyperarête dans les composantes d'exces  $\ell - 1$  et illustree par la figure 2.6, se traduit en terme de recurrence de SGEs bivariées dans le theoreme suivant :

Theoreme 2.3.13. Pour tout  $\ell \geq 1$ , la SGE bivariée  $\hat{H}_\ell(w; z)$  des composantes d'exces  $\ell$  satisfait la relation :

$$w \frac{\partial}{\partial w} \hat{H}_\ell(w; z) = \dots \tag{2.95}$$

$$= w U^b C y c^{\ell+1} \exp \left[ \sum_{k=1}^X \sum_{j=1}^X C y c^{j+k} \frac{(U z)^k}{k!} \frac{\partial^k}{\partial z^k} \hat{H}_j(w; z) \right] + \dots \tag{2.96}$$

$$w \frac{\partial}{\partial w} \hat{H}_{\ell-1}(w; z); \tag{2.97}$$

ou  $\hat{H}_j = 0$  si  $j \leq 0$ .

Preuve. La relation dans ce theoreme traduit en terme de SGEs bivariées la decomposition. Il faut y lire :

- { dans le premier membre, la SGE bivariée des composantes d'exces  $\ell$  avec une hyperarête marquee (pour suppression)  $(w \frac{\partial}{\partial w} \hat{H}_\ell(w; z))$
- { dans le second membre, la SGE bivariée des familles de composantes ayant  $k$  sommets marques et d'exces  $j$ , lesquelles familles, par creation d'une hyperarête de niveau par les sommets marques des composantes, produisent une composante  $b$ -uniforme d'exces  $\ell$ . Le terme avec un signe negatif contraint les marquages des sommets a ne pas appartenir a une hyperarête déjà existante (a ne pas recréer l'hyperarête, les structures considerees ici n'admettant pas d'hyperarête multiple). L'extraction du coefficient de  $U^b$  garantit d'avoir marqué  $b$  sommets pour définir une hyperarête et l'extraction du coefficient de  $C y c^{\ell+1}$  garantit de former une composante d'exces  $\ell$  d'après le lemme précédent. Dans le premier terme de ce second membre, le facteur  $w$  vient confirmer qu'il s'agit bien de créer une hyperarête de plus.

}

Ce theoreme illustre la puissance d'expression des SGEs pour decrire les bijections ou des decompositions entre des structures combinatoires. En effet, dans ce theoreme est etablie une relation de recurrence entre les composantes d'exces  $\ell$  d'un cote et les composantes d'exces strictement plus petit d'un autre. Cependant, l'utilisation des SGEs bivariées pour cette relation de recurrence complique les notations car pour une valeur de l'exces  $\ell$  donnee, la SGE  $\hat{H}_\ell(w; z)$  bivariée se deduit de la SGE  $H_\ell(T(z))$  et inversement bien sûr. En effet, rappelons (2.86) et (2.67) :

{ a partir de la SGE bivariee se deduit la SGE univariee (il su t de xe la valeur de la variable  $w = 1$ )

$$\sum_{w=1}^n w^{-(b-1)} H, T(w^{1-(b-1)}z) = H, T(z); \quad (2.98)$$

{ a partir de la SGE univariee se deduit la SGE bivariee pour un excès donne (par la nition de l'excès, le nombre de sommets est lié a celui des hyperarêtes)

$$\hat{H},(w;z) = w^{-(b-1)} H, T(w^{1-(b-1)}z); \quad (2.99)$$

Nous pouvons transcrire le theorem 2.3.13 en tem e de SGE univariee, les derivees partielles deviennent des derivees droites :

Theorem 2.3.14. La SGE  $H, T(z)$  des composantes d'excès  $\backslash$  satisfait la relation

$$\frac{1}{b-1} H, T(z) + z \frac{d}{dz} H, T(z) = \quad (2.100)$$

$$= \sum_{k=1}^h \sum_{j=1}^i \exp^{\otimes} X^b X' C y c^{j+k} \frac{(Uz)^k}{k!} \frac{d^k}{dz^k} H_j T(z)^{\wedge} + \quad (2.101)$$

$$\frac{1}{b-1} (\backslash - 1 + 1) H,_{b+1} T(z) + z \frac{d}{dz} H,_{b+1} T(z) : \quad (2.102)$$

Preuve. A vant de xer  $w = 1$ , nous observons que le prem ier m embre de l'equation du theorem 2.3.13 se reecrit (rappel de (2.84))

$$w \frac{\otimes}{\otimes w} \hat{H},(w;z) = \frac{1}{b-1} \backslash \hat{H},(w;z) + z \frac{\otimes}{\otimes z} \hat{H},(w;z) : \quad (2.103)$$

Et ainsi, nous deduisons le theorem .

Par ce theorem, nous disposons d'une recurrence des SGE s  $H, T(z)$  sous la form e d'une equation di erentielle d'ordre un (dans la mesure ou les tem es du second m embre qui apparaissent avec  $H_j$  ou  $j < \backslash$  ont ete explicites dans une resolution anterieure).

Nous avons a m e sans justi cation, dans la rem arque 2.2.9, que la SGE des hyperarbres non enracines s'ecrit sous la form e  $H_{-1} T(z)$ , soit en fonction de la SGE  $T(z)$  des hyperarbres enracines. La justi cation est ici faite par l'application de ce theorem e pour la valeur  $\backslash = -1$ , soit le cas de la SGE des hyperarbres non enracines :

Theorem 2.3.15. La SGE  $H_{-1} T(z)$  des hyperarbres non enracines est telle que

$$H_{-1}(t) = t \frac{(b-1)t^b}{b!}; \quad (2.104)$$

Cette ecriture est valable dans le cas ou  $b = 2$ , c'est a dire dans le cas des arbres non enracines.

L'ecriture du theorem 2.3.14 se sim pli e en une equation di erentielle en la \variable"  $T(z)$  :



Theorem e 2.3.16. Pour  $\lambda = 0$ , notons qu'il existe une fonction  $J_\lambda$  telle que

$$J_\lambda T(z) = \sum_{j=0}^{\infty} \frac{1}{b-1} \binom{\lambda-1+j}{b-1} H_{\lambda, b+1}(z) + z \frac{d}{dz} H_{\lambda, b+1}(z) \quad (2.105)$$

$$= U^b C_{YC}^{\lambda+1} \exp \left\{ \sum_{k=1}^{\infty} \frac{X^b X^{k-1}}{k!} C_{YC}^{j+k} \frac{(Uz)^k}{k!} \frac{d^k}{dz^k} H_j T(z) \right\} + \quad (2.106)$$

$$\frac{1}{b-1} (\lambda-1+j) H_{\lambda, b+1}(z) + z \frac{d}{dz} H_{\lambda, b+1}(z) : \quad (2.107)$$

Ainsi,

$$\frac{1}{b-1} H_{\lambda}(t) + t \frac{d}{dt} H_{\lambda}(t) = J_{\lambda}(t) : \quad (2.108)$$

Preuve. Dans l'equation (2.100), en regroupant les termes avec l'indice, relative a l'exces, egale a  $\lambda$  dans le premier membre nous obtenons :

{ d'un cote

$$\frac{1}{b-1} H_{\lambda}(z) + \sum_{j=1}^{\infty} \frac{T(z)^{b-1}}{(b-2)!} z \frac{d}{dz} H_{\lambda}(z) ; \quad (2.109)$$

soit par (2.73)

$$\frac{1}{b-1} H_{\lambda}(z) + T(z) H_{\lambda, 0}(z) \quad (2.110)$$

{ de l'autre, l'intervalle de l'indice  $j$  devient  $j = \lambda-1; \dots; \lambda-1$  dans l'exposant de l'exp,

$$U^b C_{YC}^{\lambda+1} \exp \left\{ \sum_{k=1}^{\infty} \frac{X^b X^{k-1}}{k!} C_{YC}^{j+k} \frac{(Uz)^k}{k!} \frac{d^k}{dz^k} H_j T(z) \right\} + \quad (2.111)$$

$$\frac{1}{b-1} (\lambda-1+j) H_{\lambda, b+1}(z) + z \frac{d}{dz} H_{\lambda, b+1}(z) \quad (2.112)$$

quivaut (2.110) et comme ce dernier s'exprime en  $T(z)$ , nous deduisons l'existence de  $J_{\lambda}$  telle que

$$J_{\lambda} T(z) = \sum_{j=0}^{\infty} \frac{1}{b-1} \binom{\lambda-1+j}{b-1} H_{\lambda, b+1}(z) + z \frac{d}{dz} H_{\lambda, b+1}(z) \quad (2.113)$$

$$= U^b C_{YC}^{\lambda+1} \exp \left\{ \sum_{k=1}^{\infty} \frac{X^b X^{k-1}}{k!} C_{YC}^{j+k} \frac{(Uz)^k}{k!} \frac{d^k}{dz^k} H_j T(z) \right\} + \quad (2.114)$$

$$\frac{1}{b-1} (\lambda-1+j) H_{\lambda, b+1}(z) + z \frac{d}{dz} H_{\lambda, b+1}(z) : \quad (2.115)$$

En substituant  $T(z)$  par la variable  $t$ , on obtient l'equation differentielle du theorem e :

$$\frac{1}{b-1} H_{\lambda}(t) + t \frac{d}{dt} H_{\lambda}(t) = J_{\lambda}(t) : \quad (2.116)$$

}

Remarque 2.3.17. Une variante (plus bijective) de la preuve de ce théorème est que la décomposition décrite dans  $J_\bullet$  se comprend grâce aux structures lisses : les structures obtenues par le marquage de sommets dans une composante peuvent être classées en des composantes lisses. Bref,  $z^k \frac{d^k}{dz^k} H_j(T(z))$  s'exprime en fonction de  $T(z)$ .

### 2.3.5 Résolution de la récurrence des SGEs $H_\bullet$

Ainsi, nous disposons, dans le théorème 2.3.16, d'une récurrence des SGEs  $H_\bullet$  des composantes lisses d'exces  $\ell$  sous la forme d'une équation différentielle d'ordre un suivante :

$$\frac{1}{b-1} H_\bullet(t) + t \frac{d}{dt} H_\bullet(t) = J_\bullet(t); \quad (2.117)$$

avec  $J_\bullet$  défini à partir de (2.105). Dans cette sous-section, nous résolvons ces équations différentielles itérativement en l'exces  $\ell$ . À partir de là peut se faire l'automatisation du calcul des SGEs  $H_\bullet$  des composantes lisses d'exces  $\ell \geq 0$ . La solution est uniquement déterminée en considérant la condition initiale

$$H_\bullet(t)_{j=0} = 0; \quad (2.118)$$

Adoptons la notation, rencontrée dans la remarque 2.2.21,

$$(t) = 1 - (t); \quad (2.119)$$

Remarque 2.3.18. Le choix de  $(t)$  pour cette notation, bien que n'admette pas de lecture combinatoire directe, s'est imposé à partir de l'article [22] puis, a posteriori, parce qu'il est commode de manipuler les polynômes de Laurent  $f_\bullet$  de la remarque 2.2.21 pour définir les SGEs  $H_\bullet$ . Notons tout de même que les séries, en  $t$ ,  $1 - (t)$  et  $(1 - (t))$  admettent chacune une lecture combinatoire à partir desquelles les SGEs exprimées avec  $(t)$  peuvent être comprises.

Rappelons la définition des  $f_\bullet$ .

Définition 2.3.19.  $f_\bullet$  est un polynôme de Laurent de degré  $\ell$  par l'intermédiaire du SGE  $H_\bullet$  :

$$H_\bullet(t) = \frac{f_\bullet(t)}{t^\ell}; \quad (2.120)$$

Remarque 2.3.20. L'équation homogène associée à (2.117) admet pour solution  $Cst = t^\ell$ . Ce qui nous suggère de trouver une solution sous la forme

$$H_\bullet(t) = \frac{g_\bullet(t)}{t^\ell}; \quad (2.121)$$

Cette forme découle aussi de (2.120).

Par le lemme 2.2.19,

Remarque 2.3.21. Les composantes d'exces  $j$  ayant  $k$  sommets  $m$  arques admettent une SGE qui s'écrit sous la forme

$$\frac{z^k}{k!} \frac{d^k}{dz^k} H_j \quad T(z) = \frac{f_{jk}}{T(z)^j} T(z); \quad (2.122)$$

avec  $f_{jk}$  un polynôme de Laurent. En particulier,  $f_{j0} = f_j$ .

Exemple 2.3.22. Pour les hyperarbres, la forme de l'écriture de la définition 2.3.19 est valide :

$$H_{-1}(t) = t \frac{b-1+t}{b}; \quad (2.123)$$

soit

$$f_{-1}(t) = \frac{b-1+t}{b}; \quad (2.124)$$

C'est le seul des  $f_j$  de degré minimum positif (ici, ce degré est nul).

Convenons de noter les polynômes de Laurent  $f_{jk}$  avec la variable  $x$ , alors en évaluant  $\frac{d}{dz} \frac{f_{jk}}{dz^k} H_j \quad T(z)$  par dérivation de fonctions composées sachant 2.73)

$$f_{j,k+1}(x) = (b-1) \frac{f_{jk}^0(x)}{x} + (b-1) f_{jk}^0(x) - j \frac{f_{jk}(x)}{x} - k f_{jk}(x); \quad (2.125)$$

Remarque 2.3.23. La détermination récursive de  $f_{jk}$ . Comme

$$J_{-1}(t) = \quad (2.126)$$

$$= \sum_{k=1}^h \sum_{j=1}^i U^b C_{YC}^{i+1} \exp \left( \sum_{k=1}^h \sum_{j=1}^i X^b X^{j-1} C_{YC}^{j+k} U^k \frac{f_{jk}(t)}{t^j} \right) + \quad (2.127)$$

$$\frac{1}{b-1} \left( (b-1+t) \frac{f_{-1,0}(t)}{t^{b+1}} + \frac{f_{-1,1}(t)}{t^{b+1}} \right) \quad (2.128)$$

$$= \frac{1}{t^{b+1}} \sum_{k=1}^h \sum_{j=1}^i U^b C_{YC}^{i+1} \exp \left( \sum_{k=1}^h \sum_{j=1}^i X^b X^{j-1} C_{YC}^{j+k} U^k f_{jk}(t) \right) + \quad (2.129)$$

$$\left( \frac{1}{b-1} \right) \frac{((b-1+t) f_{-1,0}(t) + f_{-1,1}(t))}{t^{b+1}}; \quad (2.130)$$

Et comme en notant  $H_{-1}$  sous la forme (2.121), l'équation différentielle (2.117) devient

$$\frac{1}{b-1} \frac{g_{-1}^0(t)}{t^{b+1}} = J_{-1}(t); \quad (2.131)$$

soit

$$g_{-1}^0(t) = (b-1) t^{b+1} J_{-1}(t); \quad (2.132)$$



avec

$$f_{j,k+1}(x) = (b-1) \frac{f_{jk}^0(x)}{x} + (b-1) f_{jk}^0(x) - j \frac{f_{jk}(x)}{x} - k f_{jk}(x) : \quad (2.148)$$

Notons en particulier que  $f_{1;1}(x) = 1$ .

Par ce theorem, il est naturel de déterminer les  $f_{j,k}$  sous forme de polynôme de Laurent, une forme simple qui n'admet pas de lecture combinatoire à première vue. Dans la sous-section suivante, nous montrons comment automatiser la détermination de  $H_{j,k}$  sous la forme (2.22) avec laquelle nous disposons d'une lecture combinatoire.

### 2.3.6 Mise en forme des SGEs $H_{j,k}$

Avant de donner les premiers exemples des SGEs  $H_{j,k}$ , nous donnons deux identités combinatoires qui permettent de mettre les SGEs  $H_{j,k}$  sous la forme de l'équation (2.22).

Lemme 2.3.25. Pour  $j; a \in \mathbb{N}$  (donc  $j+a > 0$ ),

$$\frac{1}{j} = \sum_{i=0}^{j-1} \binom{j-1}{i} \frac{(1-x)^{j+a-i}}{j-i} + \sum_{i=0}^{j-1} \binom{j-1}{i} (1-x)^{a-i} : \quad (2.149)$$

Lemme 2.3.26. Si  $a \in \mathbb{N}$  alors

$$\sum_{i=0}^{j-1} \binom{j-1}{i} (1-x)^{a-i} = \sum_{i=0}^{j-1} \binom{j-1}{i} (1-x)^{a-i} ; \quad (2.150)$$

ou si  $k \in \mathbb{N}$  et  $t \in \mathbb{Z}$  alors

$$\binom{t}{k} = \frac{t!}{k!(t-k)!} = \frac{t(t-1)\dots(t-k+1)}{k!} : \quad (2.151)$$

Les preuves de ces deux lemmes sont données en annexe.

Par ces deux identités présentées dans ces deux lemmes, les deux formes des SGEs  $H_{j,k}$  se déduisent l'une de l'autre. Rappelons ici ces deux formes :

avec  $f$  un polynôme de Laurent, nous avons une forme pratique,

$$H_{j,k}(t) = \frac{f_{j,k}(t)}{t^k} \quad (2.152)$$

à partir de (2.22), nous avons une forme combinatoire,

$$H_{j,k}(t) = \frac{(1-x)^{j+a-i}}{j-i} \sum_{p=0}^{j-1} \binom{j-1}{p} \frac{1}{(t)^p} \quad (2.153)$$

sachant  $(t) = 1$  et  $(t) = t! = (b-2)!$ .

La forme pratique se déduit de la forme combinatoire directement en développant l'expression de la forme combinatoire :

$$H_{\nu}(t) = \frac{1}{t} \sum_{j=3}^{\nu} c_j(\nu; b) (t)^j; \quad (2.154)$$

avec

$$r_{\nu} = b \frac{\nu+1}{b-1} + 1c; \quad (2.155)$$

Et la forme combinatoire se déduit de la forme pratique en utilisant les lemmes avec la valeur  $a = r_{\nu}$  pour réexprimer les  $(t)^j$ .

Remarque 2.3.27. Dans ce qui suit, dans le cas des graphes, c'est à dire si  $b = 2$ , nous adoptons la notation  $W_{\nu} = H_{\nu}$  de Wright pour les séries génératrices des composantes d'excès  $\nu$ .

Définition 2.3.28. Notons  $X_{\nu}$  la SGE des chaînes non vide

$$X_{\nu}(t) = \frac{1}{(t)}; \quad (2.156)$$

Nous sommes maintenant en mesure de donner les SGE  $H_{\nu}$  des composantes d'excès  $\nu$  :

Théorème 2.3.29. La SGE  $H_{-1}(z)$  des hyperarbres non enracinés est telle que :

$$H_{-1}(t) = t \frac{(b-1)t^b}{b!} = t \frac{b-1+t}{b}; \quad (2.157)$$

Théorème 2.3.30. La SGE  $H_0(z)$  des hypercycles est telle que :  
{ si  $b = 2$  (pour les graphes)

$$W_0(t) = \ln \frac{1-t}{1-t} - \frac{1-t}{2} - \frac{(1-t)^2}{4}; \quad (2.158)$$

$$W_0(t) = \ln \frac{1-t}{1-t} - \frac{t}{2} - \frac{t^2}{4}; \quad (2.159)$$

{ si  $b = 3$

$$H_0(t) = \ln \frac{1-t}{1-t} - \frac{1-t}{2}; \quad (2.160)$$

Théorème 2.3.31. La SGE  $H_1(z)$  des composantes d'excès 1 est telle que :  
{ si  $b = 2$  (pour les graphes)

$$W_1(t) = \frac{5t^5}{24(1-t)^3} + \frac{t^4}{4(1-t)^2}; \quad (2.161)$$

{ si  $b = 3$

$$H_1(t) = \frac{(1-t)^2}{t} - \frac{5}{6}X(t)^3 + \frac{19}{12}X(t)^2 + \frac{5}{6}X(t); \quad (2.162)$$

{ sib = 4

$$H_1(t) = \frac{1}{t} \frac{(t)}{24} \frac{5(b-1)^2 X(t)^3}{24} + \quad (2.163)$$

$$+ \frac{(7b-12)(b-1)X(t)^2}{24} + \frac{(b-2)^2 X(t)}{12} : \quad (2.164)$$

Theorem e 2.3.32. La SGE  $H_2$   $T(z)$  des composantes d'excès 2 est telle que :

{ sib = 2 (pour les graphes)

$$W_2(t) = \frac{5t^8}{16(1-t)^6} + \quad (2.165)$$

$$+ \frac{55t^7}{48(1-t)^5} + \frac{73t^6}{48(1-t)^4} + \frac{3t^5}{4(1-t)^3} + \frac{t^4}{24(1-t)^2} : \quad (2.166)$$

{ sib = 3

$$H_2(t) = \frac{(1-t)^2}{t^2} 5X(t)^6 + \frac{55}{3} X(t)^5 + \quad (2.167)$$

$$+ \frac{307}{12} X(t)^4 + \frac{199}{12} X(t)^3 + \frac{9}{2} X(t)^2 + \frac{1}{6} X(t) : \quad (2.168)$$

{ sib = 4

$$H_2(t) = \frac{(1-t)^2}{t^2} \frac{405}{16} X(t)^6 + \frac{405}{4} X(t)^5 + \quad (2.169)$$

$$+ \frac{315}{2} X(t)^4 + 118X(t)^3 + \frac{2017}{48} X(t)^2 + \frac{17}{3} X(t) : \quad (2.170)$$

{ sib = 5

$$H_2(t) = \frac{1}{t^2} \frac{(t)}{16} \frac{5(b-1)^4 X(t)^6}{16} + \quad (2.171)$$

$$+ \frac{5(11b-17)(b-1)^3 X(t)^5}{48} + \quad (2.172)$$

$$+ \frac{(2b-3)(38b-65)(b-1)^2 X(t)^4}{48} + \quad (2.173)$$

$$+ \frac{(b-1)(48b^3 - 244b^2 + 411b - 229)X(t)^3}{48} + \quad (2.174)$$

$$+ \frac{(b-2)^2(13b^2 - 44b + 35)X(t)^2}{48} + \frac{(b-2)^2(b-3)^2 X(t)}{48} : \quad (2.175)$$

Theorem e 2.3.33. La SGE  $H_3$   $T(z)$  des composantes d'excès 3 est telle que :

{ sib = 2 (pour les graphes)

$$W_3(t) = \frac{1105t^{11}}{1152(1-t)^9} + \frac{395t^{10}}{72(1-t)^8} + \frac{15131t^9}{1152(1-t)^7} + \quad (2.176)$$

$$+ \frac{2399t^8}{144(1-t)^6} + \frac{8303t^7}{720(1-t)^5} + \frac{557t^6}{144(1-t)^4} + \frac{3t^5}{8(1-t)^3} : \quad (2.177)$$

{ sib= 3

$$H_3(t) = \frac{(1-t)^3}{t^3} \frac{1105}{18} X(t)^9 + \frac{4565}{12} X(t)^8 + \quad (2.178)$$

$$+ \frac{72793}{72} X(t)^7 + \frac{35963}{24} X(t)^6 + \frac{1937021}{1440} X(t)^5 + \quad (2.179)$$

$$+ \frac{7397}{10} X(t)^4 + \frac{42701}{180} X(t)^3 + \frac{4553}{120} X(t)^2 + \frac{41}{24} X(t) : \quad (2.180)$$

{ sib= 4

$$H_3(t) = \frac{(1-t)^3}{t^3} \frac{89505}{128} X(t)^9 + \frac{74925}{16} X(t)^8 + \quad (2.181)$$

$$+ \frac{217431}{16} X(t)^7 + \frac{713511}{32} X(t)^6 + \frac{14467311}{640} X(t)^5 + \quad (2.182)$$

$$+ \frac{580073}{40} X(t)^4 + \frac{4154279}{720} X(t)^3 + \frac{59588}{45} X(t)^2 + \quad (2.183)$$

$$+ \frac{2641}{18} X(t) + \frac{79}{18} : \quad (2.184)$$

{ sib= 5

$$H_3(t) = \frac{(1-t)^2}{t^3} \frac{35360}{9} X(t)^9 + \frac{210280}{9} X(t)^8 + \quad (2.185)$$

$$+ \frac{532426}{9} X(t)^7 + 82729 X(t)^6 + \frac{8303267}{120} X(t)^5 + \quad (2.186)$$

$$+ \frac{12565331}{360} X(t)^4 + \frac{4851107}{480} X(t)^3 + \frac{46821}{32} X(t)^2 + \quad (2.187)$$

$$+ \frac{291}{4} X(t) : \quad (2.188)$$

{ sib 6

$$H_3(t) = \frac{1-t}{t^3} \frac{1105(b-1)^6 X(t)^9}{1152} + \quad (2.189)$$

$$+ \frac{5(1259b-1922)(b-1)^5 X(t)^8}{1152} + \quad (2.190)$$

$$+ \frac{(b-1)^4 (15106b^2 - 47108b + 36643) X(t)^7}{1152} + \quad (2.191)$$

$$+ \frac{(b-1)^3 (9867b^3 - 47368b^2 + 75592b - 40080) X(t)^6}{576} + \quad (2.192)$$

$$+ \frac{(b-1)^2 (75529b^4 - 499564b^3 + 1234860b^2 - 1351152b + 551736) X(t)^5}{5760} + \quad (2.193)$$

$$+ \frac{(b-1) (33791b^5 - 291742b^4 + 1002991b^3 - 1715000b^2 + 1457088b - 491520) X(t)^4}{5760} + \quad (2.194)$$

$$+ \frac{(b-2)^2 (2056b^4 - 14424b^3 + 37353b^2 - 42148b + 17404) X(t)^3}{1440} + \quad (2.195)$$

$$+ \frac{(b-2)^2 (56b^4 - 514b^3 + 1753b^2 - 2623b + 1444) X(t)^2}{360} + \quad (2.196)$$

$$+ \frac{(b-2)^2 (b-3)^2 (b-4)^2 X(t)}{240} : \quad (2.197)$$



Remarque 2.3.34. Les SGEs  $H_\nu$  des composantes lisses d'excès  $\nu$  pour  $b \geq 3$  admettent une même expression fonction de  $b$ .

Lemme 2.3.35. Les  $f_{jk}$  de la remarque 2.3.21 sont des polynômes de Laurent de degré minimum égal à

$$\begin{aligned} (3j+2k)-1 & \text{ si } (j;k) = (1;1) \\ (3j+2k) & \text{ si } (j;k) \notin (1;1) : \end{aligned} \tag{2.198}$$

Preuve. La preuve est immédiate par la récurrence des  $f_{jk}$  du théorème 2.3.24. }

Lemme 2.3.36. Considérons les familles de composantes d'excès  $j_i$  et ayant  $k_i$  sommets marqués,  $1 \leq j_i \leq 1$  et  $1 \leq k_i \leq b$ , composantes qui se recombinent en composante  $b$ -uniforme d'excès  $\nu$  et sans hyperarête multiple. Seules les familles ayant exactement  $(b-2)$  hyperarbres enracinés suffisent à la détermination du coefficient du terme de degré minimum  $3\nu$  de  $f_\nu$ . Et ces familles avec celles ayant exactement  $(b-3)$  hyperarbres enracinés suffisent à la détermination du coefficient du terme de degré  $(3\nu+1)$  de  $f_\nu$ .

Preuve. Notons par  $m_{\nu,1}$  le nombre de hyperarbres d'une famille fixée. Alors le degré minimum des termes (dans  $f_\nu$ ) liés à la famille considérée est

$$\sum_i (3j_i + 2k_i) - m_{\nu,1} - 1 = (3\nu + 3) + (b - m_{\nu,1}) - 1; \tag{2.199}$$

d'après le lemme précédent et la décomposition relatée dans l'expression  $\hat{J}$  du théorème 2.3.24. }

Ce dernier lemme nous permet d'explicitier les deux premiers coefficients de  $f_\nu$ , à savoir celui du terme de degré respectivement  $3\nu$  puis  $(3\nu+1)$  pour les composantes complexes  $(\nu-1)$ . Notre motivation pour mieux inspecter ces coefficients vient de leur importance dans la littérature pour faire de l'énumération asymptotique comme souligné dans [28, page 42] : le premier coefficient est lié à ce qui est aussi dénommé coefficient de Wright-Stepanove (voir [4]) ou encore coefficient de Wright-Takacs-Louchard et son expression asymptotique a fait l'objet d'étude [6, 7] permettant alors d'obtenir des énumérations de composantes d'excès tendant vers l'infini avec le nombre de sommets [24].

Théorème 2.3.37. La SGE  $H_\nu$  des composantes d'excès  $\nu-1$  est telle que :

$$H_\nu(t) = \frac{1}{t} \left[ \frac{(b-1)^{2\nu}}{3^\nu (t)^{3\nu}} + \frac{((b-2)(b-1)^{2\nu-1})}{(3^\nu-1)(t)^{3\nu-1}} + \sum_{j=3\nu+2}^{b\nu+1+1c} c_j(\nu;b) (t)^j \right]; \tag{2.200}$$

avec

$$c_0 = \frac{1}{2} \tag{2.201}$$

$$c_\nu = \frac{1}{2} \nu (3^\nu - 1) + \frac{1}{2} \sum_{p=0}^{\nu-1} \nu - 1 - p \quad \text{pour } \nu = 1; 2; \dots \tag{2.202}$$

$$1 = \frac{1}{3!} + \frac{1}{2!} 0 \quad (2.203)$$

$$, = + \frac{1}{6} \sum_{s=0}^{\infty} X^{2s} X^{2s} \quad (2.204)$$

$$+ \frac{1}{2} ,_1 + \frac{1}{2} \sum_{p=0}^{\infty} (3p+2) X^{2p} ,_2 \quad (2.205)$$

$$+ \frac{1}{6} (3^{\cdot} - 4)(3^{\cdot} - 2) ,_2 \quad \text{pour } \cdot = 2; 3; \dots; \quad (2.206)$$

soit  $0$  tel que :

$$0 = b - 1 \quad (2.207)$$

abrs

$$, = \frac{1}{2} ((3^{\cdot} - 2) ,_1 + (3b^{\cdot} - b - 2^{\cdot}) ,_1) + \sum_{p=0}^{\infty} X^{2p} ,_1 \quad (2.208)$$

ou  $,$  est à calculer au besoin

$$, = , (b - 2) + , (b - \frac{2}{3}) \quad \text{pour } \cdot = 1; 2; \dots \quad (2.209)$$

(Notons que  $, = , (b)$ ).

Dans ce chapitre, nous avons obtenu des énumérations explicites des hyperarbres enracinés (donc aussi de ceux non enracinés), des forêts de  $(k+1)$  hyperarbres enracinés (donc par déduction des forêts d'hyperarbres enracinés) et des hypercycles. La complexité rencontrée dans les expressions des énumérations explicites nous a mené à expliciter non pas le nombre même des composantes d'excès donnée, mais leur série génératrice via la notion des composantes lisses, et permettre ainsi de procéder à l'énumération en utilisant la formule d'inversion de Lagrange. Si la détermination des SGEs a pu être automatisée grâce entre autre à la grande expressivité des SGEs pour décrire des décompositions des structures à énumérer, la complexité des expressions explicites nous force à préférer des équivalents asymptotiques. L'énumération asymptotique est traitée dans le chapitre suivant.

## Chapitre 3

# Énumération asymptotique

Dans ce chapitre, notre but est de fournir un équivalent asymptotique du nombre de composantes d'excès  $\ell$  quand la taille, c'est à dire le nombre de sommets, est grande. Notre motivation vient, d'une part, de la difficulté du calcul du nombre exact pour des composantes de grande taille, et d'autre part, de la connaissance des SGEs des composantes lisses permettant de faire de l'estimation asymptotique via la formule d'inversion de Lagrange, la formule intégrale de Cauchy en analyse complexe et, ici, notamment par la méthode du point col pour obtenir nos résultats. Les notions relatives à l'utilisation des séries génératrices pour l'énumération asymptotique apparaissent dans [26], en particulier ici les résultats asymptotiques sont obtenus via la méthode du point col – voir [15, 8] pour plus de précisions sur les méthodes asymptotiques.

Le plan de ce chapitre est le suivant : nous commençons par l'énumération asymptotique des hyperarbres enracinés, puis enchaînons avec celle des hypercycles et démontrons un encadrement des coefficients  $[z^n]H_\ell \sim T_\ell(z)$ ,  $\ell \geq 1$ , pour finalement après établir le nombre asymptotique des composantes complexes d'excès donne.

### 3.1 Énumération asymptotique des hyperarbres

Dans cette section, étant vue l'importance des hyperarbres enracinés pour l'énumération exacte des hypergraphes, nous procédons à l'énumération asymptotique de ces composantes les plus simples. La méthode du point col, pour faire de l'énumération asymptotique, est ici illustrée et validée parce que le résultat se vérifie aussi par une autre preuve : via la formule de Stirling, connaissant l'expression du nombre des hyperarbres enracinés à un nombre de sommets donné.

Nous commençons par un exemple, en fixant la valeur de  $b = 3$ , et déterminons le développement asymptotique des coefficients de la SGE des hyperarbres enracinés 3-uniformes.

**Proposition 3.1.1.** Le nombre des hyperarbres 3-uniformes enracinés ayant  $(2s + 1)$  sommets est déterminé à partir du coefficient de  $z^{2s+1}$  du développement de la SGE

$$T_3(z) = z \exp \frac{T_3(z)^2}{2} \quad ; \quad (3.1)$$

Ce coefficient admet le développement asymptotique, quand  $(s \rightarrow \infty)$ , suivant

$$z^{2s+1} T_3(z) = \frac{e^{s+1/2}}{2^s s!} \left( 1 + \frac{17}{24s} + \frac{481}{1152s^2} + \frac{96133}{414720s^3} + \dots \right) \quad (3.2)$$

Preuve. (Via Stirling) Par le corollaire 2.2.4, le nombre des hyperarbres 3-uniformes enracinés ayant  $s$  hyperarêtes et  $n = n(s) = 2s + 1$  sommets est

$$\frac{n!}{2^s s!} n^{s-1} = \frac{n!}{2^s s!} (2s+1)^{s-1} \quad (3.3)$$

Le coefficient de  $z^{2s+1}$  de la SGE  $T_3(z)$  est donc

$$z^{2s+1} T_3(z) = \frac{(2s+1)^{s-1}}{2^s s!} \quad (3.4)$$

Par l'expansion de Stirling nous obtenons

$$z^{2s+1} T_3(z) = \frac{(1 + \frac{1}{2s})^{s-1} e^s}{2^s s!} \frac{1}{1 + \frac{1}{12s} + \frac{1}{288s^2} + \frac{139}{51840s^3} + \dots} \quad (3.5)$$

Comme

$$\left(1 + \frac{1}{2s}\right)^{s-1} = e^{1/2} \left(1 + \frac{5}{8s} + \frac{139}{384s^2} + \frac{207}{1024s^3} + \dots\right) \quad (3.6)$$

nous obtenons l'expansion asymptotique du coefficient  $z^{2s+1}$  de  $T_3(z)$  suivant

$$z^{2s+1} T_3(z) = \frac{e^{s+1/2}}{2^s s!} \left( 1 + \frac{17}{24s} + \frac{481}{1152s^2} + \frac{96133}{414720s^3} + \dots \right) \quad (3.7)$$

}

Nous retrouvons une version de cette proposition 3.1.1 via la formule d'inversion de Lagrange et via la formule intégrale de Cauchy :

Proposition 3.1.2. Le nombre des hyperarbres 3-uniformes enracinés ayant  $(2s+1)$  sommets est déterminé à partir du coefficient de  $z^{2s+1}$  du développement de la SGE  $T_3(z)$  de nie par l'équation (3.1). Ce coefficient est, pour  $(s \rightarrow \infty)$ , tel que

$$z^{2s+1} T_3(z) = \frac{\exp(s+1/2)}{2^s (2s+1)^{3/2}} \left( 1 + O\left(\frac{1}{(2s+1)^{1/6}}\right) \right) \quad (3.8)$$

Preuve. (Méthode du point col) Par la définition implicite (3.1) de la SGE  $T_3(z)$ , la formule d'inversion de Lagrange donne :

$$z^{2s+1} T_3(z) = \frac{1}{2s+1} \int_0^{\infty} t^{2s} \exp(-(s+1/2)t^2) dt \quad (3.9)$$

Dans le second membre de cette équation, en extrayant le coefficient de  $t^{2s}$  par la formule intégrale de Cauchy, nous trouvons

$$z^{2s+1} T_3(z) = \frac{1}{2i(2s+1)} \int_{\gamma} \frac{\exp(-(s+1/2)t^2)}{t^{2s+1}} dt; \quad (3.10)$$



Soit  $\hat{\gamma}_1$  un voisinage de  $t=1$  du chemin  $\gamma_1$ . Pour avoir l'ordre de grandeur, nous approchons, dans l'intégrande, l'exposant par

$$\langle (s+1=2)(t^2 \ln(t^2)) \rangle = \langle (s+1=2)(1+2(t-1)^2 + O((t-1)^4)) \rangle : \quad (3.14)$$

Nous considérons alors l'intégrale

$$I_1 = \frac{1}{2i(2s+1)} \int_{\hat{\gamma}_1}^Z \exp(s+1=2)(t^2 \ln(t^2)) dt \quad (3.15)$$

$$= \frac{\exp(s+1=2)}{2i(2s+1)} \int_{\hat{\gamma}_1}^Z \exp \langle (2s+1)((t-1)^2 + O((t-1)^4)) \rangle dt : \quad (3.16)$$

En effet, avec le changement de variable

$$\begin{cases} t = 1 + \frac{ir}{2s+1} \\ dt = \frac{i}{2s+1} dr; \end{cases} \quad (3.17)$$

nous avons

$$I_1 = \frac{\exp(s+1=2)}{2(2s+1)^{3=2}} \int_{\hat{\gamma}_1}^Z \exp \left( r^2 + O\left(\frac{r^4}{(2s+1)}\right) \right) dr \quad (3.18)$$

$$= \frac{\exp(s+1=2)}{2(2s+1)^{3=2}} \int_{\hat{\gamma}_1}^Z \exp \left( r^2 \left( 1 + O\left(\frac{r^4}{(2s+1)}\right) \right) \right) dr \quad (3.19)$$

$$= \frac{\exp(s+1=2)}{2(2s+1)^{3=2}} \int_{\hat{\gamma}_1}^Z \exp(r^2) dr + \int_{\hat{\gamma}_1}^Z \exp(r^2) O\left(\frac{r^4}{(2s+1)}\right) dr \quad (3.20)$$

$r$  étant une variable réelle,

$$\int_{\hat{\gamma}_1}^Z \exp(r^2) O\left(\frac{r^4}{(2s+1)}\right) dr = \int_{\hat{\gamma}_1}^Z O\left(\frac{r^4}{(2s+1)}\right) dr \quad (3.21)$$

$$= O\left(\frac{s^5}{(2s+1)}\right) : \quad (3.22)$$

Ainsi, sur la portion  $\hat{\gamma}_1$  du chemin  $\gamma_1$ , approcher l'exposant perm et d'avoir

$$I_1 = \frac{\exp(s+1=2)}{2(2s+1)^{3=2}} \int_{\hat{\gamma}_1}^Z \exp(r^2) dr + O\left(\frac{s^5}{(2s+1)}\right) : \quad (3.23)$$

Comme

$$\int_{\hat{\gamma}_1}^Z \exp(r^2) dr = \int_{\hat{\gamma}_1}^Z \exp(-s r) dr \quad (3.24)$$

$$= \frac{1}{s} \int_{\hat{\gamma}_1}^Z \exp(-r) dr \quad (3.25)$$

$$= O\left(\frac{\exp(-s^2)}{s}\right); \quad (3.26)$$

en prenant  $s = (2s+1)^{1=6}$  pour de nir  $\hat{1}$ , nous trouvons sur ce chemin

$$I_1 = \frac{\exp(s+1=2)}{2(2s+1)^{3=2}} \int_1^Z \exp(-r^2) dr + O\left(\frac{1}{(2s+1)^{1=6}}\right) : \quad (3.27)$$

Nous y reconnaissons l'intégrale de Gauss et pouvons écrire que

$$I_1 = \frac{\exp(s+1=2)}{2^{p=}} \frac{1}{(2s+1)^{3=2}} \left(1 + O\left(\frac{1}{(2s+1)^{1=6}}\right)\right) : \quad (3.28)$$

Des lignes de preuve similaires s'appliquent pour la portion  $\gamma_1$  du contour. Sur cette portion, en prenant le voisinage  $\hat{1}$  centré sur le point col  $\gamma_1$  et de longueur deux fois  $s$ , qui peut être prise égale à  $(2s+1)^{1=3}$ , l'exposant de l'intégrande peut être approché et nous obtenons

$$I_{\gamma_1} = \frac{1}{2i(2s+1)} \int_{\gamma_1}^Z \exp(s+1=2)(t^2 - \ln(t^2)) dt \quad (3.29)$$

$$= \frac{\exp(s+1=2)}{2(2s+1)^{3=2}} \int_s^s \exp(-r^2) dr + O\left(\frac{s^5}{(2s+1)}\right) \quad (3.30)$$

$$= \frac{\exp(s+1=2)}{2^{p=}} \frac{1}{(2s+1)^{3=2}} \left(1 + O\left(\frac{1}{(2s+1)^{1=6}}\right)\right) : \quad (3.31)$$

Soit la portion de  $\gamma_1$

$$\gamma_1^0 : t = 1 + iv; v \in [s^p / (2s+1); 1] : \quad (3.32)$$

Nous approxinons l'exposant de l'intégrande sur cette portion au point  $t = 1 + i s^p / (2s+1)$ .

$$\frac{1}{2i(2s+1)} \int_{\gamma_1^0}^Z \exp(s+1=2)(t^2 - \ln(t^2)) dt = \quad (3.33)$$

$$\frac{1}{2(2s+1)} \int_{s^p / (2s+1)}^1 \exp(s+1=2)(1 - v^2 - \ln(1 + v^2)) dv = \quad (3.34)$$

$$= \frac{\exp(s+1=2)}{2(2s+1)} \int_{s^p / (2s+1)}^1 \exp(s+1=2)(2v^2 + O(v^4)) dv = \quad (3.35)$$

$$= \frac{\exp(s+1=2)}{2(2s+1)^{3=2}} \int_{s^p / (2s+1)}^Z \exp(-r^2) + O\left(\frac{r^4}{(2s+1)}\right) dr = \quad (3.36)$$

$$= \frac{\exp(s+1=2)}{2(2s+1)^{3=2}} \int_s^s \exp(-r^2) \left(1 + O\left(\frac{r^4}{(2s+1)}\right)\right) dr = \quad (3.37)$$

$$= \frac{\exp(s+1=2)}{2(2s+1)^{3=2}} O\left(\frac{\exp(-s^2)}{s}\right) : \quad (3.38)$$

L'ordre de grandeur ci-dessus est valide pour  $s = (2s+1)^{1=6}$  et il souligne que, sur la portion de  $\gamma_1$ , la contribution de l'intégrale est exponentiellement petite en dehors de  $\hat{1}$ .

Soit la portion de  $\gamma_1$

$$\gamma_1^0 : t = u + i; u \in [0; 1] : \quad (3.39)$$

Nous approxin ons l'exposant de l'integrande sur cette portion au point  $t = 1 + i$ .

$$\frac{1}{2i(2s+1)} \int_{i-1}^Z \exp(s+1=2)(t^2 - \ln(t^2)) dt = \quad (3.40)$$

$$\frac{1}{2(2s+1)} \int_{1-i}^Z \exp(s+1=2)(u^2 - 1 - \ln(u^2 + 1)) dv = \quad (3.41)$$

$$= \frac{\exp((s+1=2)\ln(2))}{2(2s+1)} \int_0^Z \exp(s+1=2)((1-u) + O((u-1)^2)) du = \quad (3.42)$$

$$= \frac{\exp((s+1=2)\ln(2))}{2(2s+1)} \int_0^1 \exp(s+1=2)(r + O(r^2)) dr = \quad (3.43)$$

$$= \frac{\exp((s+1=2)\ln(2))}{(2s+1)^2} \int_0^1 \exp(r + O(\frac{r^2}{(s+1=2)})) dr = \quad (3.44)$$

$$= \frac{\exp((s+1=2)\ln(2))}{(2s+1)^2} \int_{s+1=2}^Z \exp(r)(1 + O(\frac{r^2}{(s+1=2)})) dr = \quad (3.45)$$

$$= O(\exp((s+1=2)\ln(2))) : \quad (3.46)$$

Ainsi, sur les portions  $i-1$  [  $i$  du contour , la contribution a l'asym ptotique est exponentiellem ent petite :

$$\frac{1}{2i(2s+1)} \int_{i-1}^Z \exp(s+1=2)(t^2 - \ln(t^2)) dt = O(\frac{1}{2^{s+1=2}}) : \quad (3.47)$$

De m em e, sur les portions  $(1-n^{\wedge}1)$  [  $(1-n^{\wedge}1)$  du contour , la contribution a l'asym p-  
totique est exponentiellem ent petite par rapport a celle des portions lim itees  $\wedge_1$  [  $\wedge_1$  :

$$\frac{1}{2i(2s+1)} \int_{(1-n^{\wedge}1)[(1-n^{\wedge}1)}^Z \exp(s+1=2)(t^2 - \ln(t^2)) dt = \quad (3.48)$$

$$= \frac{\exp(s+1=2)}{(2s+1)^{2=3}} O(\frac{\exp((2s+1)^{2=6})}{(2s+1)^{1=6}}) : \quad (3.49)$$

Ces deux ordres de grandeur etant exponentiellem ent petits par rapport a la contribution de l'integrale sur les portions  $\wedge_1$  [  $\wedge_1$ , l'integrale sur le contour vaut

$$z^{2s+1} T_3(z) = \frac{\exp(s+1=2)}{(2s+1)^{3=2}} \left( 1 + O(\frac{1}{(2s+1)^{1=6}}) \right) : \quad (3.50)$$

}

La m ethode du point col, pour la dem onstration de cette proposition, perm et aussid'avoir un developpen ent asym ptotique com plet du coe cient  $z^{2s+1} T_3(z)$ . Notons que dans les deux propositions, le term e principal est identique m ais l'echelle asym ptotique est di erente : par l'expansion de Stirling, l'echelle est plus precise car c'est en  $1=s$ , et par la m ethode du point col, l'echelle est, a priori, en  $1=s^{1=6}$ .

La proposition 3.1.2 est un cas particulier du theoreme suivant :



Theorem e 3.1.3. Le nombre des hyperarbres ( $b$ -uniformes) enracinés ayant  $(s(b-1)+1)$  sommets est déterminé à partir du coefficient de  $z^{s(b-1)+1}$  du développement de la SGE

$$T(z) = z \exp \frac{T(z)^{b-1}}{(b-1)!} ; \quad (3.51)$$

Ce coefficient est, pour  $(s \geq 1)$ , tel que

$$z^{s(b-1)+1} T(z) = \frac{\exp \frac{n}{b-1}}{n[(b-2)!]^{s-2s}} 1 + O\left(\frac{1}{s^{1/6}}\right) ; \quad (3.52)$$

avec  $n = n(s) = s(b-1) + 1$ .

Preuve. La définition implicite (3.51) donne, par la formule d'inversion de Lagrange avec la formule intégrale de Cauchy, une expression intégrale du coefficient  $z^{s(b-1)+1}$  de la SGE  $T(z)$  :

$$[z^n]T(z) = \frac{1}{2i\pi n} \int \exp \frac{n}{b-1} \frac{t^{b-1}}{(b-2)!} s \ln(t^{b-1}) \frac{dt}{t} ; \quad (3.53)$$

avec  $n = n(s) = s(b-1) + 1$  et avec un contour qui encercle l'origine du plan complexe. Cette formulation intégrale se simplifie en adoptant la notation  $\xi(t)$  que nous rappelons ci-après

$$\xi(t) = \frac{t^{b-1}}{(b-2)!} ; \quad (3.54)$$

En effet, nous obtenons l'expression suivante du coefficient

$$[z^n]T(z) = \quad (3.55)$$

$$= \frac{1}{2i\pi n[(b-2)!]^s} \int \exp \frac{\xi(t)}{b-1} \exp(s(\xi(t) \ln(\xi(t)))) \frac{dt}{t} \quad (3.56)$$

$$= \frac{1}{2i\pi n[(b-2)!]^s (b-1)} \int \exp \frac{\xi(t)}{b-1} \exp(s(\xi(t) \ln(\xi(t)))) \frac{d\xi(t)}{\xi(t)} ; \quad (3.57)$$

Comme la dérivée logarithmique de la fonction  $\xi$  est

$$\frac{d\xi}{\xi} = (b-1) \frac{dt}{t} ; \quad (3.58)$$

de fait un changement de variable, et pour garder un contour simple, il faut multiplier par  $(b-1)$  :

$$[z^n]T(z) = \frac{1}{2i\pi n[(b-2)!]^s} \int \exp \frac{\xi(t)}{b-1} \exp(s(\xi(t) \ln(\xi(t)))) \frac{d\xi}{\xi} ; \quad (3.59)$$

soit, en gardant la notation  $t$  à la place de  $\xi$ ,

$$[z^n]T(z) = \frac{1}{2i\pi n[(b-2)!]^s} \int \exp \frac{t}{b-1} \exp(s(t \ln(t))) \frac{dt}{t} ; \quad (3.60)$$

Le paramètre  $s$  dans l'exposant, nous indique que le point col à considérer est  $t = 1$ , soit la solution de l'équation

$$\frac{d}{dt} (t^{-b} \ln(t)) = 1 - \frac{b}{t} = 0 \tag{3.61}$$

Pour le choix du contour d'intégration passant par ce point col  $t = 1$ , nous prenons un demi-cercle "gauche" :

$$\begin{aligned} z_1 &: t = 1 + iv; & v^2 & \in [s; s] \\ z_0 &: t = 1 + 2 \exp(i\theta); & \theta^2 & \in [-\pi/2; \pi/2] \end{aligned} \tag{3.62}$$

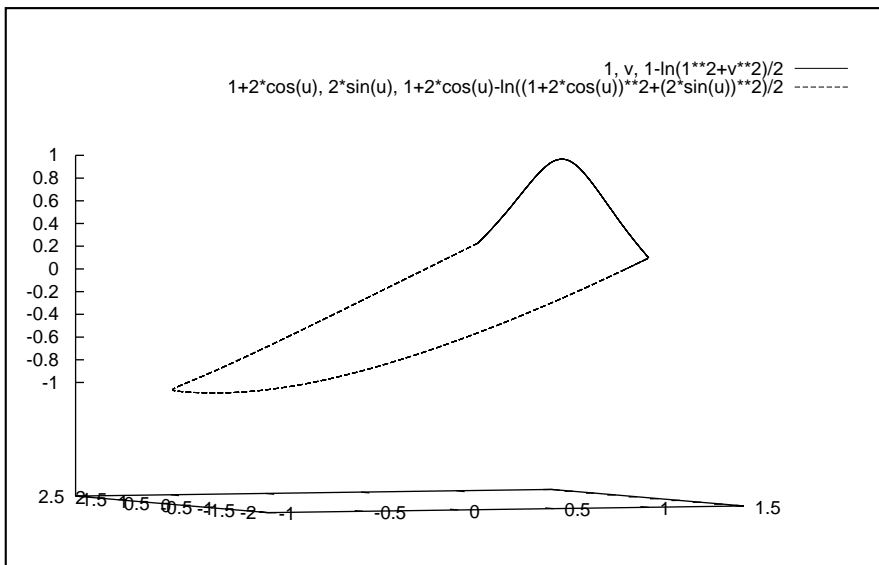


Fig. 3.2 { La valeur de  $\langle t^{-b} \ln(t) \rangle$  sur le contour (demi-cercle gauche) .

Dans la figure 3.2, nous voyons que la contribution, pour le coefficient recherché de la SGE, dans le module de l'intégrande sera très accentuée au point col pour  $(s \neq 1)$ .

Notons  $s$  tel que :

$$z_1 : t = 1 + iv; \quad v^2 \in [s; s] \tag{3.63}$$

La contribution, au coefficient, de l'intégrale sur cette portion de chemin de est

$$I_1 = \tag{3.64}$$

$$= \frac{1}{2i \ln(b-2)!} \int_{z_1}^z \exp\left(\frac{t}{b-1} \exp(s(t \ln(t)))\right) \frac{dt}{t} = \tag{3.65}$$

$$= \frac{\exp(s+1-(b-1))}{2i \ln(b-2)!} \int_{z_1}^z \exp(s((t-1)^2 + O((t-1)^4))) dt; \tag{3.66}$$

soit, avec le changement de variable

$$\begin{aligned} t &= 1 + \frac{ir}{s} \\ dt &= \frac{r}{s} dr; \end{aligned} \tag{3.67}$$

$$I_1 = \frac{\exp(s+1-(b-1))}{n[(b-2)!]^{p/2s}} \int_0^{\infty} \exp(-r^2 + O(\frac{r^4}{s})) dr \quad (3.68)$$

$$= \frac{\exp(s+1-(b-1))}{n[(b-2)!]^{p/2s}} \int_0^{\infty} \exp(-r^2)(1 + O(\frac{r^4}{s})) dr \quad (3.69)$$

$$= \frac{\exp(s+1-(b-1))}{n[(b-2)!]^{p/2s}} \int_0^{\infty} \exp(-r^2) dr + O(\frac{r^4}{s}) \int_0^{\infty} dr : \quad (3.70)$$

Ainsi, sur la portion  $\hat{\gamma}_1$ , approcher l'exposant donne l'ordre de grandeur de l'intégrale :

$$I_1 = \frac{\exp(s+1-(b-1))}{n[(b-2)!]^{p/2s}} \int_0^{\infty} \exp(-r^2) dr + O(\frac{r^4}{s}) : \quad (3.71)$$

En prenant  $s = s^{1=6}$  et en complétant le domaine d'intégration, pour obtenir la droite réelle dans l'intégrale et aboutir ainsi à l'intégrale de Gauss, il s'ensuit la contribution de l'intégrale restreinte à la portion  $\hat{\gamma}_1$  :

$$I_1 = \frac{\exp(s+1-(b-1))}{n[(b-2)!]^{p/2s}} (1 + O(\frac{1}{s^{1=6}})) : \quad (3.72)$$

Pour avoir le résultat, il faut encore négliger la contribution de l'intégrale sur le restant du contour de nién (3.62), à savoir  $\gamma_1 \hat{\gamma}_1$  puis  $\gamma_0$ .

1. Sur la portion  $\gamma_1 \hat{\gamma}_1$  du contour, la contribution au coefficient est

$$I_1^0 = \quad (3.73)$$

$$= \frac{1}{2i n[(b-2)!]^{p/2s}} \int_{\gamma_1 \hat{\gamma}_1} \exp(\frac{t}{b-1}) \exp(s(t - \ln(t))) \frac{dt}{t} = \quad (3.74)$$

$$= 2 \frac{\exp(s+1-(b-1))}{n[(b-2)!]^{p/2s}} \int_0^{\infty} \exp(-r^2)(1 + O(\frac{r^4}{s})) dr = \quad (3.75)$$

$$= \frac{\exp(s+1-(b-1))}{n[(b-2)!]^{p/2s}} O(\frac{\exp(-\frac{2}{s})}{s}) : \quad (3.76)$$

2. Sur la portion  $\gamma_0$ , considérons le chemin

$$\gamma_0^0 : t = 1 + 2 \exp(i \theta); \quad \theta \in [=\pi; \pi]; \quad (3.77)$$

la contribution sur ce chemin au coefficient est

$$I_0 = \quad (3.78)$$

$$= \frac{1}{2i \int_{\gamma_0} \frac{z}{n[(b-2)!]^{1/s}} \exp \frac{t}{b-1} \exp (s(t - \ln(t))) \frac{dt}{t} = \quad (3.79)$$

$$= O \left( \frac{\exp(1-(b-1))}{2 \int_{\gamma_0} \frac{z}{n[(b-2)!]^{1/s}} \exp (s(t - \ln(t))) dt \right) = \quad (3.80)$$

$$= O \left( \frac{e^{1-(b-1)}}{n[(b-2)!]^{1/s}} \int_{\gamma_0} \exp (s(t - \ln(t))) dt \right) = \quad (3.81)$$

$$= O \left( \frac{e^{s(1+2 \cos(\frac{\pi}{5}) - \ln((1+\cos(\frac{\pi}{5}))^2 + 4 \sin(\frac{\pi}{5})^2)=2)} d \right) = \quad (3.82)$$

$$= O \left( \frac{e^{s \ln(\frac{p}{5}) + 1-(b-1)}}{n[(b-2)!]^{1/s}} \int_{\gamma_0} e^{\frac{8s}{5}(\frac{\pi}{2})} d \right) = \quad (3.83)$$

$$= O \left( \frac{e^{s \ln(\frac{p}{5}) + 1-(b-1)}}{n[(b-2)!]^{1/s}} \right) = \quad (3.84)$$

$$= O \left( \frac{e^{s+1-(b-1)}}{n[(b-2)!]^{1/s} 5^{s-2}} \right) : \quad (3.85)$$

Nous trouvons le même ordre de grandeur sur la portion  $\gamma_0$  :

$$\hat{I}_0 = \quad (3.86)$$

$$= \frac{1}{2i \int_{\gamma_0} \frac{z}{n[(b-2)!]^{1/s}} \exp \frac{t}{b-1} \exp (s(t - \ln(t))) \frac{dt}{t} = \quad (3.87)$$

$$= O \left( \frac{e^{s \ln(\frac{p}{5}) + 1-(b-1)}}{n[(b-2)!]^{1/s}} \int_{\gamma_0} e^{\frac{8s}{5}(\frac{\pi}{2})} d \right) = \quad (3.88)$$

$$= O \left( \frac{e^{s+1-(b-1)}}{n[(b-2)!]^{1/s} 5^{s-2}} \right) : \quad (3.89)$$

Ainsi, la contribution au coefficient de la portion  $\gamma_1$  avec celle de la portion  $\gamma_0$  sont exponentiellement petites par rapport à celle de la seule portion  $\hat{\gamma}_1$  du contour  $\hat{\gamma}$ . Nous déduisons, l'ordre de grandeur  $I_1$  du coefficient de la SGE :

$$z^{s(b-1)+1} T(z) = \frac{\exp \frac{n}{b-1}}{n[(b-2)!]^{1/s} 2s} \left( 1 + O \left( \frac{1}{s^{1/6}} \right) \right) : \quad (3.90)$$

}

Par définition d'une SGE  $A(z)$  énumérant des structures  $A$  étiquetées, le nombre de ces structures de taille  $n$  est  $n!$  fois le coefficient  $[z^n]A(z)$ . Ainsi, connaissant l'équivalent asymptotique du factoriel par la formule de Stirling,  $n! \sim n^n e^{-n} \sqrt{2\pi n}$ , et connaissant un équivalent asymptotique du coefficient  $[z^n]T(z)$  par le théorème 3.1.3 précédent, il se déduit le nombre asymptotique des hyperarbres enracinés donc de celui des hyperarbres non enracinés (conséquence directe de la proposition).

Theorem e 3.1.4. Le nombre d'hyperarbres enracinés ayant  $s$  hyperarêtes et  $n = n(s) = s(b-1) + 1$  sommets, pour  $(s \rightarrow \infty)$ , est :

$$n! [z^n] T(z) \sim \frac{b^{-1} s^{s(b-1)}}{\exp((b-2)(s+1-(b-1)))} \frac{(b-1)^{b-1-s}}{(b-2)!} : \quad (3.91)$$

Preuve. Pour prouver ce theorem e il su t de remarquer que

$$n! \sim n^n \exp(-n) \frac{b^{-1}}{2n}; \quad (3.92)$$

et que

$$[z^n] T(z) \sim \frac{\exp\left(\frac{n}{b-1}\right)}{n [(b-2)!]^s \frac{b^{-1}}{2s}} : \quad (3.93)$$

donc

$$n! [z^n] T(z) \sim \frac{n^{n-1} \frac{b^{-1}}{n=s}}{[(b-2)!]^s \exp\left(-n \frac{n}{b-1}\right)} : \quad (3.94)$$

Et l'expression (3.91) s'ensuit. }

Le nombre des hyperarbres non enracinés ayant  $n$  sommets diffère d'un facteur  $n$  en moins que celui des hyperarbres enracinés ayant le même nombre de sommets, il devient clair que

Theorem e 3.1.5. Le nombre d'hyperarbres ayant  $s$  hyperarêtes et  $n = n(s) = s(b-1) + 1$  sommets, asymptotiquement quand  $(s \rightarrow \infty)$ , est :

$$n! [z^n] H_{-1} T(z) \sim \frac{1}{b^{-1}} \frac{s^{s(b-1)-1}}{\exp((b-2)(s+1-(b-1)))} \frac{(b-1)^{b-1-s}}{(b-2)!} : \quad (3.95)$$

Ainsi, le nombre asymptotique des hyperarbres non enracinés est déterminé indirectement par la méthode du point col car nous avons appliqué cette méthode pour déterminer l'asymptotique du coefficient  $[z^n] T(z)$  de la SGE relative aux hyperarbres enracinés. Le point de départ de l'estimation asymptotique étant l'application de la formule d'inversion de Lagrange à la SGE pouvant être exprimée en fonction de  $T(z)$ , pour avoir une expression intégrale du coefficient à estimer. Ayant à disposition la SGE des hypercycles lisses, l'estimation asymptotique du nombre des hypercycles est aussi accessible et elle est faite dans la section suivante.

## 3.2 Enumération asymptotique des hypercycles

Dans cette section, pour énumérer asymptotiquement les hypercycles, nous estimons le  $n$ -ième coefficient de la SGE  $H_0 T(z)$  que nous avons déterminée dans le chapitre précédent (voir (2.15)) et qui est rappelée ci-après

$$H_0(t) = \ln \frac{s!}{1} \frac{t^{b-1}}{(b-2)!} \frac{t^{b-1}}{2(b-2)!} : \quad (3.96)$$

Disposant de la formule d'inversion de Lagrange et de la formule integrale de Cauchy, par la methode du point col, nous determinons un equivalent asymptotique du coefficient de la SGE  $H_0^{-1}(z)$ .

Nous resumons la methode du point col, illustree par des preuves de la section precedente, comme suit :

1. Fixer un contour passant par le point col (susceptible de convenir a la methode).
2. Etablir le terme principal de l'asymptotique dans un voisinage, a preciser, du point col du contour.
3. Negliger la contribution de l'integrale sur le chemin restant du contour, c'est a dire excluant la portion du voisinage de ni plus haut.
4. Conclure.

Par une variante de cette methode, en autorisant que le contour ne passe pas exactement sur le point col mais dans un voisinage proche, nous trouvons :

Proposition 3.2.1. Le nombre des hypercycles ayant  $s(b-1)$  sommets est determine a partir du coefficient de  $z^{s(b-1)}$  du developpement de la SGE  $H_0^{-1}(z)$  avec

$$H_0^{-1}(z) = \ln \frac{1}{1 - \frac{z^{b-1}}{(b-2)!}} = \sum_{s=1}^{\infty} \frac{z^{s(b-1)}}{s(b-2)!} \quad (3.97)$$

Ce coefficient est, pour  $(s-1)!$ , tel que

$$[z^n]H_0^{-1}(z) = \frac{(b-1) \exp(s)}{4n [(b-2)!]^s} f(1 + O(1-s)g) \quad (3.98)$$

avec  $n = n(s) = s(b-1)$ .

Preuve. La SGE  $H_0^{-1}(z)$  (3.97) des hypercycles lisses permet, grace a la formule d'inversion de Lagrange, d'exprimer le  $n$ -ieme ( $n = n(s) = s(b-1)$ ) coefficient  $[z^n]H_0^{-1}(z)$  sous forme d'une integrale :

$$[z^n]H_0^{-1}(z) = \frac{b-1}{4i n} \int_1^I \frac{(t)^n}{1 - \frac{(t)^{b-1}}{(b-2)!}} \exp(-n \frac{(t)^{b-1}}{b-1} - n \ln(t)) \frac{dt}{t} \quad (3.99)$$

avec un contour integral qui encercle, dans le sens direct, l'origine du plan complexe et  $(t) = t^{b-1} = (b-2)!$ . En effet, la derivee de la SGE  $H_0$  est

$$\frac{d}{dt} H_0(t) = \frac{(t)^{b-1}}{2t(1 - \frac{(t)^{b-1}}{(b-2)!})} \quad (3.100)$$

Nous trouvons alors

$$[z^n]H_0^{-1}(z) = \int_1^I \frac{(t)^n}{1 - \frac{(t)^{b-1}}{(b-2)!}} \exp(-n \frac{(t)^{b-1}}{b-1} - n \ln(t)) \frac{dt}{t} \quad (3.101)$$

$$= \frac{1}{4i n} \int_1^I \frac{(t)^n}{1 - \frac{(t)^{b-1}}{(b-2)!}} \exp(-n \frac{(t)^{b-1}}{b-1} - n \ln(t)) \frac{dt}{t} = \quad (3.102)$$

$$= \frac{b-1}{4i n [(b-2)!]^s} \int_1^I \frac{t}{1 - \frac{t^{b-1}}{(b-2)!}} \exp(s(t \ln(t))) \frac{dt}{t} = \quad (3.103)$$

$$= \frac{b-1}{4i n [(b-2)!]^s} \int_1^I \frac{1}{1 - \frac{t^{b-1}}{(b-2)!}} \exp(s(t \ln(t))) dt : \quad (3.104)$$

Sous cette forme intégrale, nous observons que l'intégrande présente un point col qui est déterminé par la racine de la dérivée de l'exposant et un point singulier déterminé par la racine de  $(1-t)$ . Soit  $t=1$  est à la fois un point col et un point singulier. Pour appliquer la méthode du point col, nous adoptons la formulation intégrale suivante du coefficient :

$$[z^n]H_0^{-1}(z) = \frac{b-1}{4i\pi n[(b-2)!]^{1/2}} \int_0^1 \exp\left\{s(t-\ln(t) - \frac{\ln(1-t)}{s})\right\} dt; \quad (3.105)$$

Notons par  $h_s$  le facteur du paramètre  $s$  dans l'exposant de l'intégrale précédente :

$$h_s(t) = t - \ln(t) - \frac{\ln(1-t)}{s}; \quad (3.106)$$

Pour identifier d'éventuel point col, il faut trouver la racine de  $h_s'(t) = 0$ . La dérivée  $h_s'$  étant :

$$h_s'(t) = 1 - \frac{1}{t} + \frac{1}{s(1-t)}; \quad (3.107)$$

nous identifions le point col, de module strictement inférieur à 1 pour  $(s \neq 1)$ ,

$$t_s = 1 - \frac{1}{4s+1}; \quad (3.108)$$

Nous faisons alors le choix d'un contour, similaire à celui de la preuve du théorème 3.1.3, mais contournant le point col  $t_s$  :

$$\begin{aligned} & \gamma_1 : t = t_s + \exp(i\theta); \quad \theta \in [0; 2\pi] \\ & \gamma_2 : t = t_s + iv; \quad v \in [0; 1] \\ & \gamma_3 : t = t_s + 3\exp(i\theta); \quad \theta \in [0; 2\pi] \end{aligned} \quad (3.109)$$

Nous voyons, sur l'exemple de la figure 3.3, que le module de l'intégrande capturera l'essentiel de l'asymptotique pour le paramètre  $(s \neq 1)$ . Nous qualifions la méthode comme méthode du point col dans la mesure où l'intégration sur le contour  $\gamma_1$  est égale à l'intégration sur le segment  $\gamma_2$   $[t_s - i\epsilon; t_s + i\epsilon]$ .

Le contour d'intégration (3.109) étant fixe, il nous faut déterminer le terme principal de l'asymptotique du coefficient porté par la portion  $\gamma_1$  du contour autour du point col  $t_s$ . Notons  $I_1$  la valeur de l'intégrale sur la portion  $\gamma_1$ , c'est à dire

$$I_1 = \frac{b-1}{4i\pi n[(b-2)!]^{1/2}} \int_{\gamma_1} \frac{1}{t} \frac{\exp(st)}{t^s} dt; \quad (3.110)$$

soit, avec le changement de variable

$$\begin{aligned} & t = 1 + \frac{t}{s} \\ & dt = \frac{dt}{s} \\ & \gamma_1 : t = st_s - s + se^{i\theta}; \quad \theta \in [0; 2\pi]; \end{aligned} \quad (3.111)$$

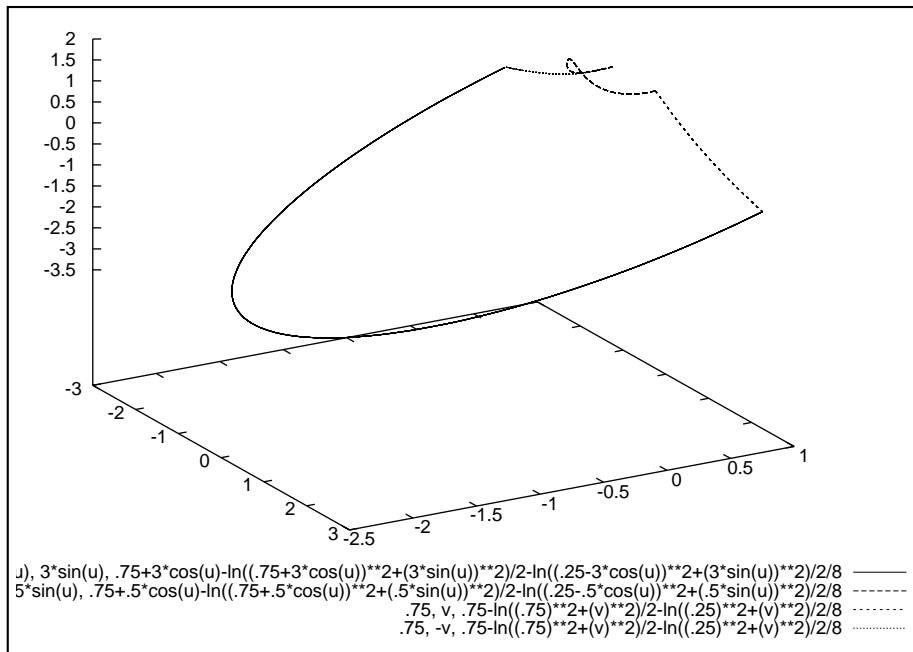


Fig. 3.3 { La valeur de  $\langle t \ln(t) \ln(1-t) \rangle_s$  sur le contour pour  $s = 8$ .

$$I_1 = \frac{(b-1) \exp(s)}{4i \int_0^1 \dots} \int_{\gamma_1}^Z \exp(O(t^2=s)) \frac{dt}{t} \tag{3.112}$$

$$= \frac{(b-1) \exp(s)}{4i \int_0^1 \dots} \int_1^Z \frac{dt}{t} (1 + O(t^2=s)) \tag{3.113}$$

$$= \frac{(b-1) \exp(s)}{4n \int_0^1 \dots} f_1 + O(1=s)g : \tag{3.114}$$

Ainsi, la contribution de l'integrale sur  $\gamma_1$  est

$$I_1 = \frac{(b-1) \exp(s)}{4n \int_0^1 \dots} f_1 + O(1=s)g : \tag{3.115}$$

Il nous reste a negliger la contribution de l'integrale sur le contour restant, a savoir sur  $\gamma_2$  et sur  $\gamma_0$ . Notons  $I_2$  l'integrale sur la portion  $\gamma_2$ , alors

$$I_2 = \tag{3.116}$$

$$= \frac{b-1}{4i \int_0^1 \dots} \int_{\gamma_2}^Z \exp(sh_s(t)) dt = \tag{3.117}$$

$$= \frac{(b-1) \exp(s)}{4i \int_0^1 \dots} \int_2^Z \exp(sh_s(t) - s) dt : \tag{3.118}$$

Rappelons l'equation param etrique de la portion  $\gamma_2$  du contour (3.109) :

$$\gamma_2 : t = t_s + iv; \quad v^2 \in [3; 1=2] \cap [1=2; 3] : \tag{3.119}$$



Sur  $\gamma_2$ , la partie réelle  $\Re(h_s(t) - 1)$ , pour  $(s \neq 1)$ , exprimée avec le paramètre  $v$  de l'équation précédente, est telle que : d'un côté, si  $v \in [3; 1=2]$ ,

$$\Re(h_s(t) - 1) \leq \frac{\ln(8)}{5} (v + 3) \ln \left( \frac{p}{10} \right) \tag{3.120}$$

et d'un autre côté, si  $v \in [1=2; 3]$ ,

$$\Re(h_s(t) - 1) \leq \frac{\ln(8)}{5} (v - 3) \ln \left( \frac{p}{10} \right) : \tag{3.121}$$

La valeur de l'intégrande  $I_2$  est donc telle que

$$I_2 = \tag{3.122}$$

$$= O \left( \frac{(b-1) \exp(s)}{4 \ln[(b-2)!] 10^{s-2}} \int_{1=2}^Z e^{s \ln(8)(v+3)=5} dv \right) + \tag{3.123}$$

$$+ O \left( \frac{(b-1) \exp(s)}{4 \ln[(b-2)!] 10^{s-2}} \int_{1=2}^Z e^{-s \ln(8)(v-3)=5} dv \right) = \tag{3.124}$$

$$= O \left( \frac{(b-1) \exp(s)}{4 \ln[(b-2)!] 10^{s-2}} \right) : \tag{3.125}$$

Ainsi, la contribution au coefficient de l'intégrale sur la portion  $\gamma_2$  du contour est exponentiellement plus petite que celle  $I_1$  sur la portion  $\gamma_1$ .

Nous trouvons aussi que la contribution de l'intégrale sur la portion  $\gamma_0$ , définie en (3.109), est exponentiellement plus petite que  $I_1$ . Pour le montrer, notons  $I_0$  cette contribution :

$$I_0 = \tag{3.126}$$

$$= \frac{b-1}{4i \ln[(b-2)!]} \int_0^Z \exp(sh_s(t)) dt = \tag{3.127}$$

$$= \frac{(b-1) \exp(s)}{4i \ln[(b-2)!]} \int_0^Z \exp(sh_s(t) - s) dt : \tag{3.128}$$

Rappelons l'équation paramétrique du demi-cercle  $\gamma_0$

$$\gamma_0 : t = t_s + 3 \exp(i\theta); \quad \theta \in [2\pi; 3\pi] : \tag{3.129}$$

Avec cette notation, en prenant  $\theta$  comme variable, la partie réelle du facteur de  $s$  de l'exposant  $(h_s(t) - 1)$  est telle que :

{ Dans un voisinage de  $t = t_s + 3i$ , soit encore dans un voisinage de  $\theta = 2\pi$ ,

$$\Re(h_s(t) - 1) = \ln \left( \frac{p}{10} \right) + \frac{27}{10} \left( \frac{\theta - 2\pi}{2} \right) + O \left( \left( \frac{\theta - 2\pi}{2} \right)^2 \right) : \tag{3.130}$$

{ Et dans un voisinage de  $t = t_s - 3i$ , soit encore dans un voisinage de  $\theta = 3\pi$ ,

$$\Re(h_s(t) - 1) = \ln \left( \frac{p}{10} \right) + \frac{27}{10} \left( \frac{\theta - 3\pi}{2} \right) + O \left( \left( \frac{\theta - 3\pi}{2} \right)^2 \right) : \tag{3.131}$$

Ainsi, l'intégrale  $I_0$  est telle que

$$I_0 = \quad (3.132)$$

$$= O\left(\frac{(b-1)\exp(s)}{4n[(b-2)!]^{s-2}}\right) \quad (3.133)$$

$$\left(\int_{\mathbb{Z}} e^{\frac{27s}{10}\left(\frac{z}{2}\right)} dz + \int_{\mathbb{Z}} e^{\frac{27s}{10}\left(\frac{z}{2}\right)} dz\right) = \quad (3.134)$$

$$= O\left(\frac{(b-1)\exp(s)}{4n[(b-2)!]^{s-2}}\right) : \quad (3.135)$$

$I_0$  est donc aussi exponentiellement petit par rapport à  $I_1$ . Nous concluons alors que  $I_1$  est l'ordre de grandeur du coefficient de la SGE et

$$[z^n]H_0 \sim T(z) = \frac{(b-1)\exp(s)}{4n[(b-2)!]^{s-2}} \left(1 + O\left(\frac{1}{s}\right)\right) : \quad (3.136)$$

}

Notons que ce résultat est valide dans le cas des graphes en prenant simplement  $b=2$  et ainsi obtenir l'asymptotique du coefficient de la SGE  $W_0 \sim T(z)$  des unicycles.

Comme nous avons vu pour les hyperarbres enracinés, le nombre asymptotique des hypercycles se déduit aussi de l'asymptotique du coefficient de sa SGE  $H_0 \sim T(z)$ , donnée par la proposition 3.2.1, grâce à la formule de Stirling :

Theorem 3.2.2. Le nombre d'hypercycles ayant  $s$  hyperarêtes et  $n = n(s) = s(b-1)$  sommets, pour  $(s \rightarrow \infty)$ , est :

$$n! [z^n]H_0 \sim T(z) \sim \frac{P}{4} \frac{(b-1)^{s(b-1)-2}}{\exp(s(b-2))} \frac{(b-1)^{b-1} s^{-s}}{(b-2)!} : \quad (3.137)$$

Ainsi, nous avons une fois de plus la confirmation que l'analyse complexe, la méthode du point col pour inspirer la recherche d'un contour d'intégration, convient pour faire de l'énumération asymptotique : par cette méthode a été établi, theorem 3.1.3, le nombre asymptotique des hyperarbres et, theorem 3.2.2, le nombre asymptotique des hypercycles quand la taille des structures est grande. Ces énumérations asymptotiques ont pu être faites parce que nous disposons des SGEs des structures lisses correspondantes. La méthode du point col, a priori, permet aussi de trouver un contour aboutissant à un résultat d'énumération asymptotique des composantes complexes d'exces  $\geq 1$  donne, sachant que nous disposons d'un moyen "pratique" (un programme) pour déterminer l'expression de la SGE  $H_\nu$  des structures lisses correspondantes. Dans la section suivante, nous procédons à l'énumération asymptotique des composantes complexes selon leur excès.

### 3.3 Énumération asymptotique des composantes complexes

Les preuves vues jusqu'ici pour avoir l'asymptotique des hyperarbres et des hypercycles nécessitent la connaissance des SGEs des composantes lisses correspondantes. Un

schéma de preuve similaire permet aussi d'obtenir des résultats d'énumération asymptotique des composantes complexes, une des difficultés ici étant d'énoncer un résultat générique pour tout excès.

Dans cette section, nous commençons par généraliser un résultat d'encadrement des coefficients des SGEs  $W_n(z)$  (cas des graphes) obtenu par Wright [EM] dans [22] aux hypergraphes puis nous enonçons un lemme pour l'asymptotique des coefficients de la SGE des séquences de chaînes, et enfin nous enonçons le résultat d'énumération asymptotique.

### 3.3.1 Encadrement des coefficients de la SGE des composantes complexes

Dans cette sous-section, nous tirons profit de la possibilité, par le théorème 2.3.37 vu dans le chapitre 2, de déterminer les premiers coefficients de la SGE, sous la forme (2.120), des composantes complexes d'excès donné. Bien que dans ce chapitre, un langage analytique domine les énoncés d'énumération asymptotique, dans cette sous-section en particulier, nous retrouvons un raisonnement plus combinatoire (lecture bijective de SGE) comme dans le chapitre précédent. Nous soulignons en particulier, l'intérêt de la lecture combinatoire (voir la preuve du théorème 2.3.2) de la formule d'inversion de Lagrange comme illustration clé pour avoir l'encadrement des coefficients.

Pour les notations de l'énoncé du théorème qui suit, reprenons ici les notations utilisées pour les déclinaisons des formes des SGEs  $H_n$  :

$$H_n(t) = \tag{3.138}$$

$$= \frac{(1-t)^{r-1}}{t^r} \sum_{p=0}^{X^3} A_{p,3} \frac{1-t}{t}^p = \tag{3.139}$$

$$= \frac{1}{t^r} \sum_{j=3}^{X^3} c_j(r;b) (t)^j = \tag{3.140}$$

$$= \frac{f_r(t)}{t^r}; \tag{3.141}$$

avec  $r = b(\lambda + 1) = (b-1) + 1c$  et  $(t) = 1 - t^{b-1} = (b-2)!$ .

Dans le théorème suivant, nous enonçons l'encadrement des coefficients de la SGE  $H_n(z)$  des composantes complexes d'excès  $\lambda \geq 1$ .

**Théorème 3.3.1.** Le nombre  $n! [z^n] H_n(z)$  de composantes complexes d'excès  $\lambda$  ayant  $n$  sommets admet l'encadrement suivant :

La majoration

$$n! [z^n] H_n(z) \leq (n-1)! t^{n+\lambda} \frac{3^{b-1} A_{\lambda,3}}{(t)^{3\lambda+1}} (t)^n \tag{3.142}$$

et la minoration

$$(n-1)! t^{n+\lambda} \frac{B_\lambda}{(t)^{3\lambda+1}} \frac{C_\lambda}{(t)^3} (t)^n \leq n! [z^n] H_n(z); \tag{3.143}$$

ou

$$B_{\nu} = 3^{\nu} (b-1) A_{\nu,3^{\nu}}; \quad (3.144)$$

$$C_{\nu} = (9^{\nu/2} + \nu) A_{\nu,3^{\nu}} + (b-1)(3^{\nu}-1)(r A_{\nu,3^{\nu}} - A_{\nu,3^{\nu}-1}); \quad (3.145)$$

et

$$t) = \exp \frac{t^{b-1}}{(b-1)!}; \quad (3.146)$$

En fait,  $B_{\nu}$  et  $C_{\nu}$  designent respectivement les coefficients de  $x^{3^{\nu}-1}$  et de  $x^{3^{\nu}}$  dans

$$(b-1)(1-x)f^{(0)}(x) - \nu f_{\nu}(x); \quad (3.147)$$

$$f_{\nu}(x) = (1-x)^{r_{\nu}} \sum_{p=0}^{\infty} A_{\nu,p} \frac{1-x^p}{x^p}; \quad (3.148)$$

Preuve. Le nombre des composantes d'exces  $\nu-1$  ayant  $n$  sommets est determinee grace a la formule d'inversion de Lagrange :

$$n! [z^n] H_{\nu}^{-1}(z) = \quad (3.149)$$

$$= (n-1)! t^{n-1} \int_0^1 (t)^n \frac{d}{dt} \frac{f_{\nu}(t)}{t^{\nu}} dt = \quad (3.150)$$

$$= (n-1)! t^{n-1} \frac{(t)^n}{t^{\nu+1}} \left( (b-1)(1-t)f^{(0)}(t) - \nu f_{\nu}(t) \right) dt = \quad (3.151)$$

$$= (n-1)! t^{n+\nu-1} \int_0^1 (t)^n \left( (b-1)(1-t)f^{(0)}(t) - \nu f_{\nu}(t) \right) dt; \quad (3.152)$$

Notons pour  $\nu \geq 1$ ,

$$R_{\nu}(x) = (b-1)(1-x)f^{(0)}(x) - \nu f_{\nu}(x) \quad (3.153)$$

alors  $R_{\nu}$  est un polynôme de Laurent de degre minimum  $(3^{\nu}-1)$ , de degre maximum borne par  $r_{\nu} = b(\nu+1) = (b-1) + 1c$ , et a coefficients rationnels. Le nombre de composantes ci-dessus s'écrit :

$$n! [z^n] H_{\nu}^{-1}(z) = (n-1)! t^{n+\nu-1} \int_0^1 R_{\nu}(t) (t)^n dt; \quad (3.154)$$

Il s'ensuit que les coefficients de la SGE  $R_{\nu}(t)$  sont tous positifs ou nuls, ce que nous notons pour une serie en la variable  $t$  comme suit :

$$R_{\nu}(t) = \sum_{i \geq 0} r_{\nu,i} t^i; \quad (3.155)$$

En effet, la multiplication par  $(t)^n$  qui apparait dans le second membre de (3.154) souligne la decomposition des structures a enumerer, comme dans la preuve de la formule d'inversion de Lagrange (theoreme 2.3.2) : sur les structures lisses sont grees des hyperarbres enracines. Ainsi,  $R_{\nu}(t)$  est une SGE enumerant des structures lisses  $R_{\nu}$ . Connaissant les caracteristiques du polynôme de Laurent  $R_{\nu}$ , nous sommes assures de l'existence d'un nombre  $a_{3^{\nu}+1}$  tel que

$$\frac{a_{3^{\nu}+1}}{(t)^{3^{\nu}+1}} R_{\nu}(t) = \sum_{i \geq 0} r_{\nu,i} t^i; \quad (3.156)$$

En e et, il existe un entier  $N$  tel que les SGEs

$$f(t) = t^{3^N-1}; (t)^{3^N}; \dots; (t)^1; (1-t); \dots; (1-t)^N g \tag{3.157}$$

forment une échelle de décomposition de  $R_0(t) = 1-t$ . Combinatoirement, cette équation (3.156) dit que  $a_{3^N+1}(t)^{3^N-1}$  compte des structures lisses combinatoires beaucoup plus nombreuses a un nombre de sommets donne que  $R_0$ . Prenons  $a_{3^N+1}$  le plus petit nombre vérifiant cette propriété (3.156), formellement

$$a_{3^N+1} = \min_{a \in \mathbb{Z}^+} \frac{a}{(t)^{3^N+1}} \quad R_0(t) = 1-t \geq 0 \tag{3.158}$$

L'équation (3.156) souligne alors l'existence de structures combinatoires lisses (a une pondération multiplicative près)  $R_1^1$ , énumérées par la SGE  $R_1^1(t)$  de degré par son premier membre :

$$R_1^1(x) = \frac{a_{3^N+1}}{x^{3^N+1}} \quad R_0(x) \tag{3.159}$$

Comme  $a_{3^N+1}$  est choisi comme étant le plus petit, nous sommes assurés de trouver un nombre  $a_{3^N}$  tel que

$$R_0(t) = \frac{a_{3^N+1}}{(t)^{3^N+1}} - \frac{a_{3^N}}{(t)^{3^N}} \geq 0 \tag{3.160}$$

soit

$$\frac{a_{3^N}}{(t)^{3^N}} \leq R_1^1(t) \geq 0 \tag{3.161}$$

Prenons ici aussi dans (3.160)  $a_{3^N}$  comme étant le plus petit :

$$a_{3^N} = \min_{a \in \mathbb{Z}^+} \frac{a}{(t)^{3^N}} \quad R_1^1(t) \geq 0 \tag{3.162}$$

Le procédé se réitère et avec un plus petit nombre  $a_{3^N-1}$  donne

$$\frac{a_{3^N+1}}{(t)^{3^N+1}} - \frac{a_{3^N}}{(t)^{3^N}} + \frac{a_{3^N-1}}{(t)^{3^N-1}} \leq R_0(t) \geq 0 \tag{3.163}$$

soit

$$\frac{a_{3^N-1}}{(t)^{3^N-1}} \leq R_2^2(t) \geq 0 \tag{3.164}$$

avec

$$R_2^2(x) = R_0(x) - \frac{a_{3^N+1}}{x^{3^N+1}} + \frac{a_{3^N}}{x^{3^N}} \tag{3.165}$$

Le procédé se réitère et s'arrête après avoir déterminé  $a_1$  ou bien quand on obtient des structures  $R_j^{j_0}$  énumérées par la SGE  $R_j^{j_0}(t)$ ,  $R_j^{j_0}$  étant un polynôme. Ainsi, a un signe près,  $R_j^{j_0}(x)$  vaut

$$R_j^{j_0}(x) = \frac{a_{3^N+1}}{x^{3^N+1}} - \frac{a_{3^N}}{x^{3^N}} + \dots + (-1)^{j_0-3^N+1} \frac{a_{j_0}}{x^{j_0}} \tag{3.166}$$

En y faisant une identification des  $a_j$  avec les coefficients du polynôme de Laurent  $R_j^{j_0}$ , nous obtenons en particulier les deux inégalités du théorème de nissant l'encadrement comme conséquence immédiate de la propriété de positivité imposée à la définition des  $a_j$  (qui par cette identification sont rationnels) :

{ la majoration est, par (3.160),

$$n! [z^n] H \cdot T(z) = \sum_{h=0}^n \binom{n}{h} t^{n+h} \quad (3.167)$$

$$= (n-1)! t^{n+1} (R \cdot (t) (t)^n) \quad (3.168)$$

$$(n-1)! t^{n+1} \left( \frac{a_3+1}{(t)^{3+1}} (t)^n \right) \quad (3.169)$$

{ et la minoration est, par (3.163),

$$n! [z^n] H \cdot T(z) = \sum_{h=0}^n \binom{n}{h} t^{n+h} \quad (3.170)$$

$$= (n-1)! t^{n+1} (R \cdot (t) (t)^n) \quad (3.171)$$

$$(n-1)! t^{n+1} \left( \left( \frac{a_3+1}{(t)^{3+1}} - \frac{a_3}{(t)^3} \right) (t)^n \right) : \quad (3.172)$$

}

Dans cette preuve, le raisonnement se base sur un procede d'inclusion exclusion pour compter des structures lisses qui contiennent un nombre fixe de cha^nes : toutes les structures sont comptees en excès comme si chacune avait 3 cha^nes ; des extra structures seront alors incluses dans le compte ainsi fait et ces extra structures peuvent a leur tour être comptees en excès comme si chacune avait (3-1) cha^nes ; etc.

Nous retiendrons la version de la majoration suivante :

Theorem e 3.3.2. Le nombre  $n! [z^n] H \cdot T(z)$  des composantes complexes d'excès  $\ell$  ayant  $n$  sommets admet la majoration suivante :

$$n! [z^n] H \cdot T(z) \leq \sum_{h=0}^n \binom{n}{h} t^{n+h} \frac{(t)}{(1-t)^{3+1}} (t)^n ; \quad (3.173)$$

avec  $(t) = t^{b-1} = (b-2)!$ .

Preuve. La preuve est similaire a celle du theorem e d'encadrement precedent en faisant la remarque que les structures comptees ont toutes au moins une hyperarête donc la preuve est valide en faisant le remplacement  $R \cdot (x) = R \cdot (x) = (1-x)$  dans l'equation (3.153). }

### 3.3.2 La contribution asymptotique de $(n-1)$ cha^nes

Dans la justification du theorem e 3.3.2, l'utilite de la classification des structures selon le nombre de cha^nes est mise en evidence pour proceder par inclusion exclusion et aboutir ainsi a la conclusion de l'importance, relatee par le theorem e precedent, de la contribution des structures a 3 cha^nes dans le nombre des composantes d'excès  $\ell$ . La contribution dans l'asymptotique du coefficient de la SGE  $H \cdot T(z)$  provient essentiellement du terme avec le facteur  $(t)^3$  dans (2.153). Cette remarque est intuitive par la forme même de la SGE  $H$  et est appuyee bijectivement par le theorem e precedent. Cette relation, entre

les structures maximisant le nombre de chaînes et l'asymptotique du coefficient de la SGE, a été mise à profit par exemple dans [18] et dans [19] avec les notions de structures qualifiées de "clean" ou "unclean". Pour tirer profit de la décomposabilité des structures en chaînes, nous disposons du lemme suivant :

Lemme 3.3.3. Pour  $(s \neq 1)$ , nous avons l'asymptotique du coefficient suivant

$$h_{t^{n+1}, i} \frac{(t)}{(1-t)^m} (t)^n = \frac{e^{s+\frac{m}{2} \frac{1}{b-1}} (s-m)^{m-2}}{2^{\frac{m}{2}} s [(b-2)!]^{\frac{m}{2}}} \left(1 + O\left(\frac{1}{s^{1/2}}\right)\right); \quad (3.174)$$

avec  $n = n(s) = s(b-1)$ ,  $(t) = t^{b-1} = (b-2)!$ ,  $(t) = \exp(-t) = (b-1)$  et  $m \geq 2$ .

Preuve. La formule intégrale de Cauchy donne

$$h_{t^{n+1}, i} \frac{(t)}{(1-t)^m} (t)^n = \frac{1}{2i} \int_{\Gamma} \frac{(t)}{(1-t)^m} \exp\left(-n \frac{(t)}{b-1} - (n+1) \ln(t)\right) \frac{dt}{t}; \quad (3.175)$$

$$\frac{1}{2i} \int_{\Gamma} \frac{(t)}{(1-t)^m} \exp\left(-n \frac{(t)}{b-1} - (n+1) \ln(t)\right) \frac{dt}{t}; \quad (3.176)$$

Comme  $n = n(s) = s(b-1)$ , l'équation précédente devient

$$h_{t^{n+1}, i} \frac{(t)}{(1-t)^m} (t)^n = \frac{1}{2i} \int_{\Gamma} \frac{(t)}{(1-t)^m} \exp\left(s \frac{(t)}{b-1} - s \ln(t)\right) \frac{dt}{t}; \quad (3.177)$$

$$= \frac{1}{2i [(b-2)!]^{\frac{m}{2}}} \int_{\Gamma} \frac{(t)}{(1-t)^m} \frac{\exp\left(s \frac{(t)}{b-1} - s \ln(t)\right) dt}{\exp\left(-\frac{(t)}{b-1}\right) t} = \quad (3.178)$$

$$= \frac{1}{2i [(b-2)!]^{\frac{m}{2}} (b-1)} \int_{\Gamma} \frac{(t)}{(1-t)^m} \frac{\exp\left(s \frac{(t)}{b-1} - s \ln(t)\right) d(t)}{\exp\left(-\frac{(t)}{b-1}\right) (t)} = \quad (3.179)$$

$$= \frac{1}{2i [(b-2)!]^{\frac{m}{2}}} \int_{\Gamma} \frac{1}{(1-t)^m} \frac{\exp(st - s \ln(t))}{\exp\left(-\frac{t}{b-1}\right)} dt; \quad (3.180)$$

ou le contour d'intégration encercle, une fois dans le sens direct, l'origine du plan complexe. Avec l'intégrale ainsi représentée, nous remarquons de nouveau que 1 est à la fois point col et point singulier. Pour déterminer un contour d'intégration menant au terme principal de l'asymptotique, nous adoptons l'écriture intégrale suivante :

$$h_{t^{n+1}, i} \frac{(t)}{(1-t)^m} (t)^n = \frac{1}{2i [(b-2)!]^{\frac{m}{2}}} \int_{\Gamma} \frac{\exp\left(s(t \ln(t) - m \ln(1-t) - s)\right)}{\exp\left(-\frac{t}{b-1}\right)} dt; \quad (3.181)$$

$$= \frac{1}{2i [(b-2)!]^{\frac{m}{2}}} \int_{\Gamma} \frac{\exp\left(s(t \ln(t) - m \ln(1-t) - s)\right)}{\exp\left(-\frac{t}{b-1}\right)} dt; \quad (3.182)$$

Notons alors  $h$ , le facteur du paramètre  $s$  dans l'exposant de cette expression intégrale :

$$h(t) = t \ln(t) - \frac{m}{s} \ln(1-t); \quad (3.183)$$

Le point à considérer est racine de  $h^0(t) = 0$ . Comme la dérivée  $h^0$  est

$$h^0(t) = 1 - \frac{1}{t} + \frac{1}{(s-m)(1-t)}; \quad (3.184)$$

le point col de plus petit module (strictement inférieur à 1) est

$$t_0 = 1 - \frac{p}{4(m+1)} : \quad (3.185)$$

Nous prenons alors un contour similaire à (3.62), celui qui a servi pour l'énumération asymptotique des hyperarbres enracinés :

$$\begin{aligned} \gamma_1 : t &= t_0 + iv = s; & v & \in [3s; 3s] \\ \gamma_0 : t &= t_0 + 3 \exp(i\theta); & \theta & \in [2\pi/3; 4\pi/3] \end{aligned} \quad (3.186)$$

Soit une portion  $\hat{\gamma}_1$  du chemin  $\gamma_1$  :

$$\hat{\gamma}_1 : t = t_0 + iv = s; \quad v \in [s; 3s] \quad (3.187)$$

avec  $s$ , un nombre positif qui sera précisé plus tard. Notons  $I_1$  la valeur de l'intégrale sur cette portion  $\hat{\gamma}_1$  :

$$I_1 = \frac{1}{2i} \int_{\hat{\gamma}_1} \frac{\exp(\text{sh}(t))}{\exp(t(b-1))} dt; \quad (3.188)$$

soit, avec le changement de variable

$$\begin{aligned} & t = 1 + \frac{v}{s} \\ & dt = \frac{dv}{s} \\ & \gamma_1 : t = st_0 + iv; \quad v \in [3s; 3s]; \end{aligned} \quad (3.189)$$

$$I_1 = \frac{\exp(\frac{t_0}{b-1})}{2s} \int_s^{3s} \exp(sf(v)) dv; \quad (3.190)$$

avec

$$f(v) = h(t_0 + iv = s) - iv = (bs^2 - s^2) : \quad (3.191)$$

Comme

$$\langle f(v) \rangle = \quad (3.192)$$

$$= \langle h(t_0 + iv = s) \rangle = \quad (3.193)$$

$$= t_0 - \frac{1}{2} \ln(t_0^2 + (v=s)^2) - \frac{m}{s} \ln((1-t_0)^2 + (v=s)^2) = \quad (3.194)$$

$$= 1 + \frac{m}{2s} \ln\left(\frac{s}{m}\right) + \frac{m}{2s} + O\left(\frac{1}{s^{3/2}}\right) + \quad (3.195)$$

$$\frac{v^2}{s^2} \left(1 + \frac{3m^{1/2}}{2s^{1/2}} + \frac{5m}{s} + \frac{11m^{3/2}}{16s^{3/2}} + O\left(\frac{1}{s^2}\right)\right) + \quad (3.196)$$

$$+ O\left(\frac{v^4}{s^3}\right); \quad (3.197)$$



$$I_1 = \frac{e^{s+\frac{m}{2}} \frac{t_0}{b-1} (s-m)^{m-2}}{2s [(b-2)!]^\beta} \quad (3.198)$$

$$e^{\frac{v^2}{s} (1 + \frac{3m-1=2}{2s^{1=2}} + \frac{5m}{s} + \frac{11m-3=2}{16s^{3=2}})} (1 + O(\frac{v^2}{s^3})) dv : \quad (3.199)$$

Notons

$$C(s) = \frac{1}{s} (1 + \frac{3m-1=2}{2s^{1=2}} + \frac{5m}{s} + \frac{11m-3=2}{16s^{3=2}}) \quad (3.200)$$

alors par le changement de variable

$$\begin{aligned} & v = \frac{r}{C(s)} \\ & : dv = \frac{dr}{C(s)} ; \end{aligned} \quad (3.201)$$

L'intégrale  $I_1$  est telle que

$$I_1 = \int_s^{\infty} \frac{e^{s+\frac{m}{2}} \frac{t_0}{b-1} (s-m)^{m-2}}{2s [(b-2)!]^\beta} \frac{dr}{C(s)} e^{r^2} (1 + O(\frac{r^2}{C(s)s^3})) dr = \quad (3.202)$$

$$= \frac{e^{s+\frac{m}{2}} \frac{t_0}{b-1} (s-m)^{m-2}}{2s [(b-2)!]^\beta} \int_s^{\infty} \frac{dr}{C(s)} e^{r^2} (1 + O(\frac{r^2}{C(s)s^3})) dr = \quad (3.203)$$

$$= \frac{e^{s+\frac{m}{2}} \frac{t_0}{b-1} (s-m)^{m-2}}{2s [(b-2)!]^\beta} \int_s^{\infty} \frac{dr}{C(s)} e^{r^2} dr + O(\frac{C(s)^{3=2}}{C(s)s^3}) = \quad (3.204)$$

$$= \frac{e^{s+\frac{m}{2}} \frac{t_0}{b-1} (s-m)^{m-2}}{2s [(b-2)!]^\beta} \int_s^{\infty} \frac{dr}{C(s)} e^{r^2} dr + O(\frac{C(s)^{1=2}}{s^3}) : \quad (3.205)$$

Comme pour  $(s \rightarrow \infty)$ ,  $C(s) \sim 1/s$ , nous obtenons

$$I_1 = \frac{e^{s+\frac{m}{2}} \frac{t_0}{b-1} (s-m)^{m-2}}{2s [(b-2)!]^\beta} \int_s^{\infty} \frac{dr}{s} e^{r^2} dr + O(\frac{1}{s^{7=2}}) : \quad (3.206)$$

Cette ordre asymptotique est valide, pour  $m \geq 1$  xe, en prenant  $s = s$  et se réécrit alors :

$$I_1 = \frac{e^{s+\frac{m}{2}} \frac{t_0}{b-1} (s-m)^{m-2}}{2s [(b-2)!]^\beta} \int_s^{\infty} \frac{dr}{s} e^{r^2} dr + O(\frac{1}{s^{1=2}}) : \quad (3.207)$$

Ainsi, l'équivalent asymptotique de l'intégrale  $I_1$  sur le segment  $\hat{\gamma}_1$  de longueur deux fois ( $s = s$ ) est :

$$I_1 = \frac{e^{s+\frac{m}{2}} \frac{t_0}{b-1} (s-m)^{m-2}}{2s [(b-2)!]^\beta} (1 + O(\frac{1}{s^{1=2}})) : \quad (3.208)$$

Pour obtenir le résultat, il faut encore négliger la contribution de l'intégrale sur le contour restant.

1. Sur la portion  $\Gamma_1^0$ , la contribution  $I_1^0$  est

$$I_1^0 = \frac{1}{2i} \int_{\Gamma_1^0} \frac{\exp(st)}{(b-2)!} dt; \quad (3.209)$$

avec

$$\Gamma_1^0 : t = t_0 + iv = s; \quad v \in [3s; s] \cup [s; 3s] \quad (3.210)$$

ou bien (comme nous avons pris  $s = s$ )

$$\Gamma_1^0 : t = t_0 + iv; \quad v \in [3; 1] \cup [1; 3]; \quad (3.211)$$

L'intégrale  $I_1^0$ , pour  $(s \neq 1)$ , devient alors

$$I_1^0 = \frac{e^{s+m-2} \frac{t_0}{b-1} (s-m)^{m-2}}{2^p s (b-2)!} \int_{\Gamma_1^0} \exp(sf(v)) dv; \quad (3.212)$$

avec la fonction  $\hat{f}$  de nie comme suit

$$\hat{f}(v) = h(t_0 + iv) \frac{i^v}{sb} \frac{1}{s} \frac{m(1 + \ln(s-m))}{2s} + \frac{\ln(s)}{2s}; \quad (3.213)$$

Sur l'intervalle  $v \in [3; 1]$ , nous pouvons caractériser la partie réelle  $\Re(\hat{f}(v))$  comme suit :

$$\Re(\hat{f}(v)) = \quad (3.214)$$

$$= \Re(h(t_0 + iv)) \frac{1}{s} \frac{m(1 + \ln(s-m))}{2s} + \frac{\ln(s)}{2s}. \quad (3.215)$$

$$\cdot \frac{\ln(2)}{4} (v+1) - \frac{\ln(2)}{2}; \quad (3.216)$$

Et sur l'intervalle  $v \in [1; 3]$ , nous obtenons la caractérisation suivante :

$$\Re(\hat{f}(v)) = \quad (3.217)$$

$$= \Re(h(t_0 + iv)) \frac{1}{s} \frac{m(1 + \ln(s-m))}{2s} + \frac{\ln(s)}{2s}. \quad (3.218)$$

$$\cdot \frac{\ln(2)}{4} (v-1) - \frac{\ln(2)}{2}; \quad (3.219)$$

Des deux majorations précédentes, nous en déduisons que l'intégrale  $I_1^0$  vérifie

$$I_1^0 = O\left(\frac{e^{s+m-2} \frac{t_0}{b-1} (s-m)^{m-2}}{2^p s (b-2)!} \frac{1}{2^{s-2}}\right) \quad (3.220)$$

$$\left( \int_1^3 e^{s \ln(2)(v+1)/4} dv + \int_1^3 e^{-s \ln(2)(v-1)/4} dv \right) \quad (3.221)$$

et l'ordre de grandeur asymptotique de l'intégrale  $I_1^0$  est

$$I_1^0 = O\left(\frac{e^{s+m-2} (s-m)^{m-2}}{2^p s (b-2)!} \frac{1}{2^{s-2}}\right); \quad (3.222)$$

c'est à dire que l'intégrale  $I_1^0$  est d'un facteur exponentiellement négligeable par rapport à  $I_1$ . Nous montrons de même pour le contour restant.

2. Sur la portion  $\sigma = 2$ , de nie a l'equation (3.186), la contribution  $I_0$  est

$$I_0 = \int_{-\infty}^{\infty} \frac{1}{2i} [(b-2)!]^{-1} \int_0^{\infty} \frac{\exp(sh(t))}{\exp(t-(b-1))} dt = \tag{3.223}$$

$$= \frac{1}{2i} [(b-2)!]^{-1} \int_0^{\infty} \frac{\exp(sh(t))}{\exp(t-(b-1))} dt = \tag{3.224}$$

$$= \frac{e^{s+m=2} \frac{t_0}{b-1} (s-m)^{m=2}}{2^s [(b-2)!]^{-1}} + \int_{\sigma=2}^{\infty} \exp(sf(\sigma)) d\sigma ; \tag{3.225}$$

avec la fonction  $f$  de nie comme suit

$$f(\sigma) = h(t_0 + 3e^i) \frac{3^i e^i}{sb} + \frac{i}{s} - 1 \frac{m(1 + \ln(s-m))}{2s} + \frac{\ln(s)}{2s} : \tag{3.226}$$

Sur l'intervalle  $\sigma \in [2; 3]$ , nous avons la partie reelle  $\Re(f(\sigma))$  telle que

$$\Re(f(\sigma)) = \tag{3.227}$$

$$= \Re(h(t_0 + 3e^i)) \frac{3^i \cos(\sigma)}{sb} + \frac{1}{s} - \frac{m(1 + \ln(\frac{\sigma}{m}))}{2s} + \frac{\ln(s)}{2s} = \tag{3.228}$$

$$= \ln(\frac{p}{10}) + (\frac{27}{10} + O(\frac{1}{s})) (\frac{3}{2}) + O(\frac{1}{s}) + O((\frac{3}{2})^2) : \tag{3.229}$$

Et sur l'intervalle  $\sigma \in [3; \infty]$ , nous avons la partie reelle  $\Re(f(\sigma))$  telle que

$$\Re(f(\sigma)) = \tag{3.230}$$

$$= \ln(\frac{p}{10}) + (\frac{27}{10} + O(\frac{1}{s})) (\frac{3}{2}) + O(\frac{1}{s}) + O((\frac{3}{2})^2) : \tag{3.231}$$

Aussi, l'integrale  $I_0$  est telle que

$$I_0 = \tag{3.232}$$

$$= O\left(\frac{e^{s+m=2} \frac{t_0}{b-1} (s-m)^{m=2}}{2^s [(b-2)!]^{-1}} \frac{1}{10^{s=2}}\right) \tag{3.233}$$

$$= \int_{\sigma=2}^{\infty} e^{27s(\sigma-2)=10} d\sigma + \int_{\sigma=3}^{\infty} e^{27s(\sigma-3)=10} d\sigma = \tag{3.234}$$

$$= O\left(\frac{e^{s+m=2} \frac{t_0}{b-1} (s-m)^{m=2}}{2^s [(b-2)!]^{-1}} \frac{1}{10^{s=2}}\right) : \tag{3.235}$$

$I_0$  est donc aussi exponentiellement petit par rapport a  $I_1$ . Nous concluons que  $I_1$  est l'ordre de grandeur du coefficient :

$$h_{t^{n+1}, i} \frac{(t)}{(1-t)^m} (t)^n = \frac{e^{s+\frac{m}{2} \frac{t_0}{b-1} (s-m)^{m=2}}}{2^s [(b-2)!]^{-1}} \left(1 + O\left(\frac{1}{s^{1=2}}\right)\right) : \tag{3.236}$$

Ce lemme otre la possibilite de faire le saut entre l'enumeration exacte de nos structures decomposables en cha^nes et leur enumeration asymptotique.

## 3.3.3 Énoncé du théorème d'énumération asymptotique

Proposition 3.3.4. Le coefficient  $[z^n]H_\nu, T(z)$  du SGE des composantes d'excès  $\nu$  admet l'équivalent asymptotique suivant

$$[z^n]H_\nu, T(z) = \quad (3.237)$$

$$3 \mathcal{A}_{\nu,3} \frac{(b-1) e^{s+\frac{3\nu+1}{2} \frac{\nu}{b-1}} \left(\frac{s}{3\nu+1}\right)^{\frac{3\nu+1}{2}}}{2^{\frac{\nu}{s}} [(b-2)!]^{\frac{\nu}{s}}} \left(1 + O\left(\frac{1}{s^{1/2}}\right)\right); \quad (3.238)$$

avec  $n = n(s) = s(b-1) \nu$ , où  $s$  est le nombre d'hyperarêtes.

Preuve. Par le théorème 3.3.2, l'équivalent asymptotique du coefficient recherché est porté par

$$I = 3 \mathcal{A}_{\nu,3} \frac{(b-1) h_{\nu+1}^i}{n} \frac{(t)}{(1-t)^{\nu+1}} (t)^n; \quad (3.239)$$

avec  $(t) = t^{\nu+1} = (b-2)!$  et  $(t) = \exp(-t) = (b-1)$ . Et par le lemme 3.3.3, avec  $m = 3\nu+1$ , nous obtenons l'équivalent asymptotique de  $I$  suivant :

$$I = 3 \mathcal{A}_{\nu,3} \frac{(b-1) e^{s+\frac{3\nu+1}{2} \frac{\nu}{b-1}} \left(\frac{s}{3\nu+1}\right)^{\frac{3\nu+1}{2}}}{2^{\frac{\nu}{s}} [(b-2)!]^{\frac{\nu}{s}}} \left(1 + O\left(\frac{1}{s^{1/2}}\right)\right); \quad (3.240)$$

}

Théorème 3.3.5. Le nombre  $n![z^n]H_\nu, T(z)$  des composantes complexes d'excès  $\nu$ , ayant  $s$  hyperarêtes et  $n = n(s) = s(b-1) \nu$  sommets, admet l'équivalent asymptotique suivant :

$$n![z^n]H_\nu, T(z) = \quad (3.241)$$

$$\frac{3 \mathcal{A}_{\nu,3} (b-1) \left(\frac{es}{3\nu+1}\right)^{\frac{3\nu+1}{2}} [s(b-1)]^{\frac{\nu}{s}}}{2s n e^{sb} 2s^{\nu} (b-1)} \frac{1}{[(b-2)!]^{\frac{\nu}{s}}} \left(1 + O\left(\frac{1}{s}\right)\right) \quad (3.242)$$

$\mathcal{A}_{\nu,3}$  de  $n$  dans la forme (2.22) de la SGE  $H_\nu$ , se détermine par le théorème 2.3.37.

Preuve. Nous avons par le theoreme 3.3.2 et par le lemme 3.3.3 avec  $m = 3' + 1$

$$n! [z^n] H_s \cdot T(z) = \tag{3.243}$$

$$= 3'A_{s,3}(b-1) (n-1)! \frac{e^{s+\frac{3'+1}{2}} \frac{1}{b-1} \frac{s}{3'+1} \frac{3'+1}{2}}{2^s s [(b-2)!]^s} 1 + O\left(\frac{1}{s}\right) = \tag{3.244}$$

$$= 3'A_{s,3}(b-1) \frac{\left(\frac{n}{e}\right)^n \frac{1}{2^n} e^{s+\frac{1}{b-1}} \left(\frac{es}{3'+1}\right)^{\frac{3'+1}{2}}}{2^s s [(b-2)!]^s} 1 + O\left(\frac{1}{s}\right) = \tag{3.245}$$

$$= 3'A_{s,3}(b-1) \left(\frac{n}{e}\right)^n \frac{e^{s+\frac{1}{b-1}} \left(\frac{es}{3'+1}\right)^{\frac{3'+1}{2}}}{2sn [(b-2)!]^s} 1 + O\left(\frac{1}{s}\right) = \tag{3.246}$$

$$= 3'A_{s,3}(b-1) \left(\frac{n}{e}\right)^n \frac{e^{s+\frac{1}{b-1}} \left(\frac{es}{3'+1}\right)^{\frac{3'+1}{2}}}{2sn [(b-2)!]^s} 1 + O\left(\frac{1}{s}\right) = \tag{3.247}$$

$$= 3'A_{s,3}(b-1) \left(\frac{n}{e}\right)^n \frac{e^{\frac{n}{b-1}} \left(\frac{es}{3'+1}\right)^{\frac{3'+1}{2}}}{2sn [(b-2)!]^s} 1 + O\left(\frac{1}{s}\right) = \tag{3.248}$$

$$= 3'A_{s,3}(b-1) \left(\frac{n}{e^{(b-2)=(b-1)}}\right)^n \frac{\left(\frac{es}{3'+1}\right)^{\frac{3'+1}{2}}}{2sn [(b-2)!]^s} 1 + O\left(\frac{1}{s}\right) : \tag{3.249}$$

Comme pour  $(s \neq 1)$

$$n^n = (s(b-1))^{s(b-1)} = [s(b-1)]^{s(b-1)} \exp(\dots); \tag{3.250}$$

l'equivalent asymptotique recherche s'ecrit

$$n! [z^n] H_s \cdot T(z) = \tag{3.251}$$

$$= 3'A_{s,3}(b-1) \frac{[s(b-1)]^{s(b-1)} e^{\dots} \left(\frac{es}{3'+1}\right)^{\frac{3'+1}{2}}}{e^{n(b-2)=(b-1)} 2sn [(b-2)!]^s} 1 + O\left(\frac{1}{s}\right) = \tag{3.252}$$

$$= \frac{3'A_{s,3}(b-1) \left(\frac{es}{3'+1}\right)^{\frac{3'+1}{2}} [s(b-1)]^{s(b-1)}}{2sne^{sb-2s+(b-1)} [(b-2)!]^s} 1 + O\left(\frac{1}{s}\right) : \tag{3.253}$$

}

Dans ce chapitre, qui est l'encha^nement de l'enumeration exacte, des enumerations asymptotiques ont ete obtenues avec un recours a l'analyse complexe. Nous soulignons en particulier l'utilisation de la methode du point col pour toutes les enumerations asymptotiques faites : des hyperarbres enracines aux hypercycles et aux composantes complexes selon leurs exces. Notons que le chemin que nous avons choisi ici devoile completement la "magie" de la formule de transfert donnant a partir des SGEs et de leur forme, le terme asymptotique principal voire l'expansion complete de ses coefficients : en particulier, les contours d'integration choisis peuvent servir pour expliciter des expansions completes. En perspective immediate du travail fait dans ce chapitre est la consideration de l'enumeration asymptotique des composantes complexes d'exces in-niet sur samment peu denses pour que les preuves donnees ici restent valides - un tel resultat parait dans

[21, 27]. Ainsi, la plupart des travaux faits sur les graphes peut trouver une généralisation par une démarche similaire à celle suivie jusqu'ici : passant par une récurrence des SGEs, identifiant la forme des SGEs, puis par la formule d'inversion de Lagrange et la formule intégrale de Cauchy, établir une expression intégrale des coefficients et en déduire alors une portion du contour capturant la contribution principale de l'intégrale.

Dans le chapitre suivant, nous illustrons par les hypergraphes aléatoires qu'effectivement, les travaux et résultats existant sur les graphes peuvent être généralisés aux hypergraphes et ainsi, revisités et compris via les SGEs et l'analyse complexe pour obtenir des caractéristiques asymptotiques des structures.

## Chapitre 4

# Hypergraphes aléatoires

"On s'appuie de l'histoire. Mais notre histoire n'est pas notre code. Nous devons nous efforcer de prouver ce qui doit se faire par ce qui s'est fait. Car c'est précisément de ce qui s'est fait que nous nous plaignons" (1788).

Dans ce chapitre, nous adoptons une vision dynamique des hypergraphes : dans la prochaine section, les hyperarêtes d'une composante sont récursivement enlevées jusqu'à ce qu'il n'en reste plus et dans une autre section, les hyperarêtes sont ajoutées une par une jusqu'à l'obtention d'une certaine propriété dans la structure. Notre outil principal pour mener notre étude restent les SGEs (voir [30, 26]) qui permettent par exemple dans [13] d'obtenir diverses caractérisations statistiques.

### 4.1 Hypergraphes et hypercouplage glouton

Cette section est une généralisation aux hypergraphes de résultats de [11] sur l'analyse en moyenne de la performance de l'algorithme glouton de couplage.

**Définition 4.1.1.** Un hypercouplage est une collection d'hyperarêtes deux à deux disjointes.

Le problème de trouver dans un graphe un couplage qui maximise le nombre de ses arêtes est connu en informatique. Ce problème admet une version avec les hypergraphes : maximiser un hypercouplage, consistant à trouver un hypercouplage, ayant un nombre maximum d'hyperarêtes, dans un hypergraphe.

L'algorithme 3 est un algorithme glouton et il fournit un résultat qui, de manière générale, n'est pas optimal, mais présente l'avantage de la rapidité et garantit tout de même que l'hypercouplage qu'il retourne soit au moins maximal à défaut d'être maximal.

---

**Algorithme 3 : Hypercouplage glouton sur hypergraphe**


---

Entrées : Une composante.

Sorties : Un hypercouplage maximal.

debut

    Initialiser avec un hypercouplage vide.

    repete

        Choisir aléatoirement une hyperarête à placer dans l'hypercouplage.

        Supprimer cette hyperarête et celles qui lui étaient adjacentes.

    jusqu'à il n'y a plus d'hyperarête

    retourner l'hypercouplage construit

n

---

pour l'hypergraphe. Notons aussi que c'est un algorithme non déterministe car le choix d'une hyperarête à ajouter dans l'hypercouplage est aléatoire.

Dans cette section, nous proposons de faire l'analyse de la performance de cet algorithme glouton en déterminant la taille moyenne des hypercouplages qu'il retourne, soit le nombre moyen d'hyperarêtes contenues dans ces hypercouplages. Une telle analyse a été faite dans [11] pour le cas des graphes. Dans la sous-section qui suit, est présentée le formalisme mathématique pour procéder à cette analyse de l'algorithme glouton.

#### 4.1.1 Définitions et notions

Dans cette section, notre but est d'apprécier la variable aléatoire qu'est le nombre d'hyperarêtes contenues dans l'hypercouplage produit par l'algorithme 3 glouton, quand l'hypergraphe de départ est une composante d'excès  $\ell$  et ayant un grand nombre  $s$  d'hyperarêtes (donc un grand nombre de sommets  $n = n(s) = s(b-1)^\ell$ ). Nous avons ici les notations pour faire l'analyse :

{  $Y_n^{(\ell)}$  : la variable aléatoire correspondant à la taille de l'hypercouplage produit par l'algorithme glouton quand l'entrée de l'algorithme est choisie uniformément parmi les composantes d'excès  $\ell$ , ayant  $n$  sommets et  $s$  hyperarêtes tels que  $n = n(s) = s(b-1)^\ell$ .

{  $f_n^{(\ell)}$  : la fonction génératrice de probabilité (FGP) associée à la variable aléatoire  $Y_n^{(\ell)}$ ,

$$f_n^{(\ell)}(z) = \sum_{y=0}^X P(Y_n^{(\ell)} = y)z^y; \quad (4.1)$$

ou

{  $z$  denote la variable liée au nombre d'hyperarêtes d'un hypercouplage.

La dérivée de la fonction génératrice de probabilité (4.1) évaluée en  $z = 1$  est l'espérance  $E_n^{(\ell)}$  de la variable aléatoire  $Y_n^{(\ell)}$ , soit du nombre d'hyperarêtes dans un hypercouplage produit par l'algorithme glouton quand l'entrée est choisie uniformément parmi les composantes d'excès  $\ell$  ayant  $n$  sommets. Comme la fonction de probabilité vaut 1 quand elle est évaluée en  $z = 1$ , pour étudier la récurrence sur  $n$  afin d'obtenir une estimation



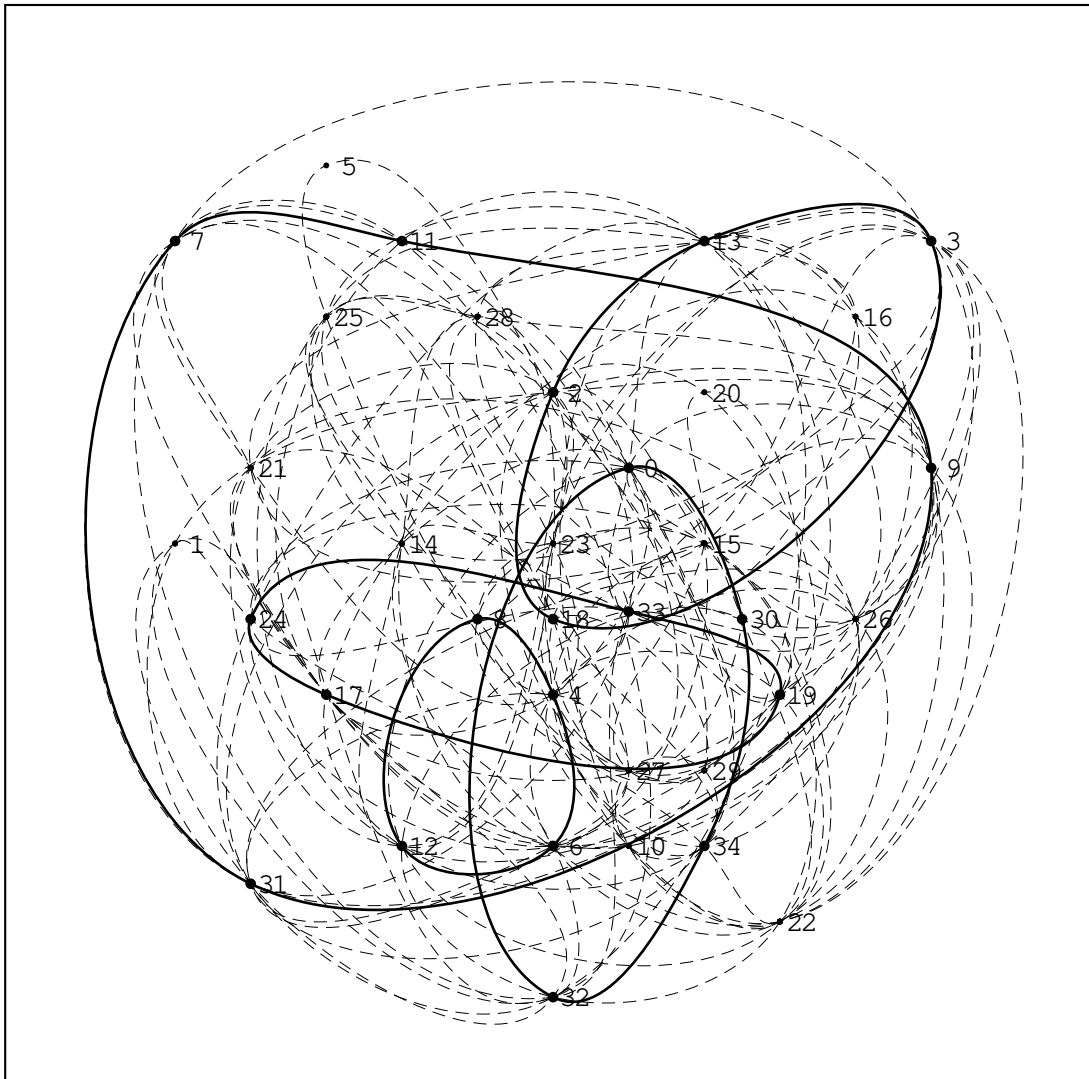


Fig. 4.1 { Une trace d'un déroulement de l'algorithme 3 sur une composante explicitée dans l'annexe.

asymptotique de l'esperance  $Y_n^{(1)}$ , nous introduisons la SGE  $G^{(1)}$  bivariee

$$G^{(1)}(x; z) = \sum_{n=0}^{\infty} c_n^{(1)} f_n^{(1)}(z) \frac{x^n}{n!}; \quad (4.2)$$

avec

{  $c_n^{(1)}$  : le nombre de composantes d'excès  $n$  ayant  $n$  sommets,

{  $x$  : denote la variable liee au nombre de sommets de l'hypergraphe d'excès  $n$  donne en entree.

Une propriété des FGP s  $f_n^{(\cdot)}$  nous amène à définir la fonction génératrice de la moyenne :

$$E^{(\cdot)}(x) = \frac{\partial}{\partial z} G^{(\cdot)}(x; z) \Big|_{z=1} = \sum_{n=0}^{\infty} E_n^{(\cdot)} c_n^{(\cdot)} \frac{x^n}{n!} : \quad (4.3)$$

Nous avons aussi la propriété de la SGE  $G^{(\cdot)}$  suivante :

$$G^{(\cdot)}(x; 1) = H \cdot T(x) ; \quad (4.4)$$

avec  $H \cdot T(x)$ , la SGE des composantes d'excès  $\cdot$ , et  $T(x)$ , la SGE des hyperarbres enracinés, dont nous rappelons la définition implicite comme suit :

$$T(x) = x \exp \frac{T(x)^{b-1}}{(b-1)!} : \quad (4.5)$$

Remarque 4.1.2. Notons la traduction, soit la lecture par rapport aux deux variables, des opérations sur les SGE s (4.2) bivariées dans

$$G^{(j)}(x; z) + G^{(k)}(x; z) = \sum_n (c_n^{(j)} f_n^{(j)}(z) + c_n^{(k)} f_n^{(k)}(z)) \frac{x^n}{n!} \quad (4.6)$$

$$G^{(j)}(x; z) \cdot G^{(k)}(x; z) = \sum_n \sum_i c_i^{(j)} c_{n-i}^{(k)} f_i^{(j)}(z) f_{n-i}^{(k)}(z) \frac{x^n}{n!} : \quad (4.7)$$

La lecture combinatoire pour les sommes étiquetées pour les deux opérations d'addition et de multiplication suit la justification du dictionnaire de [26]. Une lecture combinatoire comme l'union et le produit, est alors immédiate par les propriétés d'une fonction génératrice de probabilité si les variables considérées sont indépendantes. Aussi, pour utiliser les SGE s bivariées  $G^{(\cdot)}$ , il est important de garantir cette indépendance des variables aléatoires considérées dans la décomposition souhaitée.

Dans la prochaine sous-section, nous donnons la décomposition qui nous servira pour l'analyse.

#### 4.1.2 Décomposition ou récurrence

Dans le chapitre sur l'énumération exacte, nous avons établi une récurrence des SGE s  $H \cdot$  des composantes d'excès  $\cdot$  en partant de la décomposition suggérée par le marquage d'une hyperarête : c'est la décomposition utilisée par Wright dans [22] pour les graphes. Cette décomposition ne se traduit pas facilement (directement) avec les SGE s bivariées  $G^{(\cdot)}$  car une fois la décomposition faite, nous perdons la lecture combinatoire dans les composantes dissociées : les variables aléatoires ne correspondent pas aux différentes tailles des hypercouplages produits avec ces composantes en entrée de l'algorithme glouton.

L'algorithme 3 d'hypercouplage glouton suggère une nouvelle décomposition des structures : une composante d'excès  $\cdot$  ayant une hyperarête marquée, se décompose, non pas

seulement en ignorant l'hyperarête  $m$  mais aussi toutes les hyperarêtes qui lui étaient adjacentes, en des composantes d'excès plus petit. Pour établir une bijection, il nous faut pouvoir recombinaison les composantes dissociées, en la composante d'excès  $\nu$  de départ. Pour procéder bijectivement à cette recombinaison des composantes dissociées, nous devons marquer un ou plusieurs sommets de ces composantes pour les lier à l'hyperarête  $m$  marquée en créant d'autres hyperarêtes, chacune pouvant avoir  $b_0 = 1; \dots; b-1$  sommets en commun avec cette hyperarête  $m$  marquée,  $k = 1; \dots; b-b_0$  sommets (parmi ceux marqués) en commun avec une ou plusieurs composantes dissociées et  $b-b_0-k$  racines d'hyperarbres.

La décomposition est donc describable par des ensembles de composantes ayant  $k = 1; \dots; b-1$  sommets marqués. Par exemple, dans le cas où l'excès vaut  $\nu = 1$ , soit l'analyse de l'algorithme quand en entrée un hyperarbre est choisi uniformément, une telle décomposition se traduit par la proposition qui suit :

Proposition 4.1.3. Le marquage d'une hyperarête d'un hyperarbre se traduit comme suit :

$$\frac{1}{b-1} H_{\nu-1}(T(x)) + x \frac{d}{dx} H_{\nu-1}(T(x)) = \frac{x^b}{b!} \exp \left( b \frac{T(x)^{b-1}}{(b-1)!} \right) \quad (4.8)$$

Proposition 4.1.4. Pour tout  $\nu \geq 0$ , la SGE  $H_{\nu}$  des composantes d'excès  $\nu$  satisfait la relation :

$$\frac{1}{b-1} H_{\nu}(T(x)) + x \frac{d}{dx} H_{\nu}(T(x)) = \frac{x^b}{b!} \exp \left( b \frac{T(x)^{b-1}}{(b-1)!} \right) \quad (4.9)$$

$$+ \sum_{j=0}^{\nu} \frac{x^j}{j!} \exp \left( \sum_{k=1}^j C_{YC}^{j+k} x^k \frac{d^k}{dx^k} H_j(T(x)) \right) \quad (4.10)$$

$$+ \sum_{k=2}^{\nu} C_{YC}^{k-1} x^k \frac{d^k}{dx^k} H_{\nu-1}(T(x)) ; \quad (4.11)$$

avec

$$C_{YC}^k(x) = \quad (4.12)$$

$$\frac{1}{k!} \frac{T(x)^{b-2}}{(b-2)!} \sum_{p=0}^k \frac{x^p}{p!} \frac{T(x)^{b-2}}{(b-2)!} C_{YC}^p + \quad (4.13)$$

$$+ \frac{b}{2} \frac{k}{(k-1)!} \frac{T(x)^{b-2}}{(b-2)!} \sum_{p=0}^{k-1} \frac{T(x)^{b-3}}{(b-3)!} \frac{x^p}{p!} \frac{T(x)^{b-2}}{(b-2)!} C_{YC}^{p+1} + \quad (4.14)$$

$$+ \frac{k}{2} \frac{b}{(k-2)!} \frac{T(x)^{b-2}}{(b-2)!} \sum_{p=0}^{k-2} \frac{T(x)^{b-3}}{(b-3)!} \frac{x^p}{p!} \frac{T(x)^{b-2}}{(b-2)!} C_{YC}^{p+1} + \quad (4.15)$$

$$+ \dots \quad (4.16)$$

Les décompositions données dans ces deux propositions sont valides en notant que  $T(x) = \frac{d}{dx} H_{\nu-1}(T(x))$ , puis en substituant les  $H_{\nu}(T(x))$  par les SGEs  $G^{(\nu)}(x; z)$  correspondantes (des dérivées droites en  $x$  deviennent des dérivées partielles) à un facteur  $z$

pres car une hyperarête a été choisie et mise dans l'hypercouplage : la décomposition est en accord avec l'indépendance des variables aléatoires dans les différentes composantes. Nous avons donc :

Proposition 4.1.5. Dans le cas des hyperarbres,

$$\frac{1}{b-1} G^{(1)}(x; z) + x \frac{\partial}{\partial x} G^{(1)}(x; z) = z \frac{x^b}{b!} \exp \left[ b \frac{(x \frac{\partial}{\partial x} G^{(1)}(x; z))^{b-1}}{(b-1)!} \right] ; \quad (4.17)$$

Entre autres motivations, afin d'alléger les notations, nous adoptons les notations des opérateurs de marquages suivantes :

Définition 4.1.6. Dans des structures, nous traduisons le marquage de  $k$  sommets ordonnés par l'opérateur sur des SGEs

$$\#_x^k = x^k \frac{\partial^k}{\partial x^k} ; \quad (4.18)$$

si  $x$  désigne la variable liée aux sommets.

En particulier, pour le marquage d'un sommet

$$\#_x = x \frac{\partial}{\partial x} ; \quad (4.19)$$

Et nous adopterons cette notation de marquage selon la notation de la variable utilisée :  $\#_t = t \frac{\partial}{\partial t}$  ou encore  $\#_y = y \frac{\partial}{\partial y}$ .

Définition 4.1.7. Dans le cas des structures d'excès  $\nu$ , nous traduisons le marquage d'une hyperarête par l'opérateur sur des SGEs

$$\#_w^{(\nu)} = \frac{\nu + \#_x}{b-1} ; \quad (4.20)$$

si  $w$  désigne la variable liée aux hyperarêtes et  $x$ , celle liée aux sommets.

### 4.1.3 La performance gloutonne sur les hyperarbres

Théorème 4.1.8. La SGE

$$E^{(1)}(x) = T(x) \frac{g_1(y)}{(1+y)^{1=(b-1)}} \Big|_{y = \frac{T(x)^{b-1}}{(b-2)!}} \quad (4.21)$$

de la moyenne de la variable aléatoire  $Y_n^{(1)}$  est déterminée par la récurrence

$$(b-1)(1+y)^{(b-2)=(b-1)} g_1^0(y) = \frac{1}{b} ; \quad (4.22)$$

par laquelle  $g_1(y)$  est uniquement déterminée avec la condition  $g_1(0) = 0$ .

Preuve. En differentiant par rapport a la variable  $z$ , l'equation de la proposition precedente, puis en prenant la valeur  $z = 1$ , nous obtenons

$$\frac{1}{b-1} \left( \frac{\partial}{\partial z} G^{(1)}(x; z) + \#_x \frac{\partial}{\partial z} G^{(1)}(x; z) \right)_{z=1} = \tag{4.23}$$

$$\frac{x^b}{b!} \exp \left( b \frac{(\#_x G^{(1)}(x; z))^{b-1}}{(b-1)!} \right) + \tag{4.24}$$

$$+ z \frac{(\#_x G^{(1)}(x; z))^{b-2}}{(b-2)!} \#_x \frac{\partial}{\partial z} G^{(1)}(x; z) \tag{4.25}$$

$$\frac{x^b}{b!} \exp \left( b \frac{(\#_x G^{(1)}(x; z))^{b-1}}{(b-1)!} \right)_{z=1}; \tag{4.26}$$

soit

$$\#_w E^{(1)}(x) = \tag{4.27}$$

$$= \frac{x^b}{b!} \exp \left( b \frac{T(x)^{b-1}}{(b-1)!} \right) + \frac{T(x)^{b-2}}{(b-2)!} \#_x E^{(1)}(x) = \tag{4.28}$$

$$= \frac{T(x)^b}{b!} + \frac{T(x)^{b-2}}{(b-2)!} \#_x E^{(1)}(x); \tag{4.29}$$

soit en passant les occurrences de  $E^{(1)}$  au premier membre

$$b E^{(1)}(x) + 1 \frac{T(x)^{2b-2}}{[(b-2)!]^2} \#_x E^{(1)}(x) = \frac{T(x)^b}{(b-2)!} \tag{4.30}$$

et

$$\frac{E^{(1)}(x)}{T(x)} + 1 \frac{T(x)^{b-1}}{(b-2)!} \frac{\#_x E^{(1)}(x)}{T(x)} = \frac{1}{b} \frac{T(x)^{b-1}}{(b-2)!}; \tag{4.31}$$

Determinons alors  $E^{(1)}(x)$  sous la forme

$$E^{(1)}(x) = T(x) \frac{g_1(y)}{(1+y)^{1-(b-1)}} \Big|_{y=\frac{T(x)^{b-1}}{(b-2)!}}; \tag{4.32}$$

Notons que pour une fonction  $f$ , si  $t = t^{b-1} = (b-2)!$ ,

$$\#_x (T(x)f) = T(x) = \tag{4.33}$$

$$= (\#_x T(x)) f = T(x) + T(x)^0 = T(x) + f^0 = T(x) = \tag{4.34}$$

$$= T(x) \frac{1 + (b-1)\#_y}{1-y} f(y) \Big|_{y=\frac{T(x)}{b}}; \tag{4.35}$$

(4.32) permet le changement de variable

$$\begin{aligned} & \frac{T(x)^{b-1}}{(b-2)!} \cdot y \\ & \frac{E^{(1)}(x)}{T(x)} \cdot \frac{g_1(y)}{(1+y)^{1-(b-1)}} \\ & \frac{\sum_x E^{(1)}(x)}{T(x)} \cdot \frac{1+(b-1)y}{1-y} \cdot \frac{g_1(y)}{(1+y)^{1-(b-1)}} : \end{aligned} \quad (4.36)$$

qui, si nous le portons dans l'équation (4.31), donne

$$\frac{g_1(y)}{(1+y)^{1-(b-1)}} + 1 - y^2 \frac{1+(b-1)y}{1-y} \frac{g_1(y)}{(1+y)^{1-(b-1)}} = \frac{y}{b} : \quad (4.37)$$

D'où nous déduisons

$$(b-1)(1+y)^{(b-2)-(b-1)} g_1(y) = \frac{1}{b} : \quad (4.38)$$

}

La résolution de la récurrence, que définit l'équation différentielle (4.22), est immédiate et nous donne :

**Theorem 4.1.9.** Dans le cas des hyperarbres, l'expression de la SGE, de la moyenne de la variable aléatoire  $Y_n^{(1)}$ , est

$$E^{(1)}(x) = \frac{T(x)}{b} \frac{1}{1 + \frac{T(x)^{b-1}}{(b-2)!}} : \quad (4.39)$$

Notons que ce résultat généralise celui de [11] qui est le cas des arbres ( $b=2$ ), dans quel cas, l'expression de la SGE est

$$E^{(1)}(x) = \frac{T(x)^2}{2(1+T(x))} : \quad (4.40)$$

Disposons de la SGE  $E^{(1)}(x)$ , de la moyenne de la variable aléatoire  $Y_n^{(1)}$ , qui s'exprime en la série  $T(x)$  des hyperarbres enracinés, nous sommes en mesure de procéder à l'analyse du comportement asymptotique de cette moyenne via le comportement asymptotique du coefficient de la série.

**Theorem 4.1.10.** L'équivalent asymptotique du coefficient  $[x^n]E^{(1)}(x)$  de la SGE liée à la moyenne de la variable aléatoire  $Y_n^{(1)}$  est :

$$[x^n]E^{(1)}(x) = \frac{e^{n-(b-1)} (1 - b^{-2^{b-(b-1)}})}{nb[(b-2)!]^{\frac{1}{2}} s} + O\left(\frac{1}{s^{1-b}}\right) ; \quad (4.41)$$

avec  $s$  le nombre d'hyperarêtes et  $n = n(s) = s(b-1) + 1$ .

Preuve. Notons  $\hat{E}^{(1)}(t)$  la SGE lisse correspondant a  $E^{(1)}(x)$ . Alors,  $E^{(1)}(x) = \hat{E}^{(1)}(t)$  et

$$\hat{E}^{(1)}(t) = \frac{t^b}{b} \frac{1}{1 + \frac{t^{b-1}}{(b-2)!}} \quad (4.42)$$

La derivee de la SGE  $\hat{E}^{(1)}(t)$  est

$$\frac{d}{dt} \hat{E}^{(1)}(t) = \frac{1}{b} \frac{1}{b(1 + \frac{t^{b-1}}{(b-2)!})} + \frac{t}{b(1 + \frac{t^{b-1}}{(b-2)!})^2} \quad (4.43)$$

$$= \frac{1}{b} \frac{1}{b(1 + \frac{t^{b-1}}{(b-2)!})} ; \quad (4.44)$$

avec  $(t) = t^{b-1} = (b-2)!$ . Notons alors

$$\hat{E}^{(1)}(y) = \quad (4.45)$$

$$= \frac{1}{b} \frac{1}{b(1+y)^{b-(b-1)}} = \quad (4.46)$$

$$= \frac{1}{b} \frac{1}{2^{b-(b-1)} b} + \frac{1}{(b-1)2^{1-(b-1)} 2^2} (y-1) + \dots \quad (4.47)$$

Soient  $s$ , l'entier correspondant au nombre d'hyperarêtes et  $n = n(s) = s(b-1) + 1$ , le nombre de sommets, alors la formule d'inversion de Lagrange donne le coefficient

$$[z^n] E^{(1)}(x) = \quad (4.48)$$

$$= \frac{1}{2i\pi n} \int_{\Gamma} \hat{E}^{(1)}(t) \frac{\exp(n(t)=(b-1)) dt}{t^{n-1} t} = \quad (4.49)$$

$$= \frac{1}{2i\pi n [(b-2)!]^s} \int_{\Gamma} \hat{E}^{(1)}(t) \frac{\exp(n(t)=(b-1)) d(t)}{(b-1)(t)^s (t)} ; \quad (4.50)$$

avec un contour d'integration, suffisamment petit, qui encercle une fois l'origine dans le sens direct. A insi,

$$[x^n] E^{(1)}(x) = \quad (4.51)$$

$$= \frac{1}{2i\pi n [(b-2)!]^s} \int_{\Gamma} \hat{E}^{(1)}(t) \frac{\exp(nt=(b-1)) dt}{t^s t} = \quad (4.52)$$

$$= \frac{1}{2i\pi n [(b-2)!]^s} \int_{\Gamma} \hat{E}^{(1)}(t) \exp(t=(b-1)) \frac{\exp(st) dt}{t^s t} ; \quad (4.53)$$

L'expression de la derivee (4.45) nous indique que l'ordre de grandeur asymptotique recherche est celui de l'integrale

$$I = \frac{1 - 1 = (2^{b-(b-1)})}{2nbi [(b-2)!]^s} \int_{\Gamma} \exp(t=(b-1)) \frac{\exp(st)}{t^s} dt ; \quad (4.54)$$

qui correspond au facteur près a (3.60). Aussi nous obtenons

$$I = \frac{e^{n=(b-1)} (1 - 2^{b-(b-1)})}{nb[(b-2)!]^s \frac{1}{2^s}} 1 + O\left(\frac{1}{s^{1/6}}\right) ; \tag{4.55}$$

soit l'ordre de grandeur recherche.

}

Connaissant le comportement asymptotique du coefficient de la SGE  $E^{(1)}(x)$  de la moyenne de la variable aleatoire  $Y_n^{(1)}$  et celui de la SGE  $H_{1-T}(x)$ , deduite du theoreme 3.1.3, par la definition (4.3), il decoule :

Theoreme 4.1.11. La moyenne  $E_n^{(1)}$  de la variable aleatoire  $Y_n^{(1)}$  correspondant a la taille de l'hypercouplage produit par l'algorithme glouton quand l'entree de l'algorithme est choisie uniformement parmi les hyperarbres ayant n sommets, est telle que

$$E_n^{(1)} \sim 1 - 2^{b-(b-1)} \frac{n}{b} ; \tag{4.56}$$

#### 4.1.4 La performance gloutonne sur les $\lambda$ -composantes ( $\lambda \geq 0$ )

Introduisons, pour l'analyse dans le cas des structures d'excès  $\lambda \geq 0$  en particulier, les fonctions  $F^{(\lambda)}(x; z)$ , pour reduire la longueur des formules decrivant des decompositions.

Definition 4.1.12. Notons  $F^{(\lambda)}$  la SGE bivariee

$$F^{(\lambda)}(x; z) = \tag{4.57}$$

$$\sum_{j=0}^{\infty} \sum_{k=1}^{\infty} \frac{X^{\lambda} X^{j+k}}{Cyc^{j+k} k!} G^{(1)}(x; z) \#_x^k G^{(j)}(x; z) + \tag{4.58}$$

$$+ \sum_{k=2}^{\infty} \frac{X^{\lambda}}{Cyc^{k-1} k!} G^{(1)}(x; z) \#_x^k G^{(1)}(x; z) ; \tag{4.59}$$

avec

$$k(Z) = \tag{4.60}$$

$$\frac{1}{k!} \frac{Z^{b-2}}{(b-2)!} \sum_{p=0}^{\infty} \frac{1}{p!} \frac{Z^{b-2}}{(b-2)!} Cyc^p + \tag{4.61}$$

$$+ \frac{b-k}{2} \frac{(b-2)}{bZ} \frac{1}{(k-1)!} \frac{Z^{b-2}}{(b-2)!} \sum_{p=0}^{\infty} \frac{1}{p!} \frac{Z^{b-2}}{(b-2)!} Cyc^{p+1} + \tag{4.62}$$

$$+ \frac{b-k}{1} \frac{(b-2)}{bZ} \frac{1}{(k-1)!} \frac{Z^{b-2}}{(b-2)!} \sum_{p=0}^{\infty} \frac{1}{p!} \frac{Z^{b-2}}{(b-2)!} Cyc^{p+1} + \tag{4.63}$$

$$+ \dots \tag{4.64}$$



Cette définition des SGEs  $F^{(i)}$  permet de formuler de manière concise les équations des propositions 4.1.3 et 4.1.4 en évaluant l'équation suivante en  $z = 1$  :

$$\#_w^{(i)} G^{(i)}(w; z) = z \frac{x^b}{b!} \exp \left( b \frac{\#_x G^{(i-1)}(x; z)^{b-1}}{(b-1)!} F^{(i)}(x; z) \right); \quad (4.65)$$

qui est l'écriture des décompositions relatives dans ces propositions avec les SGEs  $G^{(j)}(x; z)$ .

**Theorem 4.1.13.** Pour  $b \geq 0$ , la SGE  $E^{(i)}(x)$  de la performance moyenne de l'algorithme glouton de couplage, quand l'entrée est choisie uniformément parmi les  $b$ -composantes, est telle que

$$E^{(i)}(x) = \frac{1}{T(x)} g(y) (1+y)^{-(b-1)}; \quad (4.66)$$

$y = T(x)^{b-1} = (b-2)!$

avec la fonction  $g$ , déterminée, uniquement avec la condition  $g(0) = 0$ , par une récurrence

$$g^{(i)}(y) (1+y)^{-(b-1)} = J(y); \quad (4.67)$$

*Preuve.* Nous obtenons, en différenciant (4.65) par rapport à  $z$  puis en y fixant alors  $z = 1$ , une récurrence des  $E^{(i)}(x)$  :

$$\#_w^{(i)} E^{(i)}(x) = \frac{x^b}{b!} \exp \left( b \frac{T(x)^{b-1}}{(b-1)!} \right); \quad (4.68)$$

$$F^{(i)}(x; 1) + b \#_x E^{(i-1)}(x) \frac{T(x)^{b-2}}{(b-2)!} F^{(i)}(x; 1) + \frac{\partial}{\partial z} F^{(i)}(x; z) \Big|_{z=1}; \quad (4.69)$$

soit

$$\#_w^{(i)} E^{(i)}(x) = \dots; \quad (4.70)$$

$$\frac{T(x)^b}{b!} F^{(i)}(x; 1) \left( 1 + b \frac{\#_x E^{(i-1)}(x)}{T(x)} \right) T(x) + \frac{T(x)^b}{b!} \frac{\partial}{\partial z} F^{(i)}(x; z) \Big|_{z=1}; \quad (4.71)$$

Soit

$$F^{(i-1)}(x) = \frac{\partial}{\partial z} F^{(i)}(x; z) \Big|_{z=1} - b \frac{T(x)}{T(x)} \#_x E^{(i)}(x); \quad (4.72)$$

alors,

$$\#_w^{(i)} E^{(i)}(x) = \frac{(T(x))^b}{b!} \#_x E^{(i)}(x) = \dots; \quad (4.73)$$

$$= \frac{T(x)^b}{b!} F^{(i)}(x; 1) \left( 1 + b \frac{\#_x E^{(i-1)}(x)}{T(x)} \right) T(x) + \frac{T(x)^b}{b!} F^{(i-1)}(x) = \dots; \quad (4.74)$$

$$= \left( 1 + b \frac{\#_x E^{(i-1)}(x)}{T(x)} \right) T(x) \#_w^{(i)} H, \quad T(x) + \frac{T(x)^b}{b!} F^{(i-1)}(x) = \dots; \quad (4.75)$$

$$= \left( 1 + b \frac{\#_x E^{(i-1)}(x)}{T(x)} \right) T(x) \#_w^{(i)} H, \quad T(x) + \frac{T(x)^{b-1}}{b! T(x)} F^{(i-1)}(x) = T(x); \quad (4.76)$$

avec la fonction  $F^{(1)}$  telle que

$$F^{(1)}(x) = T(x)^{-1} F^{(1)}(x) : \quad (4.77)$$

Nous obtenons alors

$$\#_w^{(1)} E^{(1)}(x) = \frac{T(x)^2}{b-1} \#_x E^{(1)}(x) = \quad (4.78)$$

$$1 + b \frac{\#_x E^{(1)}(x)}{T(x)} = T(x) \#_w^{(1)} H, T(x) + \quad (4.79)$$

$$+ \frac{T(x)}{b(b-1)T(x)} F^{(1)}(x) = T(x) : \quad (4.80)$$

Ainsi, la forme

$$E^{(1)}(x) = \frac{1}{T(x)} g(y) (1+y)^{-(b-1)} \quad (4.81)$$

$y = \frac{T(x)^{b-1}}{(b-2)!}$

permet le changement de variable

$$\sum_{y=0}^{\infty} \frac{T(x)^{b-1}}{(b-2)!} y$$

$$\sum_{y=0}^{\infty} \frac{T(x)^{b-1} \#_x E^{(1)}(x) ! g(y) (1+y)^{-(b-1)}}{1+y} = g(y) (1+y)^{-(b-1)} ; \quad (4.82)$$

pour avoir

$$y g^{(0)}(y) (1+y)^{-(b-1)} = \quad (4.83)$$

$$(1+by) \frac{1+(b-1)y}{1+y} \frac{g^{(1)}(y)}{(1+y)^{1-(b-1)}} J(y) + \frac{y}{b(b-1)} F^{(1)}(y) ; \quad (4.84)$$

avec

$$J(y) = \frac{T(x) \#_w^{(1)} H, T(x)}{T(x)} : \quad (4.85)$$

Ce qui permet de conclure sur la récurrence des  $g$ , donc des  $E^{(1)}$  du théorème en identifiant

$$J(y) = (1+by) \frac{1+(b-1)y}{1+y} \frac{g^{(1)}(y)}{(1+y)^{1-(b-1)}} J(y) + F^{(1)}(y) = (b^2 - b) : \quad (4.86)$$

Proposition 4.1.14. La fonction  $g_0$ , telle que

$$E^{(0)}(x) = g_0(y) \quad ; \quad (4.87)$$

$y = T(x)^{b-1} = (b-2)!$

admet un développement en  $y=1$  qui commence comme suit :

$$g_0(y) = \frac{(3b-2)(1-2^{b-(b-1)})}{2^3 b (1-y)^2} + \dots \quad (4.88)$$

Preuve. Pour  $\lambda = 0$ , l'equation (4.86) donne  $J_0$  telle que

$$g_0^0(y) = \frac{J_0(y)}{(1+y)} : \tag{4.89}$$

Nous avons

$$J_0(y) = (1+by) \frac{1+(b-1)y}{1-y} \frac{g_1(y)}{(1+y)^{1=(b-1)}} J_0(y) + \frac{F^{(1)}(y)}{b^2/b} \tag{4.90}$$

et a partir de (4.85),

$$J_0(y) = \frac{y}{2(1-y)^2} = \frac{1}{2(1-y)^2} + \dots \tag{4.91}$$

En remarquant que

$$g_1(y) = \frac{1}{b} (1+y)^{1=(b-1)} - 1 ; \tag{4.92}$$

nous avons aussi le developpement en  $y = 1$  suivant :

$$by \frac{1+(b-1)y}{1-y} \frac{g_1(y)}{(1+y)^{1=(b-1)}} = \frac{1-1=2^{b-(b-1)}}{(1-y)} + \dots \tag{4.93}$$

Le premier terme du second membre de (4.90) adm et donc un developpement en  $y = 1$  qui commence comme suit :

$$(1+by) \frac{1+(b-1)y}{1-y} \frac{g_1(y)}{(1+y)^{1=(b-1)}} J_0(y) = \frac{1-1=2^{b-(b-1)}}{2(1-y)^3} + \dots \tag{4.94}$$

Voyons maintenant comment commence le developpement en  $y = 1$  du second terme, a savoir  $F^{(1)}(y) = (b^2/b)$ , du second membre de (4.90). Si  $\lambda = 0$ , dans les definitions (4.77) et (4.72) nous obtenons :

$$F^{(1)}(x) = T(x) = T(x) \tag{4.95}$$

$$= T(x) \frac{\partial}{\partial z} F^{(0)}(x;z) \Big|_{z=1} = b T(x) \# E_j^{(0)}(x) : \tag{4.96}$$

Dans  $T(x) \frac{\partial}{\partial z} F^{(0)}(x;z) \Big|_{z=1}$ , les termes (des recombinaisons) qui contribuent au coefficient de  $(1=(1-y))$  de plus grande puissance dans le developpement de  $F^{(1)}(y)$ , en  $y = 1$ , se deduisent des recombinaisons qui contribuent le plus avec les SGEs univariées. Le passage aux SGEs  $G^{(j)}$  bivariées, puis l'application de  $\frac{\partial}{\partial z} \Big|_{z=1}$  ont pour effet de changer exactement un terme  $\#_x^k H_j T(x)$  en  $\#_x^k E_j(x)$ . Ici, pour  $\lambda = 0$ , ces termes ou encore ces constructions proviennent de

$$T(x) \frac{\partial}{\partial z} \frac{1}{2} \frac{\#_x G^{(1)}(x;z)^{b-2}}{(b-2)!} + \frac{1}{2} \frac{\#_x G^{(1)}(x;z)^{b-3}}{(b-3)!} \#_x^2 G^{(1)}(x;z) \tag{4.97}$$

et sont

$$\frac{1}{2} (b - T(x))^2 + \frac{b(b-2)}{2} T(x) \frac{\#_x^2 E^{(1)}(x)}{T(x)} : \quad (4.98)$$

Par le changement de variable

$$\frac{T(x)^{b-1}}{(b-2)!} = y; \quad (4.99)$$

nous avons

$$\frac{\#_x^2 E^{(1)}(x)}{T(x)} = \frac{(1 - 2^{b-(b-1)})(b-1)}{b(1-y)^3} + \dots \quad (4.100)$$

Nous trouvons un développement en  $y = 1$  suivant :

$$\frac{F^{(0)}(y)}{b(b-1)} = \frac{(1 - 2^{b-(b-1)})(b-1)}{b(1-y)^3} + \dots \quad (4.101)$$

Ce qui, avec (4.94), donnent

$$J_0(y) = \frac{(3b-2)(1 - 2^{b-(b-1)})}{2b(1-y)^3} + \dots \quad (4.102)$$

donc

$$g_0^0(y) = \frac{(3b-2)(1 - 2^{b-(b-1)})}{2^2 b(1-y)^3} + \dots \quad (4.103)$$

et

$$g_0(y) = \frac{(3b-2)(1 - 2^{b-(b-1)})}{2^3 b(1-y)^2} + \dots \quad (4.104)$$

}

Proposition 4.1.15. L'équivalent asymptotique du coefficient  $[x^n]E^{(0)}(x)$  de la SGE liée à la moyenne de la variable aléatoire  $Y_n^{(0)}$  est :

$$[x^n]E^{(0)}(x) = \frac{(3b-2)(1 - 2^{b-(b-1)})(e-3)^{3-2} e^s}{2^3 b^{1-\lfloor s \rfloor} [(b-2)!]^{\lfloor s \rfloor}} 1 + O\left(\frac{1}{s^{1-2}}\right); \quad (4.105)$$

avec  $s$ , le nombre d'hyperarêtes, et  $n = n(s) = s(b-1)$ .

Preuve. Notons  $E^{(0)}$ , la SGE lisse associée à la SGE  $E^{(0)}$ . Alors,

$$E^{(0)}(t) = g_0(t) = \frac{(3b-2)(1 - 2^{b-(b-1)})}{2^3 b(1-t)^2} + \dots \quad (4.106)$$

et

$$\frac{d}{dt} E^{(0)}(t) = \frac{(3b-2)(1 - 2^{b-(b-1)})(b-1)}{2^2 b(1-t)^3} \frac{(t)}{t} + \dots \quad (4.107)$$

La formule d'inversion de Lagrange donne

$$[x^n] E^{(0)}(x) = \tag{4.108}$$

$$= \frac{(b-1)(3b-2)(1-2^{b-(b-1)})}{2^{3b-1}n} \int \frac{(t)}{(1-t)^3} + \dots \frac{e^s(t)}{t^n} \frac{dt}{t} = \tag{4.109}$$

$$= \frac{(b-1)(3b-2)(1-2^{b-(b-1)})}{2^{3b-1}n[(b-2)!]^{b-1}} \int \frac{(t)}{(1-t)^3} + \dots \frac{e^s(t)}{(t)^s} \frac{d(t)}{(t)} : \tag{4.110}$$

Nous en deduisons que

$$[x^n] E^{(0)}(x) = \tag{4.111}$$

$$= \frac{(b-1)(3b-2)(1-2^{b-(b-1)})}{2^{3b-1}n[(b-2)!]^{b-1}} \int \frac{1}{(1-t)^3} + \dots \frac{\exp(st)}{t^s} dt : \tag{4.112}$$

L'asymptotique de ce coefficient est donc porte par

$$\frac{(b-1)(3b-2)(1-2^{b-(b-1)})}{2^{3b-1}n[(b-2)!]^{b-1}} \int \frac{1}{(1-t)^3} \frac{\exp(st)}{t^s} dt : \tag{4.113}$$

Cette expression a ete deja rencontree au facteur pres dans la preuve du lemme 3.3.3. Par ce lemme, nous trouvons avec les valeurs  $\nu = 0$  et  $m = 3$ , l'equivalent asymptotique suivant :

$$\frac{(b-1)(3b-2)(1-2^{b-(b-1)})}{2^{3b-1}n[(b-2)!]^{b-1}} \int \frac{1}{(1-t)^3} \frac{\exp(st)}{t^s} dt = \tag{4.114}$$

$$= \frac{(3b-2)(1-2^{b-(b-1)})(e=3)^{3=2}e^s}{2^{3b-1}[(b-2)!]^{b-1}} \left( 1 + O\left(\frac{1}{s^{1=2}}\right) \right) : \tag{4.115}$$

Ainsi, nous concluons l'equivalent asymptotique du coefficient :

$$[x^n] E^{(0)}(x) = \frac{(3b-2)(1-2^{b-(b-1)})(e=3)^{3=2}e^s}{2^{3b-1}[(b-2)!]^{b-1}} \left( 1 + O\left(\frac{1}{s^{1=2}}\right) \right) : \tag{4.116}$$

}

Nous avons le coefficient  $[x^n] E^{(0)}(x)$  par cette proposition et l'asymptotique du coefficient  $[x^n] H_{0,T}(x)$  par la proposition 3.2.1. Nous trouvons alors par la definition de la SGE  $E^{(0)}(x)$  :

Theorem e 4.1.16. La moyenne  $E_n^{(0)}$  de la variable aleatoire  $Y_n^{(0)}$  correspondant a la taille de l'hypercouplage produit par l'algorithme glouton, quand l'entree de l'algorithme est choisie uniformement parmi les hypercycles a  $n$  sommets, est telle que

$$E_n^{(0)} = \frac{(3b-2)(1-2^{b-(b-1)})(e=3)^{3=2}}{2^b} s ; \tag{4.117}$$

avec  $s$ , tel que  $n = s(b-1)$ .

Proposition 4.1.17. Pour  $b \geq 1$ , la fonction  $g_b$ , telle que

$$E^{(b)}(x) = \frac{1}{T(x)} g_b(y) (1+y)^{\lfloor b-1 \rfloor} \quad ; \quad (4.118)$$

$y = T(x)^{b-1} = (b-2)!$

admette un développement en  $y = 1$  qui commence comme suit :

$$g_b(y) = \frac{\hat{b}_0 (b-1)^{2^b}}{(3^b+2)(1-y)^{3^b+2}} + \dots ; \quad (4.119)$$

où  $\hat{b}_0$  admet la récurrence

$$\hat{b}_0 = \frac{(3b-2)(1-2^{b-(b-1)})}{2^{2^b}} ; \quad (4.120)$$

$$\hat{b}_b = \frac{(1-2^{b-(b-1)})}{2^{b-(b-1)2}} + \quad (4.121)$$

$$+ \frac{(3^b+1)\hat{b}_{b-1}2^{(b-1)-(b-1)} + 2^{\sum_{p=0}^{b-1} \frac{1}{p}} \hat{b}_p 2^{p-(b-1)}}{2^{b-(b-1)2}} ; \quad (4.122)$$

où  $\hat{b}_j$  étant la notation de nie dans le théorème 2.3.37.

Preuve. Dans la récurrence (4.83) de la preuve du théorème 4.1.13, nous remarquons que pour déterminer  $E^{(b)}$ , il suffit d'intégrer

$$g_b^{(0)}(y) = \frac{(1+by \frac{1+(b-1)\#_y}{1-y} \frac{g_{b-1}(y)}{(1+y)^{1-(b-1)}})J_b(y)}{(1+y)^{(b-1)-(b-1)}} + \frac{F^{(b-1)}(y)}{b(b-1)(1+y)^{(b-1)-(b-1)}} : \quad (4.123)$$

Or, dans cette équation, le premier terme du second membre admet un développement en  $y = 1$  qui commence comme suit :

$$\frac{(1+by \frac{1+(b-1)\#_y}{1-y} \frac{g_{b-1}(y)}{(1+y)^{1-(b-1)}})J_b(y)}{(1+y)^{(b-1)-(b-1)}} = \frac{(1-2^{b-(b-1)}) \cdot (b-1)^{2^b}}{2^{b-(b-1)2}(1-y)^{3^b+3}} + \dots \quad (4.124)$$

car

$$(1+by \frac{1+(b-1)\#_y}{1-y} \frac{g_{b-1}(y)}{(1+y)^{1-(b-1)}}) = \frac{1-2^{b-(b-1)}}{(1-y)} + \dots \quad (4.125)$$

et

$$J_b(y) = \frac{(b-1)^{2^b}}{(1-y)^{3^b+2}} + \dots ; \quad (4.126)$$

avec la notation  $\hat{b}_j$  du théorème 2.3.37. Nous trouvons ensuite que le début du développement en  $y = 1$  du second terme du second membre de (4.123) est :

$$\frac{F^{(b-1)}(y)}{b(b-1)(1+y)^{(b-1)-(b-1)}} = \quad (4.127)$$

$$\frac{(b-1)^{2^b} (3^b+1)\hat{b}_{b-1}2^{(b-1)-(b-1)} + 2^{\sum_{p=0}^{b-1} \frac{1}{p}} \hat{b}_p 2^{p-(b-1)}}{2^{b-(b-1)2}(1-y)^{3^b+3}} + \dots \quad (4.128)$$

Comme dans le lemme 2.3.36, si une composante  $\lambda$  subit la décomposition (suppression d'hyperarêtes) suggérée par l'algorithme 3 produisant une famille, indexée par  $i$ , de composantes d'excès  $j_i$  et ayant  $k_i$  marquages (comptés avec l'ordre de multiplicité de  $n$  par le nombre d'hyperarêtes supprimées auxquelles un sommet  $n$  appartenait) alors, en supposant que  $(j_i; k_i) \in (1; 1)$ , le degré maximum de  $(1=(1-y))$  du développement en  $y=1$  d'une SGE liée à la description de telles familles, vaut au plus

$$\sum_i (3j_i + 2k_i) = (3\lambda + 3) \sum_i k_i : \quad (4.129)$$

Comme la SGE  $F$ , (4.77), est liée à de telles familles sauf à celle réduite à une composante d'excès  $\lambda$  et ayant un seul marquage, le degré est au plus, avec  $\sum_i k_i = 2$ ,

$$3\lambda + 3 \cdot 2 + 2 = 3\lambda + 3; \quad (4.130)$$

où le 2 rajouté est à cause d'un facteur en  $\#_x^k E^{(j)}(x)$  remplaçant un facteur en  $\#_x^k H_j T(x)$  par la dérivation  $\frac{\partial}{\partial z}$  dans (4.72). Si  $\lambda = 3$ , nous distinguons deux types de familles telles que  $\sum_i k_i = 2$  avec des  $k_i$  d'ordre 1 (cette restriction est motivée parce que nous ne sommes intéressés que par le coefficient du terme en  $(1=(1-y))$  avec la plus grande puissance) :

{ Si les deux marques appartiennent à une même composante, alors les familles sont liées à des constructions décrites dans

$$C_1^{(\lambda-1)}(x; z) = \quad (4.131)$$

$$T(x)^{\lambda+1} \left[ \frac{1}{2} \frac{\#_x G^{(\lambda-1)}(x; z)^{b-2}}{(b-2)!} + \frac{b \#_x G^{(\lambda-1)}(x; z)^{b-3}}{2(b-3)!} \right] \quad (4.132)$$

$$\#_x^2 G^{(\lambda-1)}(x; z) : \quad (4.133)$$

{ Si les deux marques appartiennent à deux composantes distinctes, alors les familles sont liées à des constructions décrites dans

$$C_2^{(\lambda-1)}(x; z) = \quad (4.134)$$

$$T(x)^{\lambda+1} \left[ \frac{1}{2} \frac{\#_x G^{(\lambda-1)}(x; z)^{b-2}}{(b-2)!} + \frac{b \#_x G^{(\lambda-1)}(x; z)^{b-3}}{2(b-3)!} \right] ; \quad (4.135)$$

$$\sum_{p=0}^{\lambda-1} \#_x G^{(p)}(x; z) \#_x G^{(\lambda-1-p)}(x; z) : \quad (4.136)$$

D'un côté, l'application de  $\frac{\partial}{\partial z}()$   $j=1$  à (4.131) nous permet de préciser les constructions contribuant au coefficient de  $(1=(1-y))$  portant la plus grande puissance. À partir de (4.131), nous identifions alors les constructions décrites dans l'expression suivante

$$\frac{1}{2} (b-1) T(x)^2 + \frac{b(b-2)}{2} T(x) T(x)^{-1} \#_x^2 E^{(\lambda-1)}(x) : \quad (4.137)$$

Notons par  $\hat{b}_j (b-1)^{2j} = (3j+2)$ , le coefficient de  $(1-(1-y))$  portant la plus grande puissance de  $g_j(y)$  dans le développement de ce dernier, ce que nous avons écrit

$$g_j(y) = \frac{\hat{b}_j (b-1)^{2j}}{(3j+2)(1-y)^{3j+2}} + \dots; \tag{4.138}$$

avec

$$\hat{b}_0 = \frac{(3b-2)(1-1=2^{b=(b-1)})}{2^{2b}}; \tag{4.139}$$

Ces constructions, identifiées dans (4.137), contribuent donc au coefficient par

$$b(b-1)^{2^{b+1}} (3^{b+1}) \hat{b}_0 2^{(b-1)=(b-1)}; \tag{4.140}$$

De l'autre cote, l'application de  $\frac{\partial}{\partial z}()$  à (4.134) nous permet d'obtenir les autres constructions qui permettent de déterminer ce coefficient de  $(1-(1-y))$  portant la plus grande puissance. Aussi, nous identifions les constructions décrites dans l'expression suivante :

$$T(x)^{b-1} = \frac{1}{2} (b - T(x))^2 + \frac{b(b-2)}{2} T(x) \tag{4.141}$$

$$\sum_{p=0}^{X-1} \#_{xE^{(p)}}(x) \#_{xH, 1-p} T(x); \tag{4.142}$$

Ces constructions contribuent au coefficient par

$$2b(b-1)^{2^{b+1}} \sum_{p=0}^{X-1} \hat{b}_p 2^{p=(b-1)}; \tag{4.143}$$

ou nous adoptons la notation  $\nu$ , du theoreme 2.3.37, relative au coefficient du terme en  $(1 - T(x))^{3^\nu}$  portant l'asymptotique du coefficient de  $H_\nu - T(x)$  :

$$H_\nu(t) = \frac{1}{t^\nu} \frac{\nu(b-1)^{2^\nu}}{3^\nu} \frac{1}{(1-t)^{3^\nu}} + \dots; \tag{4.144}$$

avec

$$\begin{aligned} \nu=0 &= \frac{1}{2}; \\ \nu=1 &= \frac{5}{8}; \\ \nu &= \frac{3^\nu}{2} \nu + \frac{1}{2} \sum_{p=1}^{X-2} \nu_{p, 1-p}; \text{ pour } \nu = 2; 3; \dots \end{aligned} \tag{4.145}$$

La contribution de  $\hat{F}(y) = (b(b-1)(1+y))^{(b-1)=(b-1)}$  au coefficient est donc

$$\frac{(b-1)^{2^\nu} (3^\nu + 1) \hat{b}_0 2^{(b-1)=(b-1)} + 2 \sum_{p=0}^{\nu-1} \nu_{p, 1-p} \hat{b}_p 2^{p=(b-1)}}{2^{(b-1)2}}; \tag{4.146}$$



Nous obtenons alors par (4.124) et (4.127) la récurrence

$$\hat{b}_\nu = \frac{(1 - 1=2^{b-(b-1)})_\nu}{2^{\nu-(b-1)} 2} + \quad (4.147)$$

$$+ \frac{(3^\nu + 1)\hat{b}_{\nu-1} 2^{(\nu-1)-(b-1)} + 2 \sum_{p=0}^{\nu-1} \hat{b}_p 2^{p-(b-1)}}{2^{\nu-(b-1)} 2} : \quad (4.148)$$

}

Ainsi, par exemple, nous trouvons :

Exemple 4.1.18. Pour  $\nu = 1$ ,

$$\hat{b}_1 = \frac{(1 - 1=2^{b-(b-1)})_1 + 5\hat{b}_0}{2^{1-(b-1)} 2}; \quad (4.149)$$

soit

$$\hat{b}_1 2^{1-(b-1)} = (1 - 1=2^{b-(b-1)}) (7b - 4) \frac{1}{2b}; \quad (4.150)$$

Exemple 4.1.19. Et pour  $\nu = 2$ ,

$$\hat{b}_2 2^{2-(b-1)} = \frac{(1 - 1=2^{b-(b-1)})_2}{2} + \frac{8\hat{b}_1 2^{1-(b-1)} + 2 \hat{b}_0}{2}; \quad (4.151)$$

soit

$$\hat{b}_2 2^{2-(b-1)} = (1 - 1=2^{b-(b-1)}) (65b - 34) \frac{2}{12b}; \quad (4.152)$$

Exemple 4.1.20. Pour  $\nu = 3$ ,

$$\hat{b}_3 2^{3-(b-1)} = (1 - 1=2^{b-(b-1)}) (293b - 144) \frac{11}{442b}; \quad (4.153)$$

Exemple 4.1.21. Pour  $\nu = 4$ ,

$$\hat{b}_4 2^{4-(b-1)} = (1 - 1=2^{b-(b-1)}) (7081b - 3314) \frac{7}{5424b}; \quad (4.154)$$

Proposition 4.1.22. La récurrence des  $\hat{b}_\nu$ ,

$$g_\nu(y) = \frac{\hat{b}_\nu (b-1)^{2^\nu}}{(3^\nu + 2)(1-y)^{3^\nu+2}} + \dots; \quad (4.155)$$

s'écrit encore

$$\frac{2\hat{b}_\nu 2^{\nu-(b-1)}}{(1 - 1=2^{b-(b-1)})} = \nu(b-3)^\nu; \quad (4.156)$$

avec  $\nu$ , tel que

$$\begin{aligned} \mu_0 &= \frac{1}{2}; \\ \mu_\nu &= \frac{1}{2} \nu (3^\nu - 1) + \frac{1}{2} \sum_{p=0}^{\nu-1} \mu_p \nu^{1-p}; \quad \text{pour } \nu = 1; 2; \dots \end{aligned} \quad (4.157)$$

et

$$\begin{aligned} \mu_0(b) &= \frac{3b-2}{3b}; \\ \mu_\nu(b) &= \frac{1}{3} + \frac{1}{2} \nu (3^\nu + 1) \frac{\mu_{\nu-1}(b)}{3} + \\ &+ \frac{1}{2} \sum_{p=0}^{\nu-1} \nu^{1-p} \frac{f_p(b) + \mu_p(b)g}{3}; \quad \text{pour } \nu = 1; 2; \dots \end{aligned} \quad (4.158)$$

Proposition 4.1.23. Le coefficient de la SGE  $E^{(\nu)}(x)$  qui code la moyenne de la variable aléatoire  $Y_n^{(\nu)}$  admet l'équivalent asymptotique suivant :

$$[x^n] E^{(\nu)}(x) = \quad (4.159)$$

$$\frac{(b-1)^{2^{\nu+1}} (1 - 2^{b-(b-1)}) \nu (b) 3^\nu e^{s + \frac{3^{\nu+3}}{2}} \frac{1}{b-1} (s = (3^\nu + 3))^{(3^\nu + 3) - 2}}{4^{\nu} s! (b-2)!^{\nu}} \quad (4.160)$$

$$1 + O\left(\frac{1}{s^{1/2}}\right) \quad (4.161)$$

Preuve. Comme la SGE lisse  $\hat{E}^{(\nu)}$  correspondant à la SGE  $T(x) E^{(\nu)}(x)$  est telle que

$$\hat{E}^{(\nu)}(t) = g_\nu(t) (1 + (t)^{\nu(b-1)}) = \frac{(b-1)^{2^{\nu+1}} (1 - 2^{b-(b-1)}) \nu (b) 3^\nu}{2(3^\nu + 2)(1 + (t)^{\nu(b-1)})} + \dots \quad (4.162)$$

et

$$\frac{d}{dt} \hat{E}^{(\nu)}(t) = \frac{(b-1)^{2^{\nu+1}} (1 - 2^{b-(b-1)}) \nu (b) 3^\nu (b-1) (t)}{2(1 + (t)^{\nu(b-1)})^2} + \dots \quad (4.163)$$

Par la formule d'inversion de Lagrange, l'asymptotique du coefficient  $[x^n] E^{(\nu)}(x)$  est portée par celle de

$$I = \frac{(b-1)^{2^{\nu+1}} (1 - 2^{b-(b-1)}) \nu (b) 3^\nu}{2n} t^{n+\nu} \frac{(t)}{(1 + (t)^m)^m} (t)^n; \quad (4.164)$$

avec  $(t) = t^{b-1} = (b-2)!$ ,  $(t) = \exp(-(t) = (b-1))$  et  $m = 3^\nu + 3$ . En notant  $n = n(s) =$

soit  $(b-1)^{-1}$ , nous obtenons le resultat par le lemme 3.3.3 car

$$I = \tag{4.165}$$

$$= \frac{(b-1)^{2^{s+1}} (1 - 2^{-\frac{b}{b-1}})^{-1} (b-3) e^{s + \frac{m}{2} \frac{1}{b-1}} (s-m)^{\frac{m}{2}}}{4n^{\frac{b}{b-1}} s [(b-2)!]^{\frac{b}{b-1}}} \left( 1 + O\left(\frac{1}{s^{1/2}}\right) \right) \tag{4.166}$$

$$= \frac{(b-1)^{2^{s+1}} (1 - 2^{-b^{-(b-1)}})^{-1} (b-3) e^{s + \frac{3^{s+3}}{2} \frac{1}{b-1}} (s - (3^s + 3))^{(3^s + 3)/2}}{4n^{\frac{b}{b-1}} s [(b-2)!]^{\frac{b}{b-1}}} \tag{4.167}$$

$$1 + O\left(\frac{1}{s^{1/2}}\right) : \tag{4.168}$$

}

Par les asymptotiques des coefficients  $[x^n]E^{(1)}(x)$  de la proposition precedente et  $[x^n]H \cdot T(x)$  de la proposition 3.3.4, nous trouvons :

Theoreme 4.1.24. La moyenne  $E_n^{(1)}$  de la variable aleatoire  $Y_n^{(1)}$  correspondant a la taille de l'hypercouplage produit par l'algorithme glouton, quand l'entree de l'algorithme est choisie uniformement parmi les hypercycles a n sommets est telle que

$$E_n^{(1)} = \frac{(b-1)e (1 - 2^{-b^{-(b-1)}})^{-1} \left(\frac{3^{s+1}}{3^s + 3}\right)^{\frac{3^{s+1}}{2}}}{2^{s+1}} s; \tag{4.169}$$

avec  $s$ , le nombre d'hyperarêtes quand  $n$  est le nombre de sommets, soit  $n = n(s) = s(b-1)^{-1}$ , et les  $s$  de  $n$  dans l'annonce de la proposition 4.1.22.

## 4.2 Hypergraphes evoluant

Dans cette section nous generalisons un resultat de [14] sur les graphes evoluant. Plusieurs resultats sur les graphes aleatoires [5] seraient aussi accessibles pour hypergraphes par l'approche suggeree dans [14].

---

### Algorithme 4 : Generation d'hypergraphe jusqu'a l'apparition du premier cycle

---

Entrees : Entier  $n$ , le nombre des sommets etiquetes.

Sorties : Forêt d'hyperarbre non enracine et un cycle avec une hyperarête interieure marquee.

debut

    Initialiser avec un hypergraphe a  $n$  sommets sans hyperarête.

    repete

        Ajouter une nouvelle hyperarête aleatoire jusqu'a une composante d'exces  $> 0$  a ete formee

    fin

    Marquer la demiere hyperarête ajutee dans l'hypergraphe.

    retourner l'hypergraphe

---

## 4.2.1 Définitions et notions

Dans cette section, nous disposons de la SGE  $\hat{H}_{-1}(w; z)$  bivariee des hyperarbres :

$$\hat{H}_{-1}(w; z) = \frac{H_{-1} T(w^{1=(b-1)}z)}{w^{1=(b-1)}} ; \quad (4.170)$$

avec

{  $z$  : denote la variable liee au nombre de sommets de l'hypergraphe,

{  $w$  : denote la variable liee au nombre de ses hyperarêtes,

{  $T$  : la SGE des hyperarbres enracines

$$T(z) = z \exp \frac{T(z)^{b-1}}{(b-1)!} ; \quad (4.171)$$

{  $H_{-1}$  : la SGE "lisse" des hyperarbres

$$H_{-1}(t) = t^{-1} \frac{(t)}{b} ; \quad (4.172)$$

$$\text{ou } (t) = \frac{t^{b-1}}{(b-2)!} .$$

Définition 4.2.1. Denotons  ${}_n F_m$  l'operateur

$${}_n F_m = \sum_{m=0}^X \frac{f_{m,n}}{m^N} ; \quad \text{avec } N = \frac{n}{b} ; \quad (4.173)$$

et  $F(w; z)$  la SGE bivariee

$$F(w; z) = \sum_{n,m=0}^X f_{m,n} w^m \frac{z^n}{n!} ; \quad (4.174)$$

Cet operateur  ${}_n F_m$  adm et une formulation integrale suivante :

Définition 4.2.2. L'operateur  ${}_n F_m$  est

$${}_n F_m = \int_0^1 \frac{1}{(1+t)^N} F_n(t) \frac{dt}{t(1+t)} ; \quad (4.175)$$

ou

$$N = \frac{n}{b} \quad (4.176)$$

et

$$F_n(w) = n! [z^n] F(w; z) = \frac{n!}{2i} \int \frac{F(w; z)}{z^{n+1}} dz ; \quad (4.177)$$

L'equivalence des deux definitions se justifie, comme souligne dans [14], par la fonction integrale : La substitution  $u = t/(1+t)$  transforme  $\int_0^1 t^{m-1} dt/(1+t)^{N+1}$  en

$$\int_0^1 u^{m-1} (1-u)^{N-m} du = B(N+1-m; m) = \frac{1}{m \binom{N}{m}} ; \quad (4.178)$$

Definition 4.2.3. Un hypergraphe évoluant est un hypergraphe dont les hyperarêtes apparaissent une par une.

Ces hypergraphes évoluant sont a priori différents des hypergraphes où chacune des hyperarêtes existe avec une certaine probabilité  $p$  (modèle binomial d'hypergraphe aléatoire étudié dans [10]).

#### 4.2.2 L'attente moyenne de l'apparition du premier cycle

Pour obtenir une expression de l'espérance du nombre d'hyperarêtes ajoutées par l'algorithme 4, nous considérons la SGE bivariable liée aux structures rencontrées lors du déroulement de l'algorithme telles que le processus de création d'une nouvelle hyperarête continue. Ces structures rencontrées ne sont autres que des forêts d'hyperarbres, chacune de ces structures ayant  $m$  hyperarêtes peut apparaître en suivant  $m!$  historiques distinctes selon l'ordre de création des  $m$  hyperarêtes. Sachant qu'un hypergraphe ayant  $n$  sommets et  $m$  hyperarêtes ordonnées, la probabilité qu'il s'agit d'une forêt d'hyperarbres est

$$\frac{m! f_{m,n}}{m! \binom{n}{m}} = \frac{f_{m,n}}{\binom{n}{m}}; \quad (4.179)$$

avec  $N = \binom{n}{m}$  et avec  $f_{m,n}$  le nombre de forêts d'hyperarbres chacun ayant  $n$  sommets et  $m$  hyperarêtes. Nous obtenons alors le nombre moyen d'hyperarêtes ajoutées en sommant le terme (4.179) pour  $m \geq 0$  :

$$E_n = \sum_{m=0}^n \frac{f_{m,n}}{\binom{n}{m}}; \quad (4.180)$$

Notons  $F$  la SGE des forêts d'hyperarbres

$$F(w; z) = \exp \frac{H_1 T(w^{1=(b-1)} z)}{w^{1=(b-1)}} = \sum_{m=0}^n \frac{f_{m,n} w^m z^n}{n!}; \quad (4.181)$$

alors l'application de l'opérateur  $\mathcal{N}_n$  à  $F$  donne presque l'expression de la moyenne  $E_n$  :

$$\mathcal{N}_n F = \sum_{m=1}^n \frac{f_{m,n}}{\binom{n}{m}}; \quad (4.182)$$

une expression plus proche de la moyenne  $E_n$  est

$$\mathcal{N}_w F = \sum_{m=1}^n \frac{f_{m,n}}{\binom{n}{m}}; \quad (4.183)$$

Ainsi, nous voyons que la moyenne  $E_n$  s'exprime avec l'opérateur  $\mathcal{N}_w$  comme :

$$E_n = 1 + \mathcal{N}_w F; \quad (4.184)$$

Notons alors que

$$\#_w F(w; z) = F(w; z) \frac{T(w^{1=(b-1)} z)^b}{w^{1=(b-1)} b!} \quad (4.185)$$

$$= \frac{T(w^{1=(b-1)} z)^b}{w^{1=(b-1)} b!} \exp \frac{H_{-1} T(w^{1=(b-1)} z)}{w^{1=(b-1)}} : \quad (4.186)$$

Notons  $\hat{f}_n(w)$ , le coefficient  $[z^n] \#_w F(w; z)$  :

$$\hat{f}_n(w) = [z^n] \frac{T(w^{1=(b-1)} z)^b}{w^{1=(b-1)} b!} \exp \frac{H_{-1} T(w^{1=(b-1)} z)}{w^{1=(b-1)}} : \quad (4.187)$$

Une application d'une version de la formule d'inversion de Lagrange 2.3.2, adaptée à cette SGE bivariable avec une seconde variable relative au nombre d'hyperarêtes, donne

$$\hat{f}_n(w) = \quad (4.188)$$

$$= \frac{1}{n} t^{n-1} \frac{d}{dt} w \frac{t^b}{b!} \exp H_{-1}(w; t) \exp n w \frac{(t)}{b-1} = \quad (4.189)$$

$$= \frac{1}{2in} \int w \frac{d}{dt} \frac{t^b}{b!} e^{H_{-1}(w; t)} e^{n w \frac{(t)}{b-1} n \ln(t)} dt; \quad (4.190)$$

avec  $(t) = t^{1=(b-2)}!$ ,

$$H_{-1}(w; t) = t^{-1} w \frac{(t)}{b} : \quad (4.191)$$

Nous utiliserons une autre formulation de la version de l'inversion de Lagrange qui ne comptabilise pas les hyperarêtes en mettant la variable  $w$  du côté des forêts, mais du côté de la structure centrale. Échanger la manière de comptabiliser les hyperarêtes pour les comptabiliser du côté de la structure centrale, se traduira par une multiplication par  $w^{n=(b-1)}$ ,  $n=(b-1)$  étant le nombre d'hyperarêtes dans une forêt à  $n$  sommets pour garantir la présence d'au moins un cycle, et un changement de  $t$  en  $t w^{1=(b-1)}$ . Nous obtenons alors une version de l'inversion de Lagrange suivant :

$$\hat{f}_n(w) = \quad (4.192)$$

$$= \frac{w^{\frac{n-1}{b-1}}}{n} t^{n-1} \frac{d}{dt} \frac{1}{w^{\frac{1}{b-1}}} \frac{t^b}{b!} \exp H_{-1}\left(w; \frac{t}{w^{\frac{1}{b-1}}}\right) e^{n \frac{(t)}{b-1}} = \quad (4.193)$$

$$= \frac{w^{\frac{n-1}{b-1}}}{n} t^{n-1} \frac{d}{dt} \frac{t^b}{b!} \exp H_{-1}\left(w; \frac{t}{w^{\frac{1}{b-1}}}\right) \exp n \frac{(t)}{b-1} : \quad (4.194)$$

De manière analytique, cela s'écrit

$$\hat{f}_n(w) = \frac{w^{\frac{n-1}{b-1}}}{2in} \int \frac{d}{dt} \frac{t^b}{b!} \exp H_{-1}\left(w; \frac{t}{w^{\frac{1}{b-1}}}\right) \exp n \frac{(t)}{b-1} n \ln(t) dt : \quad (4.195)$$

$$\frac{d}{dt} \frac{t^b}{b!} \exp H_{-1}\left(w; \frac{t}{w^{\frac{1}{b-1}}}\right) \exp n \frac{(t)}{b-1} n \ln(t) dt : \quad (4.196)$$

Nous avons

$$\frac{d}{dt} \frac{t^b}{b!} \exp H_{-1} \left( w; \frac{t}{w^{b-1}} \right) = \tag{4.197}$$

$$= \frac{d}{dt} \frac{t^b}{b!} \exp \frac{t}{w^{b-1}} \left( 1 - \frac{(t)}{b} \right) = \tag{4.198}$$

$$= \frac{t^{b-1}}{(b-1)!} + \frac{t^b}{b w^{b-1}} \left( 1 - \frac{(t)}{b} \right) \exp \frac{t}{w^{b-1}} \left( 1 - \frac{(t)}{b} \right) = \tag{4.199}$$

$$= \frac{(t)}{b-1} \left( 1 + \frac{t}{b w^{b-1}} \left( 1 - \frac{(t)}{b} \right) \exp \frac{t}{w^{b-1}} \left( 1 - \frac{(t)}{b} \right) \right) : \tag{4.200}$$

Et  $\hat{f}_n(w)$  se met sous la forme suivante :

$$\hat{f}_n(w) = \frac{w^{\frac{n-1}{b-1}}}{2i n (b-1)} \int_0^1 \tag{4.201}$$

$$(t) \left( 1 + \frac{t}{b w^{\frac{1}{b-1}}} \left( 1 - \frac{(t)}{b} \right) \right) e^{t w^{\frac{1}{b-1}}} \left( 1 - \frac{(t)}{b} \right) e^{n \frac{(t)}{b-1}} e^{-n \ln(t)} dt : \tag{4.202}$$

Pour évaluer  $n \#_w F$  qui s'écrit sous la forme intégrale suivante :

$$n \#_w F = \int_0^1 \frac{1}{(1+w)^N} F_n(w) \frac{dw}{w(1+w)} ; \tag{4.203}$$

avec  $N = \frac{n}{b}$  et

$$F_n(w) = n! \hat{f}_n(w) ; \tag{4.204}$$

nous com pensons ce facteur  $n!$  dans l'estim ation de  $\hat{f}_n$  par le changem ent de variable

$$\begin{aligned} & \int_0^1 \frac{e^{b-1}}{(wn)^{b-1}} \frac{dw}{w} \tag{4.205} \\ & \int_0^1 \frac{dw}{w} \left( 1 - \frac{(t)}{b} \right) \frac{dw}{w} \\ & n! \hat{f}_n(w) \int_0^1 \frac{e^{b-1}}{(wn)^{b-1}} \end{aligned}$$

et nous obtenons

$$n \#_w F = \int_0^1 \frac{1}{(b-1)n!} \frac{\hat{f}_n \left( \frac{e^{b-1}}{(wn)^{b-1}} \right)}{w \left( 1 + \frac{e^{b-1}}{(wn)^{b-1}} \right)^{N+1}} dw : \tag{4.206}$$

D ans ce changem ent de variable (4.205) , nous avons

$$\hat{f}_n \left( \frac{e^{b-1}}{(wn)^{b-1}} \right) = \frac{e^{n-1}}{2i n^n (b-1) w^{n-1}} \int_0^1 g(w;t) e^{nh(t)} dt ; \tag{4.207}$$

avec

$$g(w;t) = (t) \left( 1 + \frac{nw t}{eb} \left( 1 - \frac{(t)}{b} \right) \right) \tag{4.208}$$

et

$$h(t) = \frac{(t)}{b-1} \ln(t) + \frac{wt}{e} \left(1 - \frac{(t)}{b}\right) : \quad (4.209)$$

La dérivée de cette fonction  $h$  est

$$h'(t) = \frac{(t)}{t} \left( \frac{1}{t} + \frac{w}{e} \left(1 - \frac{(t)}{b}\right) \right) = \left(1 - \frac{(t)}{b}\right) \left(\frac{w}{e} - \frac{1}{t}\right) : \quad (4.210)$$

La dérivée seconde de la fonction  $h$  est

$$h''(t) = (b-1) \frac{(t)}{t} \left(\frac{w}{e} - \frac{1}{t}\right) + \left(1 - \frac{(t)}{b}\right) \left(-\frac{1}{t^2}\right) : \quad (4.211)$$

Nous distinguons alors deux cas :

1. Si  $w \frac{e}{[(b-2)!]^{1-(b-1)}}$ , alors la dérivée seconde au point col  $t_0 = [(b-2)!]^{1-(b-1)}$  est positive

$$h''(t_0) = (b-1) \frac{1}{[(b-2)!]^{1-(b-1)}} \left(\frac{w}{e} - \frac{1}{[(b-2)!]^{1-(b-1)}}\right) : \quad (4.212)$$

Alors nous faisons passer le contour d'intégration verticalement par le point col  $t_0$ .

2. Si  $w \frac{e}{[(b-2)!]^{1-(b-1)}} < 1$ , alors la dérivée seconde au point col  $t_1 = e/w$  est positive

$$h''(t_1) = + \left(1 - \frac{e^{b-1}}{w^{b-1} (b-2)!}\right) \frac{w^2}{e^2} : \quad (4.213)$$

Alors nous faisons passer le contour d'intégration verticalement par le point col  $t_1$ .

Dans chaque cas, nous utilisons le contour d'intégration suivant selon  $t_j$  :

$$\begin{cases} \gamma_1 : t = t_j + iv = n; & v \in [3nt_j; 3nt_j] \\ \gamma_0 : t = t_j + 3t_j \exp(i\theta); & \theta \in [2\pi; 3\pi - 2\pi] \end{cases} : \quad (4.214)$$

Notons  $\hat{\gamma}_1$ , une portion du chemin  $\gamma_1$  :

$$\hat{\gamma}_1 : t = t_j + iv = n; \quad v \in [s; s]; \quad (4.215)$$

avec  $s$ , un nombre positif qui sera précisé plus tard. Soit alors la valeur  $I_1$  de l'intégrale (4.207) restreinte à cette portion  $\hat{\gamma}_1$  :

$$I_1 = \frac{e^{n-1}}{2i n^n (b-1) w^{n-1}} \int_{\hat{\gamma}_1}^Z g(w;t) e^{nh(t)} dt : \quad (4.216)$$

Ce qui, si l'intégrande est approchée au point col, donne

$$I_1 = \frac{e^{n-1} g(w;t_j) e^{nh(t_j)}}{2i n^n (b-1) w^{n-1}} \int_{\hat{\gamma}_1}^Z \exp[nh''(t_j)(t-t_j)^2 + O(nh^{(4)}(t_j)(t-t_j)^4)] dt; \quad (4.217)$$



soit, avec la variable d'integration  $v$

$$I_1 = \frac{e^{n-1} g(w; t_j) e^{nh(t_j)}}{2^{n^{n+1}} (b-1) w^{n-1}} \int_s^Z \exp \left[ h^{(0)}(t_j) \frac{v^2}{2n} + O \left( h^{(4)}(t_j) \frac{v^4}{n^3} \right) \right] dv : \quad (4.218)$$

Soit, encore par le changement de variable

$$\begin{aligned} & v = \int \frac{2n}{h^{(0)}(t_j)} r \\ & : dv = \frac{2n}{h^{(0)}(t_j)} dr \end{aligned} \quad (4.219)$$

et en notant

$$C_{w;n} = \int \frac{2n}{h^{(0)}(t_j)} dr = (2n) ; \quad (4.220)$$

$$I_1 = \quad (4.221)$$

$$= \frac{e^{n-1} g(w; t_j) e^{nh(t_j)}}{n^n (b-1) w^{n-1} 2^{nh^{(0)}(t_j)}} \int_{sC_{w;n}}^Z e^{r^2 + O \left( \frac{h^{(4)}(t_j)}{h^{(0)}(t_j)^2} \frac{r^4}{n} \right)} dr = \quad (4.222)$$

$$= \frac{e^{n-1} g(w; t_j) e^{nh(t_j)}}{n^n (b-1) w^{n-1} 2^{nh^{(0)}(t_j)}} \int_{sC_{w;n}}^Z e^{r^2} \left[ 1 + O \left( \frac{h^{(4)}(t_j)}{h^{(0)}(t_j)^2} \frac{r^4}{n} \right) \right] dr = \quad (4.223)$$

$$= \frac{e^{n-1} g(w; t_j) e^{nh(t_j)}}{n^n (b-1) w^{n-1} 2^{nh^{(0)}(t_j)}} \quad (4.224)$$

$$\left( \int_{sC_{w;n}}^Z e^{r^2} dr + O \left( \frac{h^{(4)}(t_j)}{h^{(0)}(t_j)^2} \frac{(sC_{w;n})^5}{n} \right) \right) : \quad (4.225)$$

A lors l'integrale  $I_1$  devient

$$I_1 = \frac{e^{n-1} g(w; t_j) e^{nh(t_j)}}{n^n (b-1) w^{n-1} 2^{nh^{(0)}(t_j)}} \quad (4.226)$$

$$\left( \int_{sC_{w;n}}^Z e^{r^2} dr + O \left( h^{(4)}(t_j) \frac{h^{(0)}(t_j)^5}{n^{7=2}} \right) \right) : \quad (4.227)$$

En prenant  $s = n^{2=3}$ , nous obtenons

$$I_1 = \frac{e^{n-1} g(w; t_j) e^{nh(t_j)}}{n^n (b-1) w^{n-1} 2^{nh^{(0)}(t_j)}} \left[ 1 + O \left( h^{(4)}(t_j) \frac{1}{h^{(0)}(t_j) n^{1=6}} \right) \right] : \quad (4.228)$$

Sur le contour restant, la contribution etant exponentiellement petit, nous obtenons que  $I_1$  est l'ordre asymptotique de (4.207) : si  $w = e^{-(b-2)!^{1=(b-1)}}$ , alors on prendra  $j = 0$  soit le point col  $t_0 = [-(b-2)!^{1=(b-1)}]$ , sinon on prendra  $j = 1$  soit le point col  $t_1 = e^{-w}$ . Et l'ordre asymptotique de (4.207) est

$$\hat{f}_n \left( \frac{e^{b-1}}{(wn)^{b-1}} \right) = \frac{e^{n-1} g(w; t_j) e^{nh(t_j)}}{n^n (b-1) w^{n-1} 2^{nh^{(0)}(t_j)}} \left[ 1 + O \left( h^{(4)}(t_j) \frac{1}{h^{(0)}(t_j) n^{1=6}} \right) \right] : \quad (4.229)$$

Afin d'estimer asymptotiquement l'espérance, nous portons le terme asymptotique principal de l'équation précédente dans (4.206) et nous avons alors à considérer l'intégrale ainsi obtenue suivante :

$$I = \frac{n! e^{n-1}}{n^n} \int_0^1 \frac{g(w; t_j)}{\left(1 + \frac{e^{b-1}}{(wn)^{b-1}}\right)^{N+1}} \frac{e^{nh(t_j) - n \ln(w)}}{h^{(0)}(t_j)} dw; \quad (4.230)$$

avec

$$t_j = \begin{cases} [(b-2)!]^{1-(b-1)} & \text{si } w = \frac{e}{[(b-2)!]^{1-(b-1)}} \\ e-w & \text{si } w = \frac{e}{[(b-2)!]^{1-(b-1)}}; \end{cases} \quad (4.231)$$

$$g(w; t) = (t-1) + \frac{nw t}{eb} (1 - (t)); \quad (4.232)$$

$$h(t) = \frac{(t)}{b-1} \ln(t) + \frac{w}{e} t \left(1 - \frac{(t)}{b}\right); \quad (4.233)$$

la dérivée seconde de cette dernière étant

$$h^{(0)}(t) = (b-1) \frac{(t)}{t} \left(\frac{w}{e} - \frac{1}{t}\right) + (1 - (t)) \left(\frac{1}{t^2}\right); \quad (4.234)$$

Pour évaluer cette intégrale (4.230), nous distinguerons les deux intervalles  $]0; \theta_0[$  et  $]\theta_0; 1[$  (avec  $\theta_0 = e / [(b-2)!]^{1-(b-1)}$ ). Soit alors  $I_a$  la valeur de l'intégrale sur  $]0; \theta_0[$  :

$$I_a = \frac{n! e^{n-1}}{n^n} \int_0^{\theta_0} \frac{1}{\left(1 + \frac{e^{b-1}}{(wn)^{b-1}}\right)^{N+1}} \frac{e^{nh(t_j) - n \ln(w)}}{h^{(0)}(t_j)} dw; \quad (4.235)$$

ou

$$h(t_j) = \frac{1}{b-1} \ln(t_j) + \frac{(b-1)t_j w}{be} = \frac{b-2}{b-1} + \ln(\theta_0) + \frac{(b-1)w}{b\theta_0} \quad (4.236)$$

et

$$h^{(0)}(t_j) = (b-1) \frac{1}{t_j^2} \left(1 - \frac{w t_j}{e}\right) = (b-1) \frac{\theta_0^2}{e} \left(1 - \frac{w}{\theta_0}\right); \quad (4.237)$$

Cette dernière admet une racine en  $w = \theta_0$ . Par les équivalents suivants :

$$N+1 \sim n^{b-1} \frac{n}{b!} \quad (4.238)$$

et

$$\left(1 + \frac{e^{b-1}}{(wn)^{b-1}}\right)^{n \Rightarrow b!} \sim e^{\frac{n}{b!} \left(\frac{e}{w}\right)^{b-1}}; \quad (4.239)$$

nous obtenons

$$I_a = \frac{n! e^{n-1}}{n^n} \int_0^Z \frac{e^{\frac{n}{b!} (\frac{e}{w})^{b-1} + nh(t_j) - n \ln(w)}}{h^{(0)}(t_j)} dw \tag{4.240}$$

$$\frac{n! e^{n-1} [(b-2)!]^{\frac{1}{(b-1)}}}{n^n (b-1)^{\frac{1}{2}} \Gamma(\frac{1}{2n})} \tag{4.241}$$

$$\int_0^Z \frac{e^{\frac{n}{b(b-1)} (\frac{0}{w})^{b-1} + n \frac{b-1}{b} \frac{w}{0} - n \frac{b-2}{b-1} n \ln(\frac{w}{0})}}{\Gamma(\frac{1}{2n})} dw \tag{4.242}$$

$$\frac{n! e^{n-1} [(b-2)!]^{\frac{1}{(b-1)}}}{n^n (b-1)^{\frac{1}{2}} \Gamma(\frac{1}{2n})} \int_0^Z \frac{e^{\frac{n}{b(b-1)} (\frac{1}{w})^{b-1} + n \frac{b-1}{b} w - n \frac{b-2}{b-1} n \ln(w)}}{\Gamma(\frac{1}{2n})} dw \tag{4.243}$$

$$\frac{n! e^n}{n^n (b-1)^{\frac{1}{2}} \Gamma(\frac{1}{2n})} \int_0^Z \frac{e^{n\hat{h}(w)}}{\Gamma(\frac{1}{2n})} dw ; \tag{4.244}$$

avec  $\hat{h}$ , de nie par

$$\hat{h}(w) = \frac{1}{b(b-1)} \frac{1}{w}^{b-1} + \frac{b-1}{b} w - \frac{b-2}{b-1} \ln(w) ; \tag{4.245}$$

qui s'annule pour  $w = 1$ . La derivee de cette fonction est

$$\hat{h}'(w) = \frac{1}{b} \frac{1}{w}^b + \frac{b-1}{b} \frac{1}{w} ; \tag{4.246}$$

qui s'annule pour la valeur de  $w = 1$ . La derivee seconde de  $\hat{h}$  est

$$\hat{h}''(w) = \frac{1}{w}^{b+1} + \frac{1}{w^2} ; \tag{4.247}$$

qui s'annule pour la valeur  $w = 1$  donc le point col est d'ordre 2. La derivee troisieme de  $\hat{h}$  est

$$\hat{h}'''(w) = (b+1) \frac{1}{w}^{b+2} - \frac{2}{w^3} ; \tag{4.248}$$

donc  $\hat{h}'''(1) > 0$  (1 est un point d'in flexion de  $\hat{h}$  qui est croissante). Notons alors l'integrale  $I_a^0$ , la restriction de de l'integrale  $I_a$  dans un voisinage de 1, suivante :

$$I_a^0 = \frac{n! e^n}{n^n (b-1)^{\frac{1}{2}} \Gamma(\frac{1}{2n})} \int_1^Z \frac{e^{-n((b-1)(1-w)^3 + O((1-w)^4))}}{\Gamma(\frac{1}{2n})} dw \tag{4.249}$$

$$= \frac{n! e^n}{n^n (b-1)^{\frac{1}{2}} \Gamma(\frac{1}{2n})} \int_0^Z \frac{e^{-n((b-1)w^3 + O(w^4))}}{\Gamma(\frac{1}{2n})} dw \tag{4.250}$$

$$= \frac{n! e^n}{n^n (b-1)^{\frac{1}{2}} \Gamma(\frac{1}{2n})} \int_0^Z \frac{e^{-n((b-1)w^3 + O(w^4))}}{\Gamma(\frac{1}{2n})} (1 + O(nw^4)) dw ; \tag{4.251}$$

Ceci, par le changement de variable

$$\begin{cases} w = \frac{r}{(n(b-1)=6)^{1=3}} \\ dw = \frac{dr}{(n(b-1)=6)^{1=3}} ; \end{cases} \quad (4.252)$$

donne

$$I_a^0 = \frac{n e^{n \frac{1}{6}}}{n^n (b-1)^{\frac{2}{3}} n^{\frac{1}{6}} \frac{1}{2n}} \int_0^{\frac{1}{n(b-1)=6)^{1=3}} \frac{e^{-r^3}}{r} \left( 1 + O\left(\frac{r^4}{n^{1=3}}\right) \right) dr : \quad (4.253)$$

En prenant  $n = n^{1=4}$  nous obtenons

$$I_a^0 = O\left(\frac{1}{n^{1=6}}\right) : \quad (4.254)$$

Nous en deduisons que la valeur asymptotique de  $I_a$  est :

$$I_a = O\left(\frac{1}{n^{1=6}}\right) : \quad (4.255)$$

La moyenne recherchée est alors déterminée par l'évaluation de la valeur de l'intégrale (4.230) restreinte à l'intervalle  $]0; 1[$ . Notons  $\hat{I}_a$ , cette intégrale sur cet intervalle :

$$\hat{I}_a = \frac{n e^{n-1}}{n^n \frac{1}{2n}} \int_0^1 \frac{g(w; e=w)}{\left(1 + \frac{e^{b-1}}{(wn)^{b-1}}\right)^{N+1}} \frac{e^{nh(t_j) - n \ln(w)}}{h^0(t_j)} dw ; \quad (4.256)$$

ou

$$g(w; e=w) = \frac{e^{b-1}}{w^{b-1} (b-2)!} \left( 1 + \frac{n-1}{b-1} \frac{e^{b-1}}{w^{b-1} (b-2)!} \right) ; \quad (4.257)$$

$$h(t_j) = \frac{e^{b-1}}{w^{b-1} b!} + \ln(w) ; \quad (4.258)$$

et

$$h^0(t_j) = \left( 1 + \frac{e^{b-1}}{w^{b-1} (b-2)!} \right) \left( \frac{w^2}{e^2} \right) : \quad (4.259)$$

Cette dernière admet une racine en  $w = 0 = e - ((b-2)!)^{1=(b-1)}$ . Par les équivalents suivants

$$N+1 \sim n^{b-1} \frac{n}{b!} \quad (4.260)$$

et

$$\left( 1 + \frac{e^{b-1}}{(wn)^{b-1}} \right)^{n=b!} \sim e^{\frac{n}{b!} \left(\frac{e}{w}\right)^{b-1}} ; \quad (4.261)$$

nous obtenons

$$\hat{I}_a = \frac{n e^{n-1}}{n^n \frac{1}{2n}} \int_0^1 \frac{g(w; e=w)}{h^0(t_j)} e^{\frac{n}{b!} \left(\frac{e}{w}\right)^{b-1} + nh(t_j) - n \ln(w)} dw \quad (4.262)$$

$$\frac{n e^{n-1}}{n^n \frac{1}{2n}} \int_0^1 \frac{g(w; e=w)}{\left( 1 + \frac{e^{b-1}}{w^{b-1} (b-2)!} \right)} e^{\frac{n}{b!} \left(\frac{e}{w}\right)^{b-1} + n \frac{e^{b-1}}{w^{b-1} b!}} \frac{dw}{w} : \quad (4.263)$$

Ceci, par le changement de variable

$$\begin{aligned} w &= \frac{e}{(w(b-2)!)^{1/(b-1)}} \\ \frac{dw}{w} &= \frac{dw}{(b-1)w} \\ g(w; e=w) &= w^{-1} + \frac{n}{b}(1-w) ; \end{aligned} \quad (4.264)$$

donne

$$\hat{I}_a = \frac{n! e^n}{n^n (b-1)^{2n}} \int_0^1 \frac{1 + \frac{n}{b} - \frac{n}{b}w}{1-w} dw = \frac{n! e^n}{n^n (b-1)^{2n}} \frac{6b+2n}{3b} ; \quad (4.265)$$

Soit,

Theorem e 4.2.4. Le nombre moyen d'hyperarêtes au moment de l'apparition du premier cycle dans un hypergraphe évoluant a n sommets est asymptotiquement

$$\hat{I}_a \sim \frac{2n}{3b(b-1)} ; \quad (4.266)$$



# Chapitre 5

## Annexe

### 5.1 Preuves des deux identités combinatoires

Lemme 5.1.1. Pour  $j, a \in \mathbb{N}$  (donc  $j + a > 0$ ),

$$\frac{1}{j} = \sum_{i=0}^{j+a-1} \frac{(1-x)^{j+a-i}}{j-i} + \sum_{i=0}^{j+a-1} \frac{x^{j+a-i}}{j-i} (1-x)^{a-i} \quad (5.1)$$

Preuve.

$$\frac{1}{j} = \sum_{i=0}^{j+a-1} \frac{(1-x)^{j+a-i}}{j-i} + \sum_{i=0}^{j+a-1} \frac{x^{j+a-i}}{j-i} (1-x)^{a-i} \quad (5.2)$$

$$= (1-x)^a \frac{1}{j} \sum_{i=0}^{j+a-1} \frac{(1-x)^{j+a-i}}{j-i} + \sum_{i=0}^{j+a-1} \frac{x^{j+a-i}}{j-i} (1-x)^{a-i} \quad (5.3)$$

$$= (1-x)^a \frac{1}{j} \left( 1 + \sum_{i=1}^{j+a-1} \frac{(1-x)^{j+a-i}}{j-i} \right) + \sum_{i=0}^{j+a-1} \frac{x^{j+a-i}}{j-i} (1-x)^{a-i} \quad (5.4)$$

$$= (1-x)^a \frac{1}{j} \left( 1 + \sum_{i=1}^{j+a-1} \frac{(1-x)^{j+a-i}}{j-i} \right) + \sum_{i=0}^{j+a-1} \frac{x^{j+a-i}}{j-i} (1-x)^{a-i} \quad (5.5)$$

$$= \frac{1}{j} \sum_{i=1}^{j+a-1} \frac{(1-x)^{j+a-i}}{j-i} + \sum_{i=0}^{j+a-1} \frac{x^{j+a-i}}{j-i} (1-x)^{a-i} \quad (5.6)$$

$$= \frac{1}{j} \left( (1-x)^a \sum_{i=1}^{j+a-1} \frac{(1-x)^{j-i}}{j-i} + \sum_{i=0}^{j+a-1} \frac{x^{j+a-i}}{j-i} (1-x)^{a-i} \right) \quad (5.7)$$

Il suffit de montrer

$$\sum_{i=1}^{j+a-1} \frac{(1-x)^{j-i}}{j-i} = \sum_{i=0}^{j+a-1} \frac{x^{j+a-i}}{j-i} (1-x)^{a-i} \quad (5.8)$$

$$\sum_{k=0}^{j+a-1} \frac{(1-x)^k}{j+k} = \sum_{i=0}^{j+a-1} \frac{x^{j+a-i}}{j-i} (1-x)^{a-i} \quad (5.9)$$

$$\sum_{k=0}^{j+a-1} \frac{(1-x)^k}{j+k} = \sum_{i=0}^{j+a-1} \frac{x^{j+a-i}}{j-i} \frac{1}{1-x} (1-x)^{a-i} \quad (5.10)$$

Comme

$$X^a \binom{j+a-i-1}{j-1} \frac{1}{1}^i = X^a \binom{j+a-i-1}{j-1} \left(1 + \frac{1}{1}\right)^i \quad (5.11)$$

$$= \sum_{i=0}^{j+a-i-1} \binom{j+a-i-1}{j-1} X^i \frac{1}{t}^i \quad (5.12)$$

et

$$\binom{j+a}{j+k} = \binom{j+a-k-1}{j-1} + \binom{j+a-k-2}{j} + \binom{j+a-k-2}{j+1} + \dots + \binom{j+a-k-2}{j+k} \quad (5.13)$$

$$\binom{j+a}{j+k} = \binom{j+a-k-1}{j-1} + \sum_{r=0}^{X^k} \binom{j+a-k+r-1}{j+r} \quad (5.14)$$

nous obtenons l'identité.

Lemme 5.1.2. Si  $a \geq j \geq 0$  alors

$$\sum_{i=0}^{X^a} \binom{j-i-1}{j-1} (1-x)^{a-i}; \quad (5.15)$$

ou si  $k \in \mathbb{N}$  et  $t \in \mathbb{Z}$  alors

$$\binom{t}{t-k} = \frac{t(t-1)\dots(t-k+1)}{k!} \quad (5.16)$$

Preuve.

$$\sum_{i=0}^{X^a} \binom{j-i-1}{a-i} (1-x)^{a-i} \quad (5.17)$$

$$= \sum_{r=0}^{X^a} \binom{j-1}{r} (1-x)^r \quad (5.18)$$

$$= \sum_{r=0}^{X^a} \binom{j}{r} (1-x)^r (1-x)^r \quad (5.19)$$

$$= \sum_{r=0}^{X^j} \binom{j}{r} (1-x)^r (1-x)^r \quad (5.20)$$

$$= (1-x)^j \quad (5.21)$$

}



## 5.2 L'hypergraphe utilise pour le deroulement de l'algorithme glouton d'hypercouplage

#les 55 hyperaretes de l'hypergraphe 4-uniforme

```
27 29 34 10
22 12 32 30
29 18 4 27
22 15 3 18
18 3 13 2
4 23 8 33
26 13 28 3
32 17 31 1
11 7 32 21
6 26 4 22
18 26 3 33
21 2 12 23
6 12 8 4
4 22 10 19
19 27 15 20
15 0 9 26
32 30 0 34
20 19 2 0
17 24 33 19
13 33 26 25
7 29 6 17
14 2 9 6
34 25 18 8
28 27 3 26
28 14 23 12
17 23 6 21
26 31 19 29
21 3 13 16
9 31 7 11
17 13 11 19
32 31 13 24
0 4 17 14
4 6 31 27
13 14 25 16
10 9 22 13
0 2 34 31
9 23 14 22
11 33 31 7
23 21 7 4
```

15 34 8 22  
30 0 12 22  
25 28 9 12  
15 30 2 27  
32 1 24 6  
24 15 6 0  
25 2 8 14  
0 27 18 28  
26 4 15 34  
4 33 7 32  
19 24 15 33  
16 12 34 17  
31 1 9 2  
13 0 16 33  
26 17 21 10  
29 25 2 5

## Bibliographie

- [1] Cayley A. A theorem on trees. *Quart. J. Math. Oxford Ser.*, 23 :376{378, 1889.
- [2] Joyan A. Une theorie combinatoire des series formelles. *Adv. in Math*, 42 :1{82, 1981.
- [3] Renyi A. On connected graphs i. *Publ. Math. Inst. Hungarian Acad. Sci.*, 4 :385{388, 1959.
- [4] Vobly V. A. W right and stepanov-w right coefficients. *Mathematical Notes*, 42 :969{974, 1987.
- [5] Bollobas B. *Random Graphs*. Academic Press, London, 1985.
- [6] Can eld E. R. Bender E. A. and McKay B. D. The asymptotic number of labeled connected graphs with a give number of vertices and edges. *Random Structures and Algorithms*, 1 :127{169, 1990.
- [7] Can eld E. R. Bender E. A. and McKay B. D. A sym ptotic properties of labeled connected graphs. *Random Structures and Algorithms*, 3 :183{202, 1992.
- [8] Norman Bleistein and Richard A Handelsman. *A sym ptotic Expansions of Integrals*. Dover, 1986.
- [9] Berge C. *Graphs and hypergraphs*. North-Holland Mathematical Library, 1976.
- [10] Amin Coja-Oghlan, Christopher Moore, and Vishal Sanwalani. Counting connected graphs and hypergraphs via the probabilistic method.
- [11] Martin Dyer, Alan Frieze, and Boris Pittel. The average performance of the greedy matching algorithm. *The Annals of Applied Probability*, 3 :526{552, 1993.
- [12] Knuth D. E. *The Art Of Computer Programming*. 2nd Edition, Addison-Wesley, 1973.
- [13] Philippe Flajolet and Andrew M. Odlyzko. *Random mapping statistics*.
- [14] Knuth D. E. Flajolet P. and Pittel B. The first cycles in an evolving graph. *Discrete Math*, 75 :167{215, 1989.
- [15] De Bruijn N. G. *Asymptotic Methods in Analysis*. Dover, New York, 1982.
- [16] Labelle G. Une nouvelle demonstration combinatoire des formules d'inversion de lagrange. *Adv. in Math*, 42 :217{247, 1981.
- [17] Selivanov B. I. Perechislenie odnorodnykh hipergrafov c protsto ciklovo strukturo. *Kombinatory Analiz* 2, pages 60{67, 1972.

- 
- [18] Luczak T., Janson S., Knuth D. E. and Pittel B. The birth of the giant component. *Random Structures and Algorithms*, 4 :233{358, 1993.
- [19] Karonski M. and Luczak T. The number of sparsely edges connected uniform hypergraphs. *Discrete Math*, 171 :153{168, 1997.
- [20] Karonski M. and Luczak T. *Random hypergraphs*, 2000.
- [21] Karonski M. and Luczak T. The phase transition in a random hypergraph. *J. Comput. Appl. Math.*, 142 :125{135, 2002.
- [22] Wright E. M. The number of connected sparsely edged graphs. *Journal of Graph Theory*, 1 :317{330, 1977.
- [23] Wright E. M. The number of connected sparsely edged graphs. ii. smooth graphs and blocks. *Journal of Graph Theory*, 2 :299{305, 1978.
- [24] Wright E. M. The number of connected sparsely edged graphs. iii. asymptotic results. *Journal of Graph Theory*, 4 :393{407, 1980.
- [25] Bagdaev G. N. Random graphs with degree of connectedness equal 2. *Discrete Analysis*, 22 :3{14, 1973.
- [26] Flajolet P. and Sedgewick R. *Analytic combinatorics*. To appear chapters are available as Inria research reports. See <http://algo.inria.fr/flajolet/Publications/books.html>.
- [27] Andriampianina T. and Ravelomanana V. *Enumeration of connected uniform hypergraphs*, 2005.
- [28] Ravelomanana V. *Graphes multicycliques etiquetes : Aspects combinatoires et probabilistes*, 2001.
- [29] Moon J. W. Various proofs of Cayley's formula for counting trees. *A seminar on graph theory*, pages 70{78, 1967.
- [30] Herbert S. *Wilf. generatingfunctionology*. Academic Press, 1990.

## Hypergraphes aléatoires et algorithmiques

**Résumé :** Les hypergraphes sont des structures décomposables ou descriptibles donc peuvent être énumérés récursivement. Ici, avec les fonctions génératrices exponentielles, nous obtenons des résultats d'énumérations exactes et asymptotiques des hypergraphes connexes à nombre de sommets et à nombre d'hyperarêtes données. Dans un cadre combinatoire, par un raisonnement d'inclusion-exclusion, nous aboutissons à un encadrement des nombres des composantes d'hypergraphes : c'est une généralisation de l'encadrement de Wright pour les graphes. Pour obtenir les résultats asymptotiques, la méthode du point col permet, en passant par l'analyse complexe, d'obtenir des démonstrations qui sont au final très lisibles grâce à l'utilisation des fonctions génératrices. Soulignons que nous avons ainsi caractérisé :

- { les composantes à nombre de sommets et à nombre d'hyperarêtes données par rapport à la taille moyenne d'un hypercouplage aléatoire de ces structures,
- { les hypergraphes aléatoires (évoluant hyperarête par hyperarête) par rapport au nombre moyen d'hyperarêtes pour l'apparition du premier cycle.

Cette thèse laisse envisager la possibilité de mieux connaître les phénomènes de seuil avec des hypergraphes, ceci en s'inspirant des lignes de preuves qui s'y trouvent.

**Mots-clés :** Hypergraphes uniformes, énumération exacte, énumération asymptotique, hypercouplages aléatoires, hypergraphes aléatoires, hypergraphes évolutifs, analyse combinatoire, fonctions génératrices, formule d'inversion de Lagrange, encadrement par inclusion-exclusion, méthode du point col.

---

## Random hypergraphs and algorithmics

**Abstract :** Hypergraphs are structures that can be decomposed or described ; in other words they are recursively countable. Here, we get exact and asymptotic enumeration results on hypergraphs by means of exponential generating functions. The number of hypergraph components is bounded, as a generalisation of Wright inequalities for graphs : the proof is a combinatorial understanding of the structure by inclusion-exclusion. Asymptotic results are obtained, proofs are at the end very easy to read thanks to generating functions, through complex analysis by saddle point method. We characterized :

- { the components with a given number of vertices and of hyperedges by the expected size of a random hypermatching in these structures.
- { the random hypergraphs (evolving hyperedge by hyperedge) according to the expected number of hyperedges when the first cycle appears in the evolving structure.

This work is an open road to further works on random hypergraphs such as threshold phenomenon, for which tools used here seem to be sufficient at first sight.

Keywords : Uniform hypergraphs, exact enumeration, asymptotic enumeration, random hypermatchings, evolving hypergraphs, combinatorial analysis, generating functions, Lagrangian inversion formula, bounding by inclusion exclusion, saddle point method.